

Teoria de flexura de placas elásticas

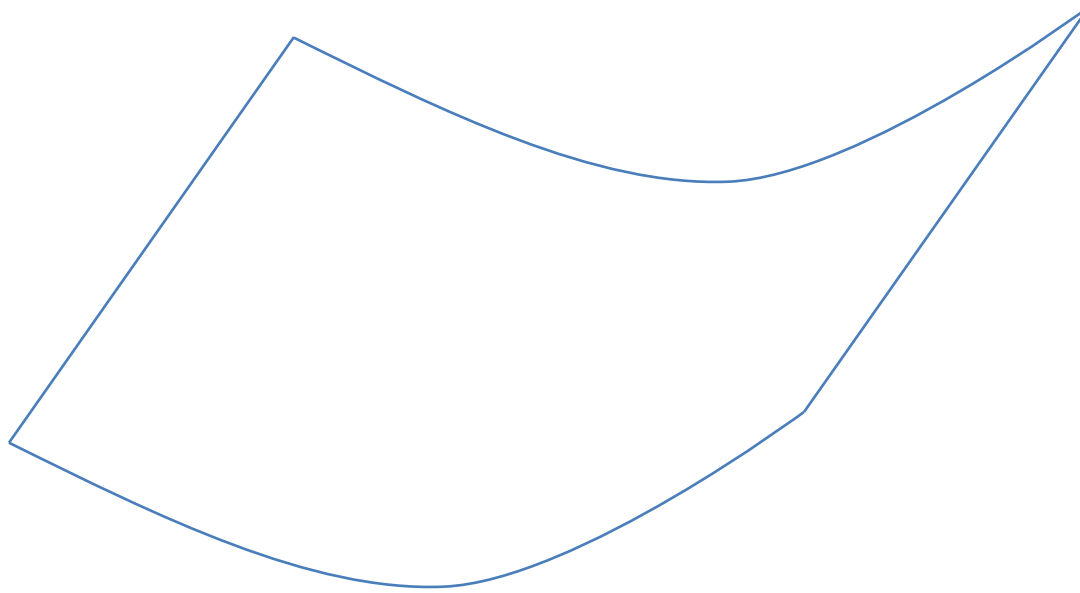
Victor Sacek

Flexura cilíndrica

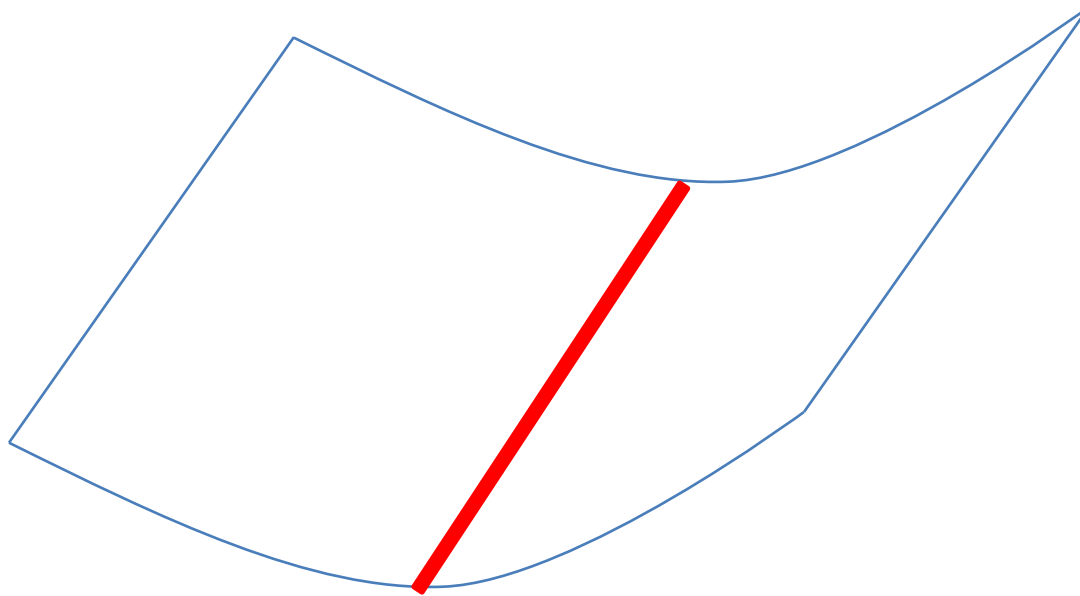
Flexura cilíndrica



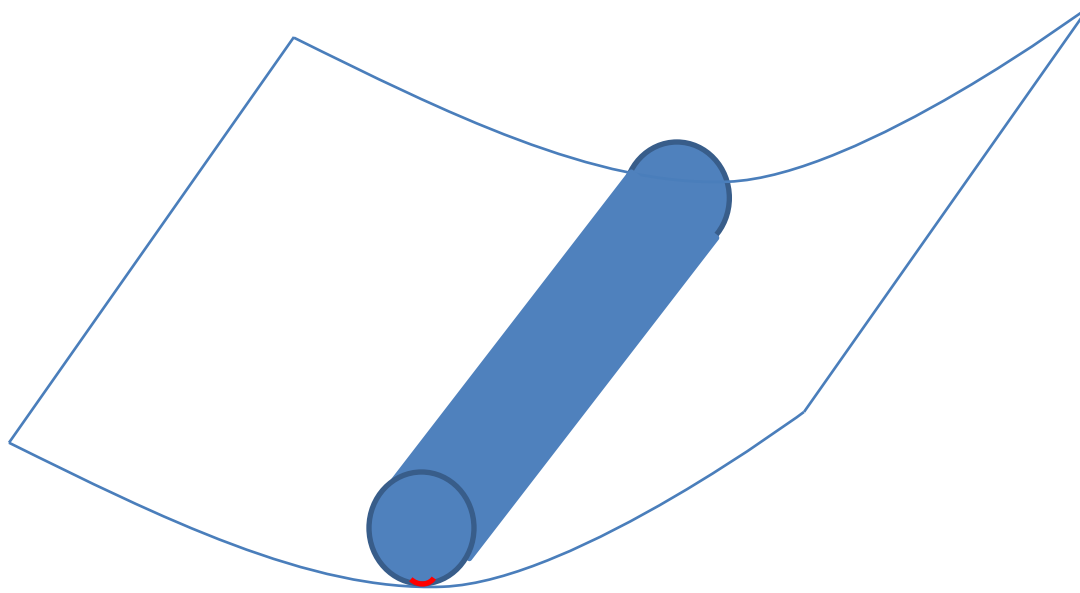
Flexura cilíndrica



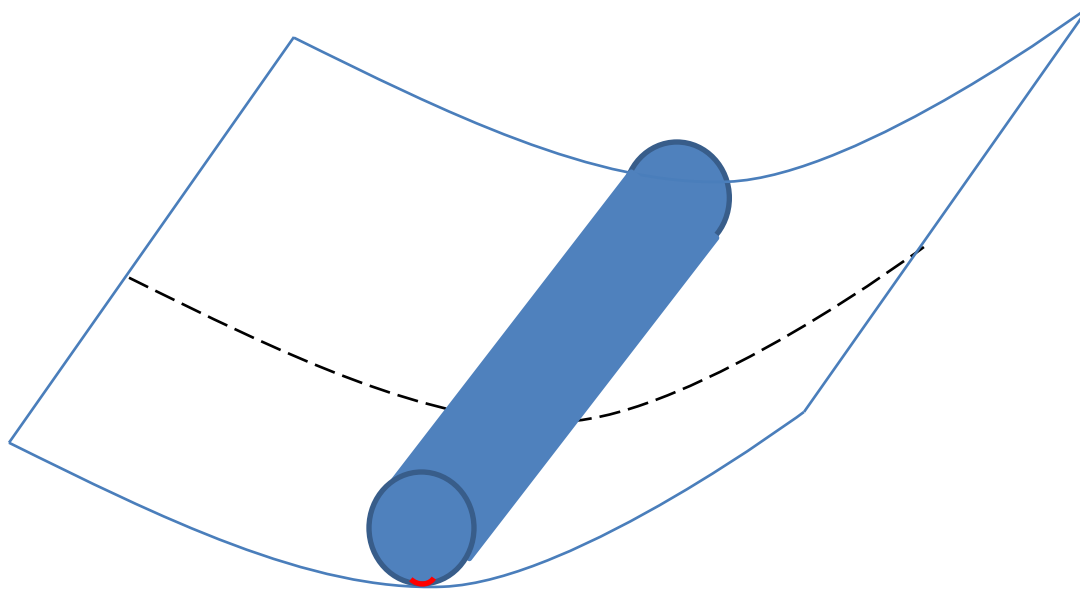
Flexura cilíndrica



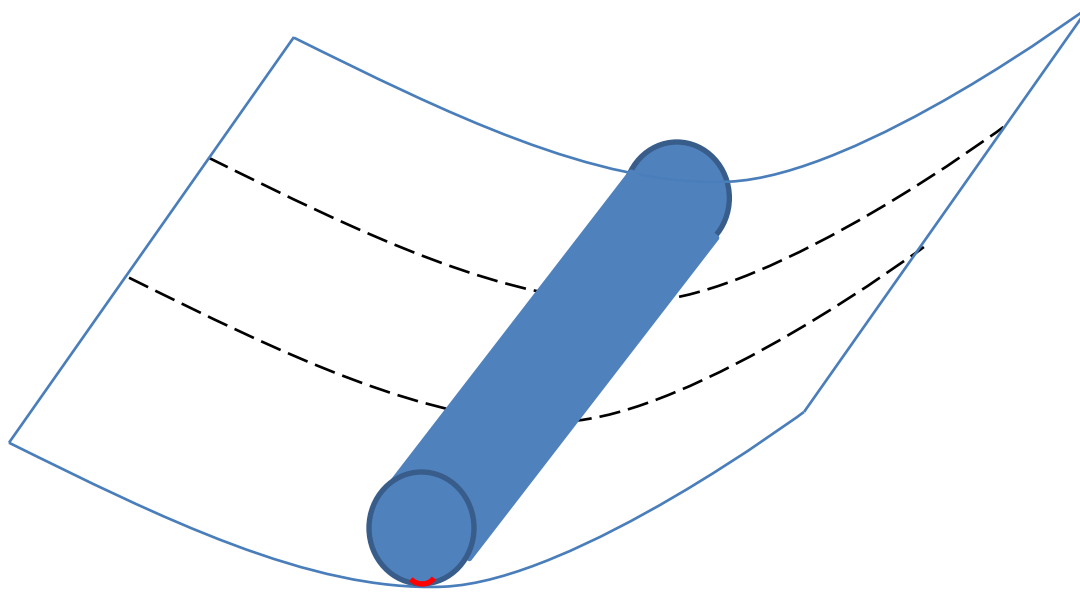
Flexura cilíndrica



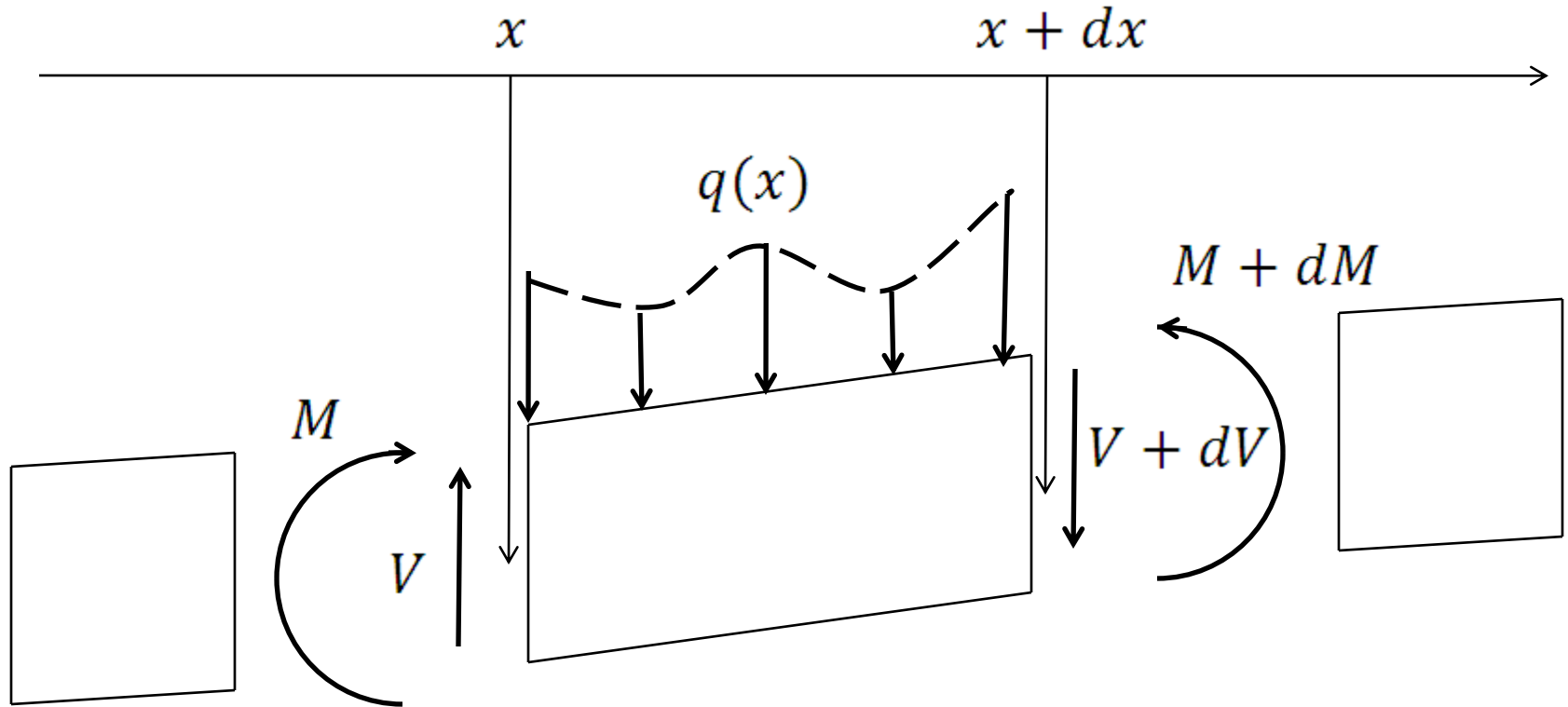
Flexura cilíndrica



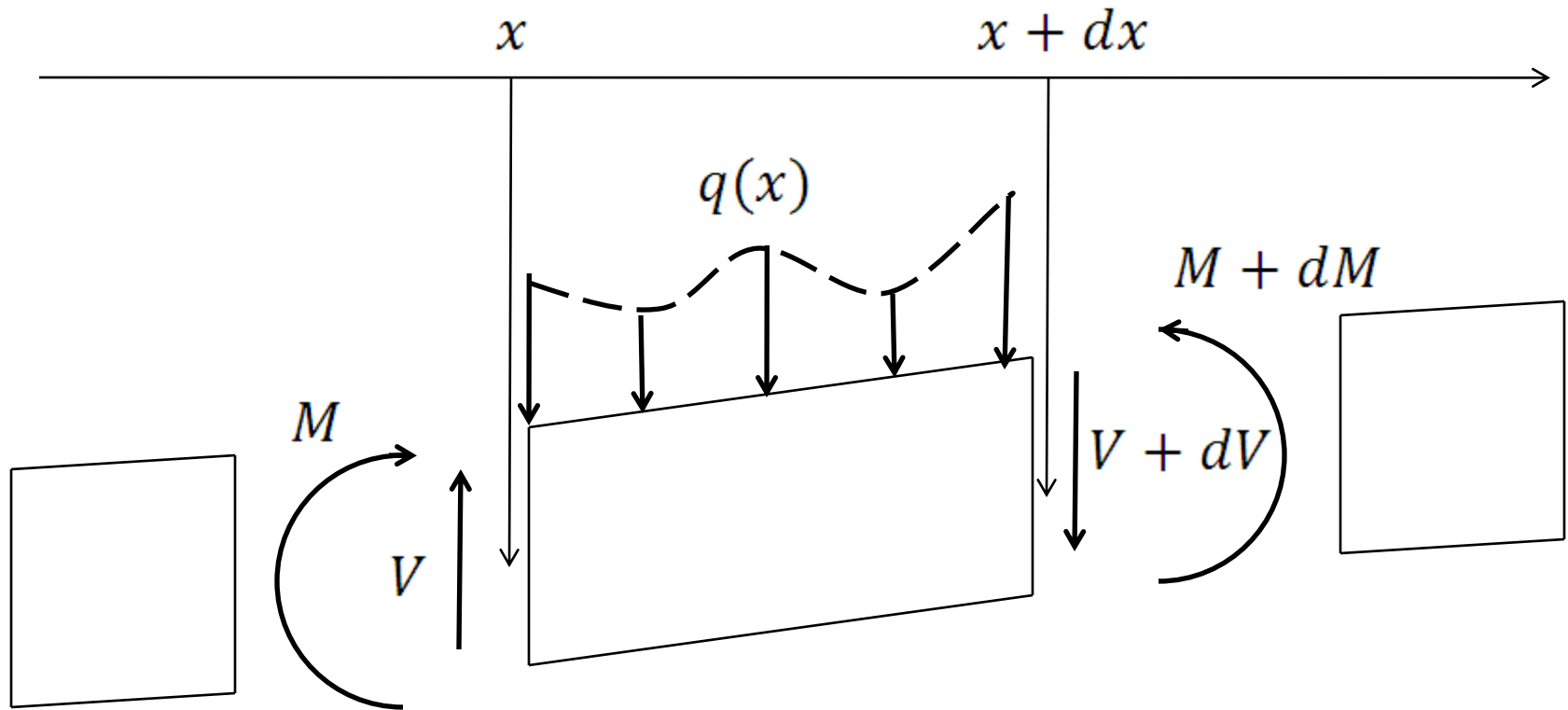
Flexura cilíndrica



Forças e torques em uma seção da placa

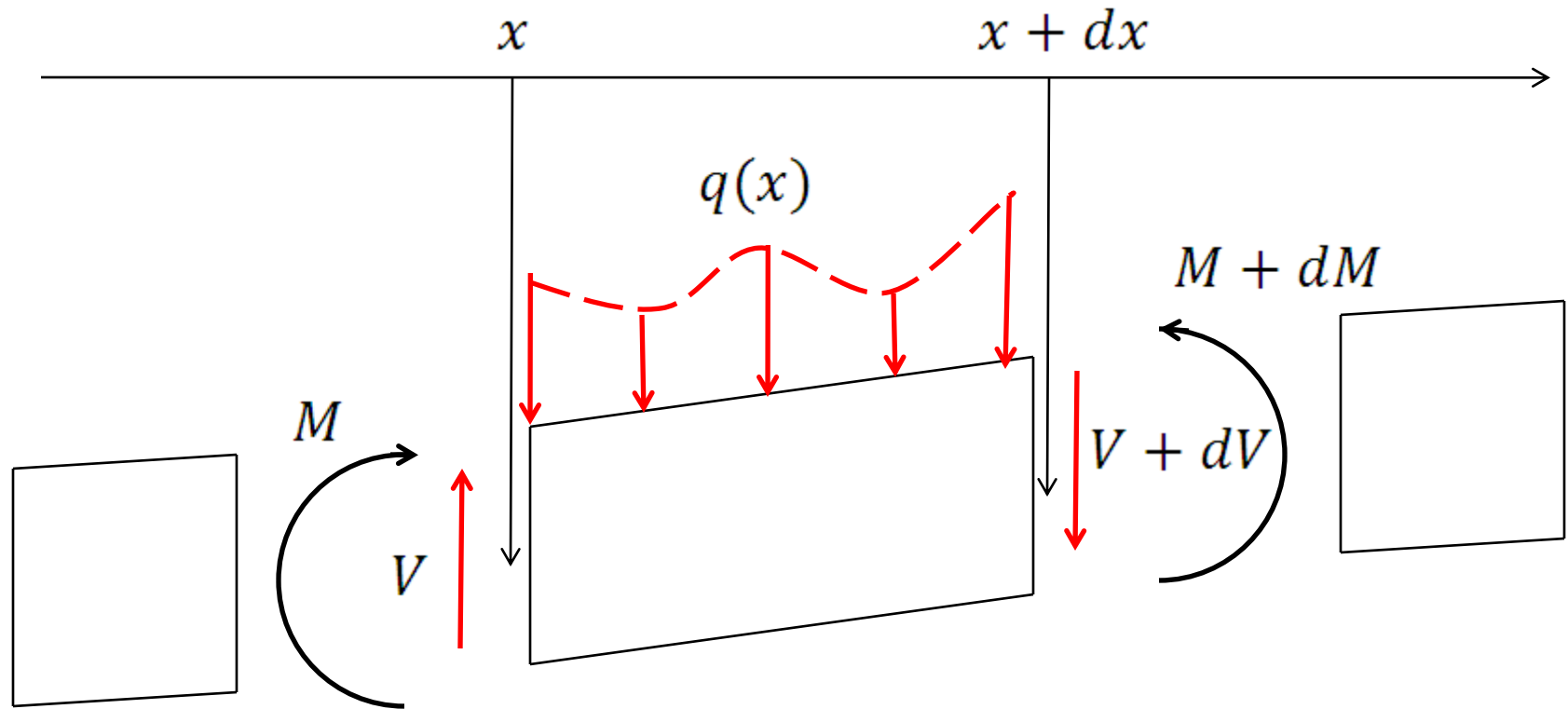


Forças e torques em uma seção da placa



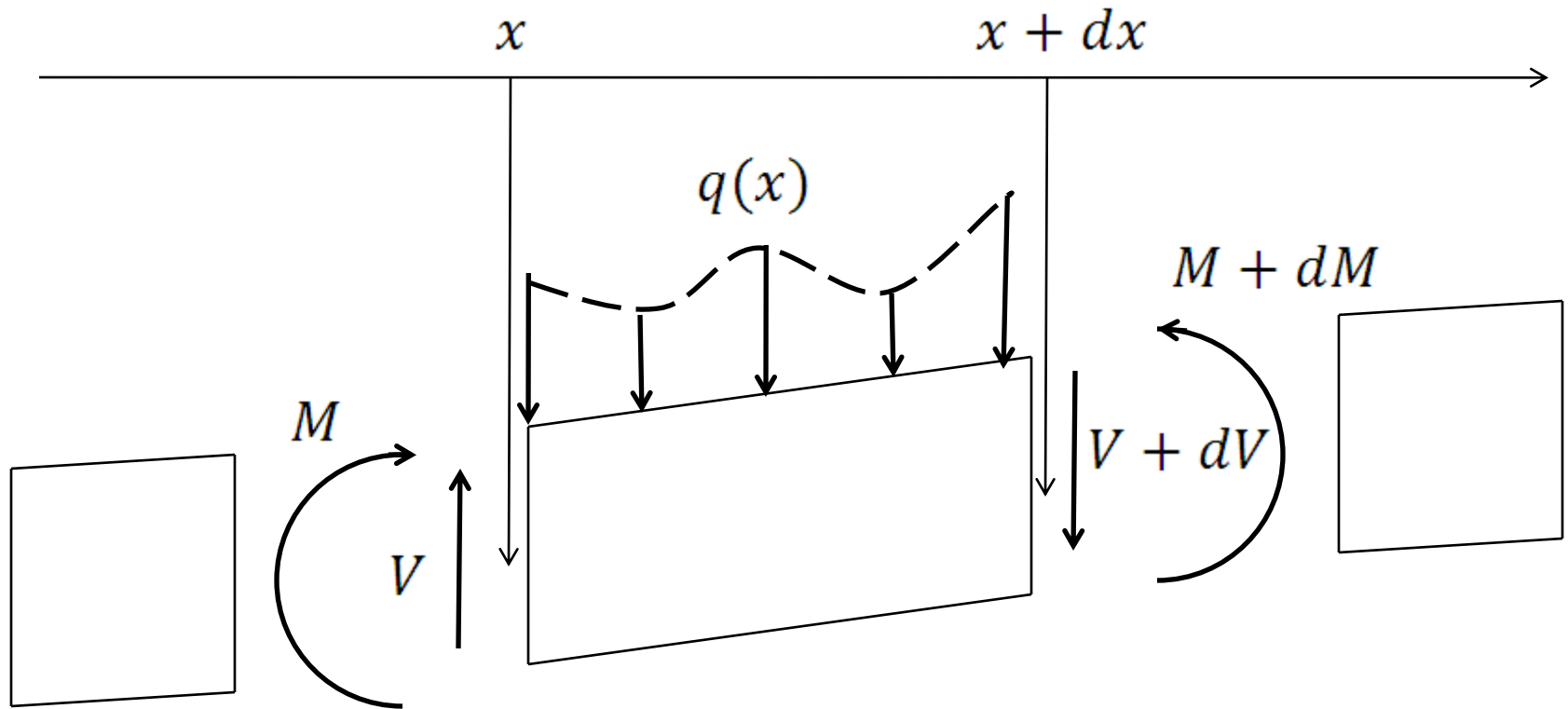
Forças:

Forças e torques em uma seção da placa



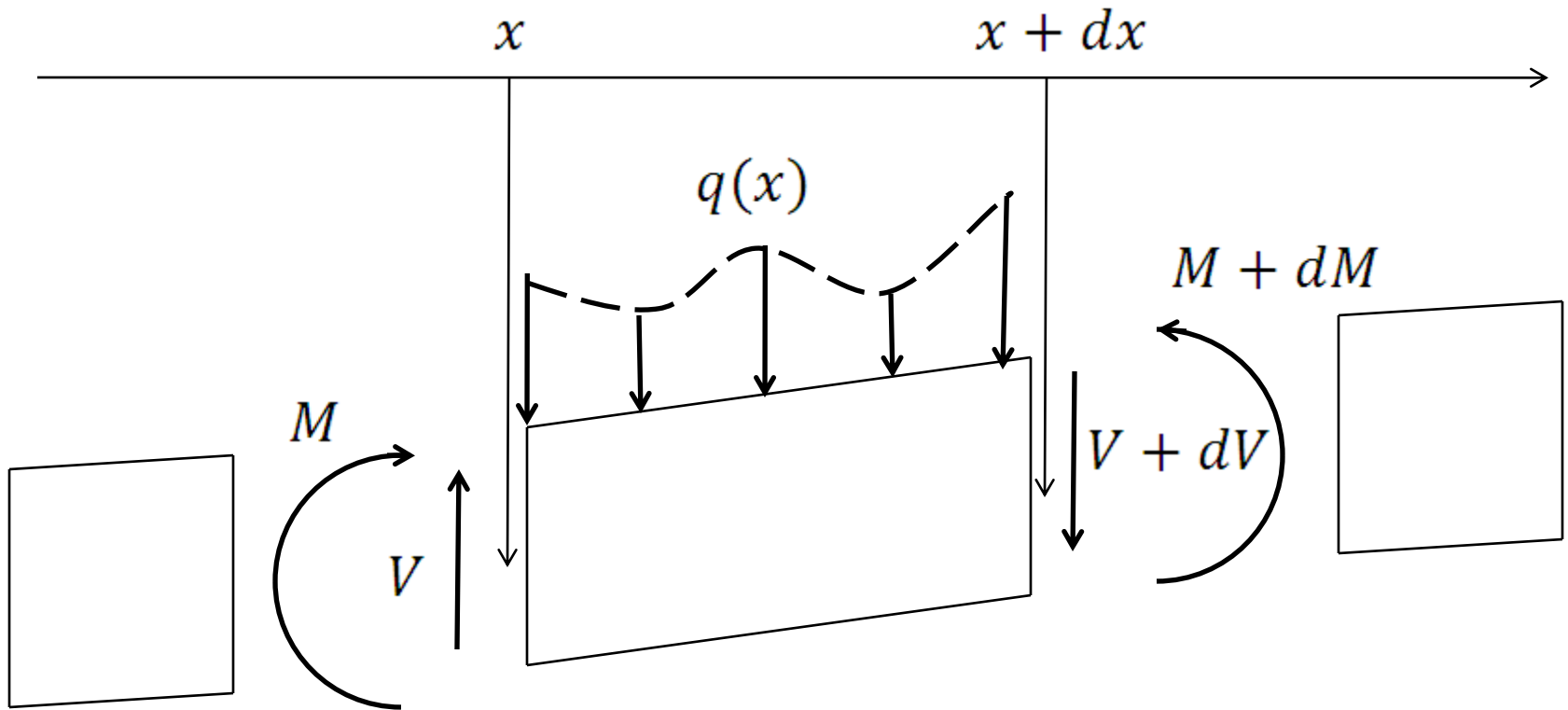
Forças: $q(x)dx + dV = 0$

Forças e torques em uma seção da placa



Forças: $q(x)dx + dV = 0 \rightarrow \frac{dV}{dx} = -q$

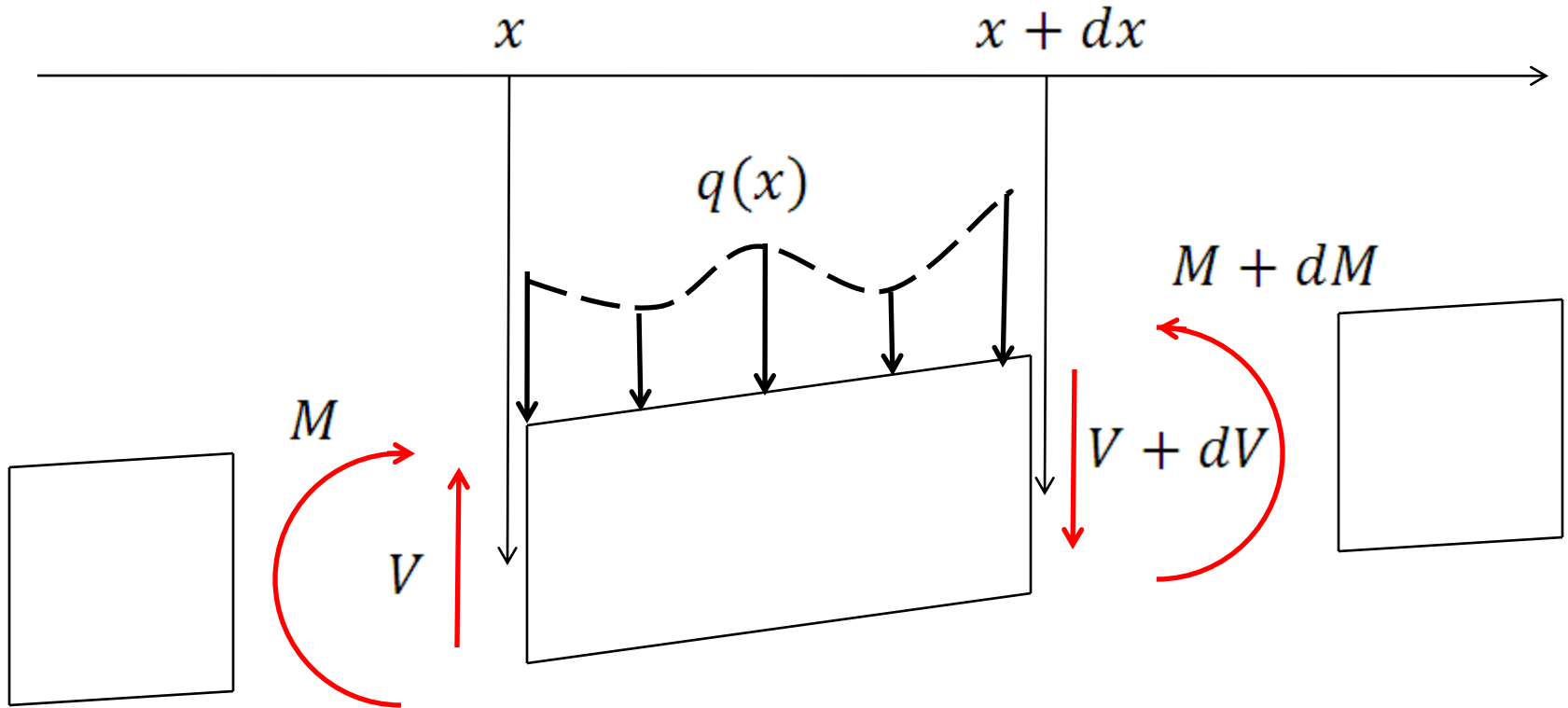
Forças e torques em uma seção da placa



Forças: $q(x)dx + dV = 0 \rightarrow \frac{dV}{dx} = -q$

Torques:

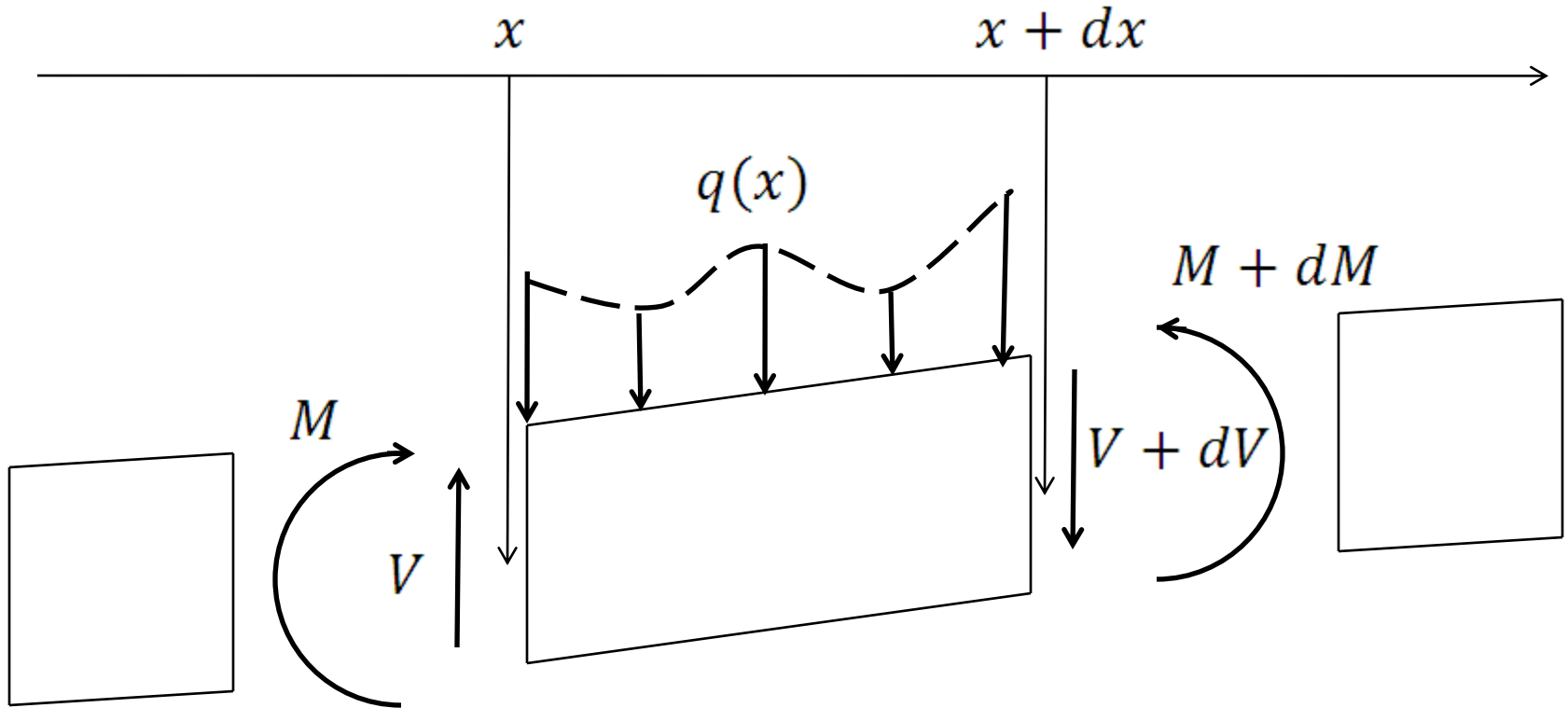
Forças e torques em uma seção da placa



Forças: $q(x)dx + dV = 0 \rightarrow \frac{dV}{dx} = -q$

Torques: $dM = Vdx$

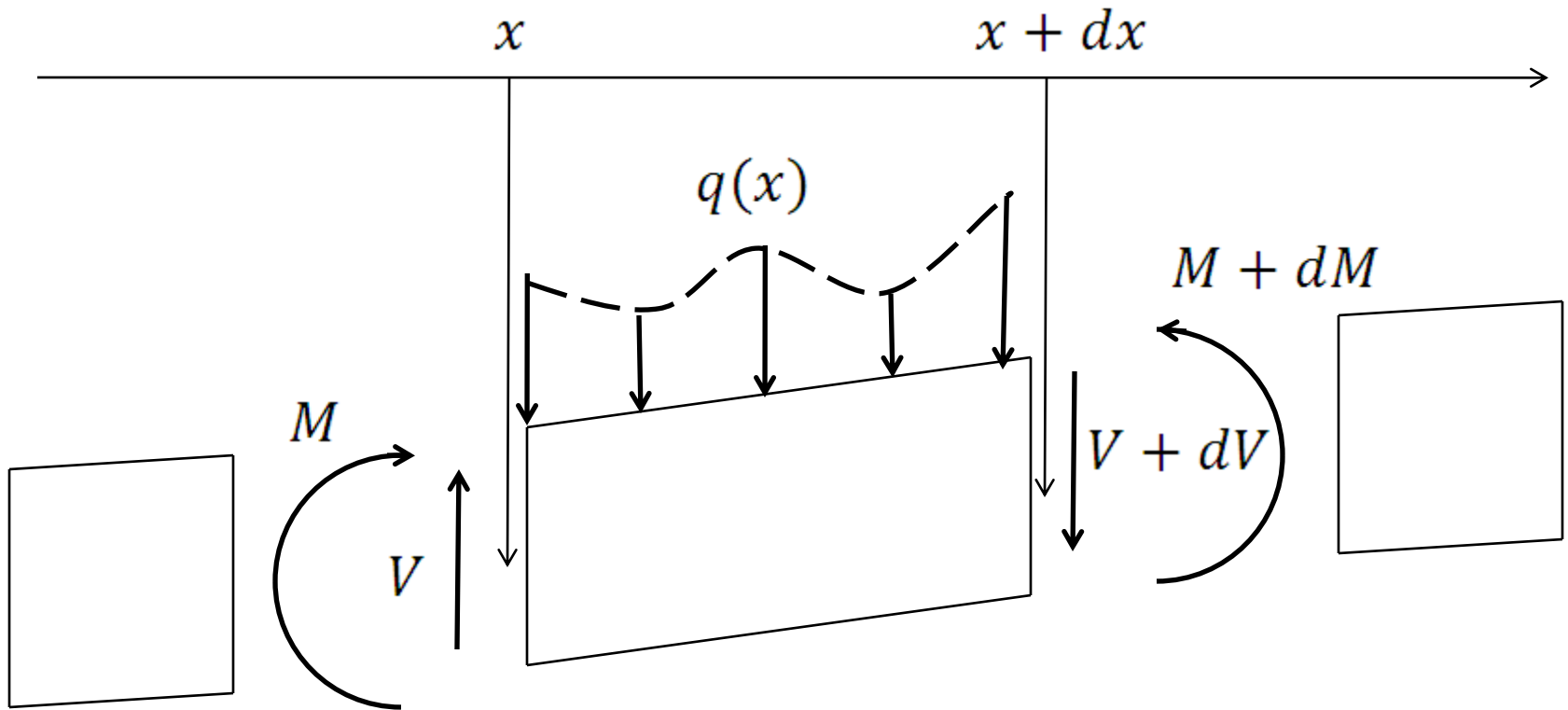
Forças e torques em uma seção da placa



$$\text{Forças: } q(x)dx + dV = 0 \rightarrow \frac{dV}{dx} = -q$$

$$\text{Torques: } dM = Vdx \rightarrow \frac{dM}{dx} = V$$

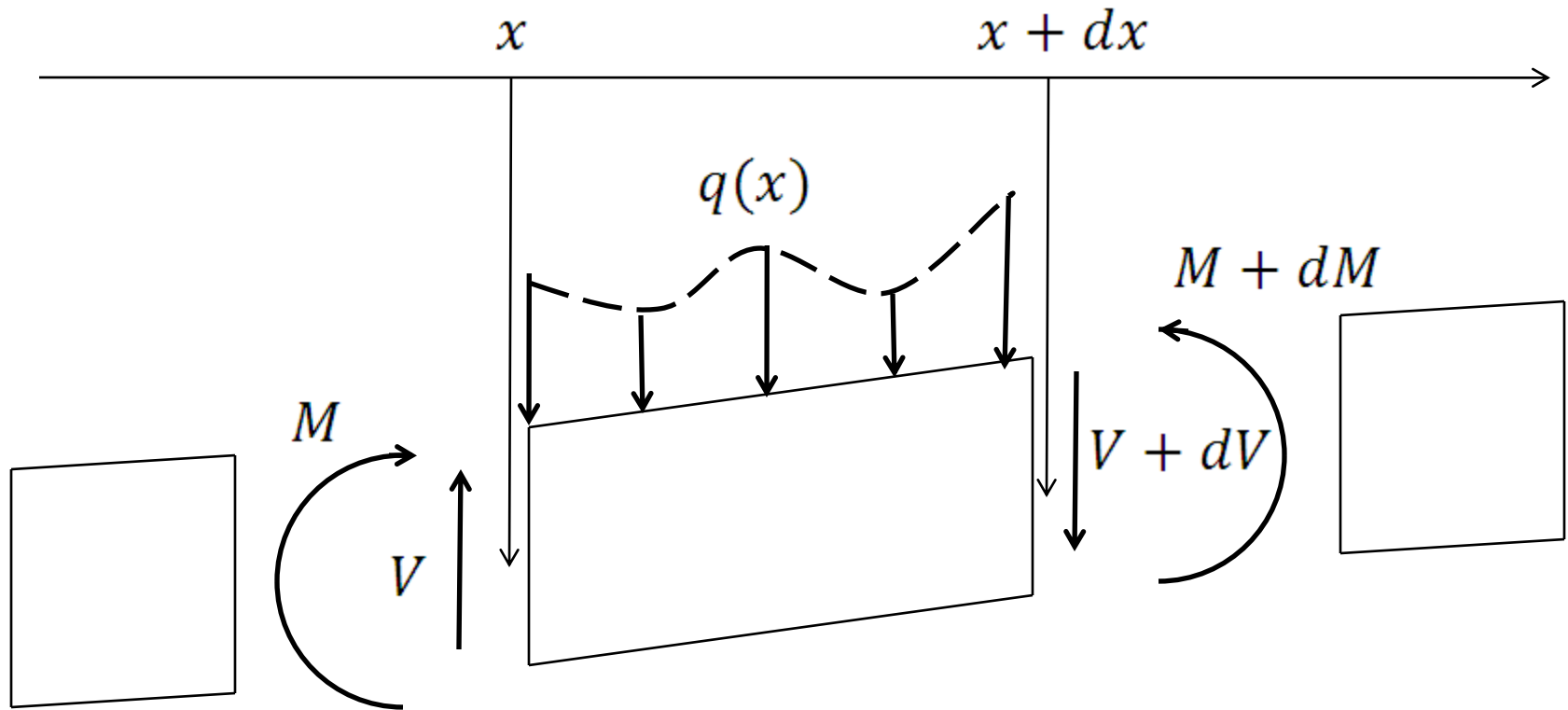
Forças e torques em uma seção da placa



Forças: $q(x)dx + dV = 0 \rightarrow \frac{dV}{dx} = -q$

Torques: $dM = Vdx \rightarrow \frac{dM}{dx} = V \rightarrow \frac{d^2M}{dx^2} = \frac{dV}{dx}$

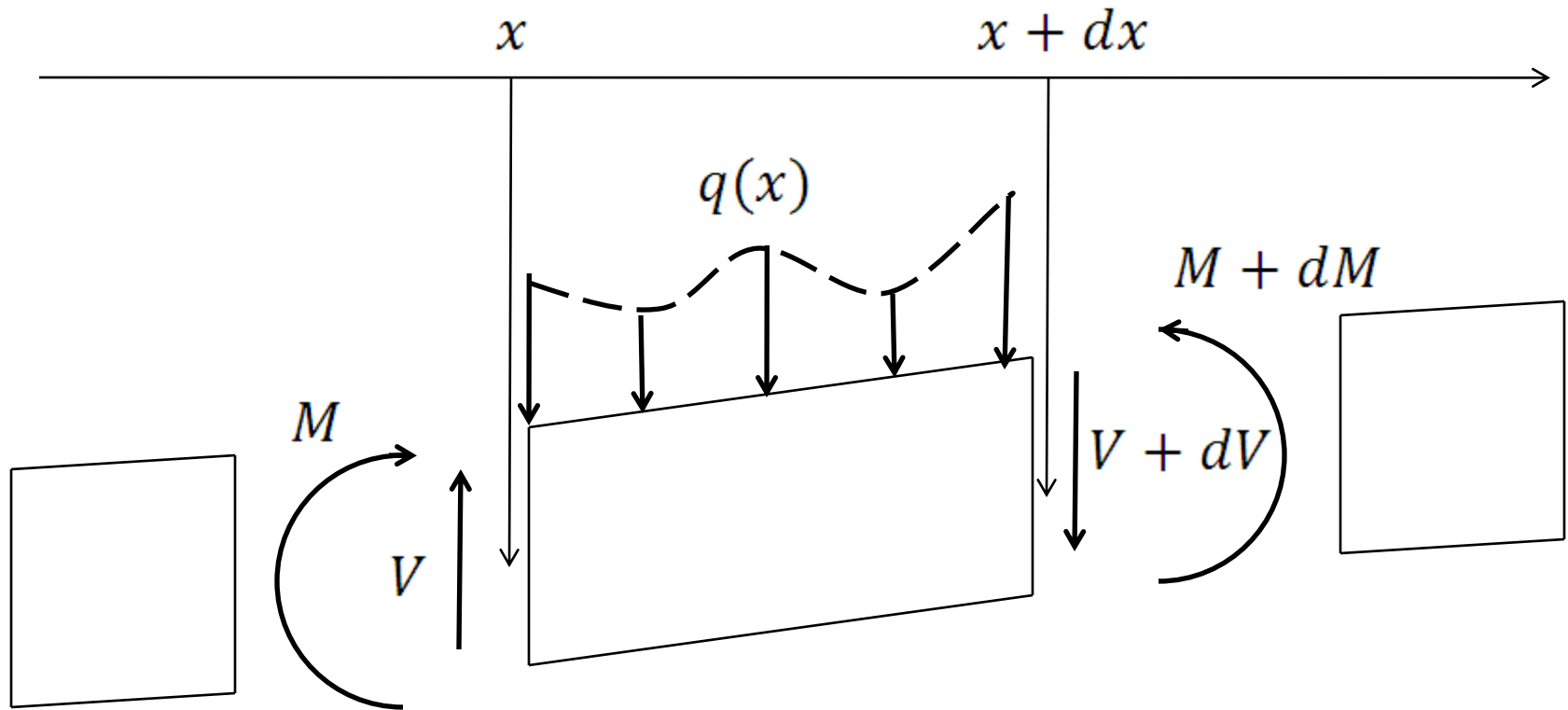
Forças e torques em uma seção da placa



Forças: $q(x)dx + dV = 0 \rightarrow \frac{dV}{dx} = -q$

Torques: $dM = Vdx \rightarrow \frac{dM}{dx} = V \rightarrow \frac{d^2M}{dx^2} = \frac{dV}{dx}$

Forças e torques em uma seção da placa



Forças: $q(x)dx + dV = 0 \rightarrow \frac{dV}{dx} = -q$

Torques: $dM = Vdx \rightarrow \frac{dM}{dx} = V \rightarrow \frac{d^2M}{dx^2} = \frac{dV}{dx}$

$$\frac{d^2M}{dx^2} = -q$$

Elasticidade linear

Elasticidade linear

$$\begin{cases} \varepsilon_1 = \frac{1}{E}\sigma_1 - \frac{\nu}{E}\sigma_2 - \frac{\nu}{E}\sigma_3 \\ \varepsilon_2 = -\frac{\nu}{E}\sigma_1 + \frac{1}{E}\sigma_2 - \frac{\nu}{E}\sigma_3 \\ \varepsilon_3 = -\frac{\nu}{E}\sigma_1 - \frac{\nu}{E}\sigma_2 + \frac{1}{E}\sigma_3 \end{cases}$$

Elasticidade linear

$$\begin{cases} \varepsilon_1 = \frac{1}{E}\sigma_1 - \frac{\nu}{E}\sigma_2 - \frac{\nu}{E}\sigma_3 \\ \varepsilon_2 = -\frac{\nu}{E}\sigma_1 + \frac{1}{E}\sigma_2 - \frac{\nu}{E}\sigma_3 \\ \varepsilon_3 = -\frac{\nu}{E}\sigma_1 - \frac{\nu}{E}\sigma_2 + \frac{1}{E}\sigma_3 \end{cases}$$

$\varepsilon_1, \varepsilon_2, \varepsilon_3$

Elasticidade linear

$$\begin{cases} \varepsilon_1 = \frac{1}{E}\sigma_1 - \frac{\nu}{E}\sigma_2 - \frac{\nu}{E}\sigma_3 \\ \varepsilon_2 = -\frac{\nu}{E}\sigma_1 + \frac{1}{E}\sigma_2 - \frac{\nu}{E}\sigma_3 \\ \varepsilon_3 = -\frac{\nu}{E}\sigma_1 - \frac{\nu}{E}\sigma_2 + \frac{1}{E}\sigma_3 \end{cases}$$

$\varepsilon_1, \varepsilon_2, \varepsilon_3$

Deformações principais

Elasticidade linear

$$\begin{cases} \varepsilon_1 = \frac{1}{E}\sigma_1 - \frac{\nu}{E}\sigma_2 - \frac{\nu}{E}\sigma_3 \\ \varepsilon_2 = -\frac{\nu}{E}\sigma_1 + \frac{1}{E}\sigma_2 - \frac{\nu}{E}\sigma_3 \\ \varepsilon_3 = -\frac{\nu}{E}\sigma_1 - \frac{\nu}{E}\sigma_2 + \frac{1}{E}\sigma_3 \end{cases}$$

$\varepsilon_1, \varepsilon_2, \varepsilon_3$ Deformações principais

$\sigma_1, \sigma_2, \sigma_3$

Elasticidade linear

$$\begin{cases} \varepsilon_1 = \frac{1}{E}\sigma_1 - \frac{\nu}{E}\sigma_2 - \frac{\nu}{E}\sigma_3 \\ \varepsilon_2 = -\frac{\nu}{E}\sigma_1 + \frac{1}{E}\sigma_2 - \frac{\nu}{E}\sigma_3 \\ \varepsilon_3 = -\frac{\nu}{E}\sigma_1 - \frac{\nu}{E}\sigma_2 + \frac{1}{E}\sigma_3 \end{cases}$$

$\varepsilon_1, \varepsilon_2, \varepsilon_3$ Deformações principais

$\sigma_1, \sigma_2, \sigma_3$ Tensões principais

Elasticidade linear

$$\begin{cases} \varepsilon_1 = \frac{1}{E}\sigma_1 - \frac{\nu}{E}\sigma_2 - \frac{\nu}{E}\sigma_3 \\ \varepsilon_2 = -\frac{\nu}{E}\sigma_1 + \frac{1}{E}\sigma_2 - \frac{\nu}{E}\sigma_3 \\ \varepsilon_3 = -\frac{\nu}{E}\sigma_1 - \frac{\nu}{E}\sigma_2 + \frac{1}{E}\sigma_3 \end{cases}$$

$\varepsilon_1, \varepsilon_2, \varepsilon_3$ Deformações principais

$\sigma_1, \sigma_2, \sigma_3$ Tensões principais

E

Elasticidade linear

$$\begin{cases} \varepsilon_1 = \frac{1}{E}\sigma_1 - \frac{\nu}{E}\sigma_2 - \frac{\nu}{E}\sigma_3 \\ \varepsilon_2 = -\frac{\nu}{E}\sigma_1 + \frac{1}{E}\sigma_2 - \frac{\nu}{E}\sigma_3 \\ \varepsilon_3 = -\frac{\nu}{E}\sigma_1 - \frac{\nu}{E}\sigma_2 + \frac{1}{E}\sigma_3 \end{cases}$$

$\varepsilon_1, \varepsilon_2, \varepsilon_3$ Deformações principais

$\sigma_1, \sigma_2, \sigma_3$ Tensões principais

E Módulo de elasticidade

Elasticidade linear

$$\begin{cases} \varepsilon_1 = \frac{1}{E} \sigma_1 - \frac{\nu}{E} \sigma_2 - \frac{\nu}{E} \sigma_3 \\ \varepsilon_2 = -\frac{\nu}{E} \sigma_1 + \frac{1}{E} \sigma_2 - \frac{\nu}{E} \sigma_3 \\ \varepsilon_3 = -\frac{\nu}{E} \sigma_1 - \frac{\nu}{E} \sigma_2 + \frac{1}{E} \sigma_3 \end{cases}$$

$\varepsilon_1, \varepsilon_2, \varepsilon_3$ Deformações principais

$\sigma_1, \sigma_2, \sigma_3$ Tensões principais

E Módulo de elasticidade

ν

Elasticidade linear

$$\begin{cases} \varepsilon_1 = \frac{1}{E}\sigma_1 - \frac{\nu}{E}\sigma_2 - \frac{\nu}{E}\sigma_3 \\ \varepsilon_2 = -\frac{\nu}{E}\sigma_1 + \frac{1}{E}\sigma_2 - \frac{\nu}{E}\sigma_3 \\ \varepsilon_3 = -\frac{\nu}{E}\sigma_1 - \frac{\nu}{E}\sigma_2 + \frac{1}{E}\sigma_3 \end{cases}$$

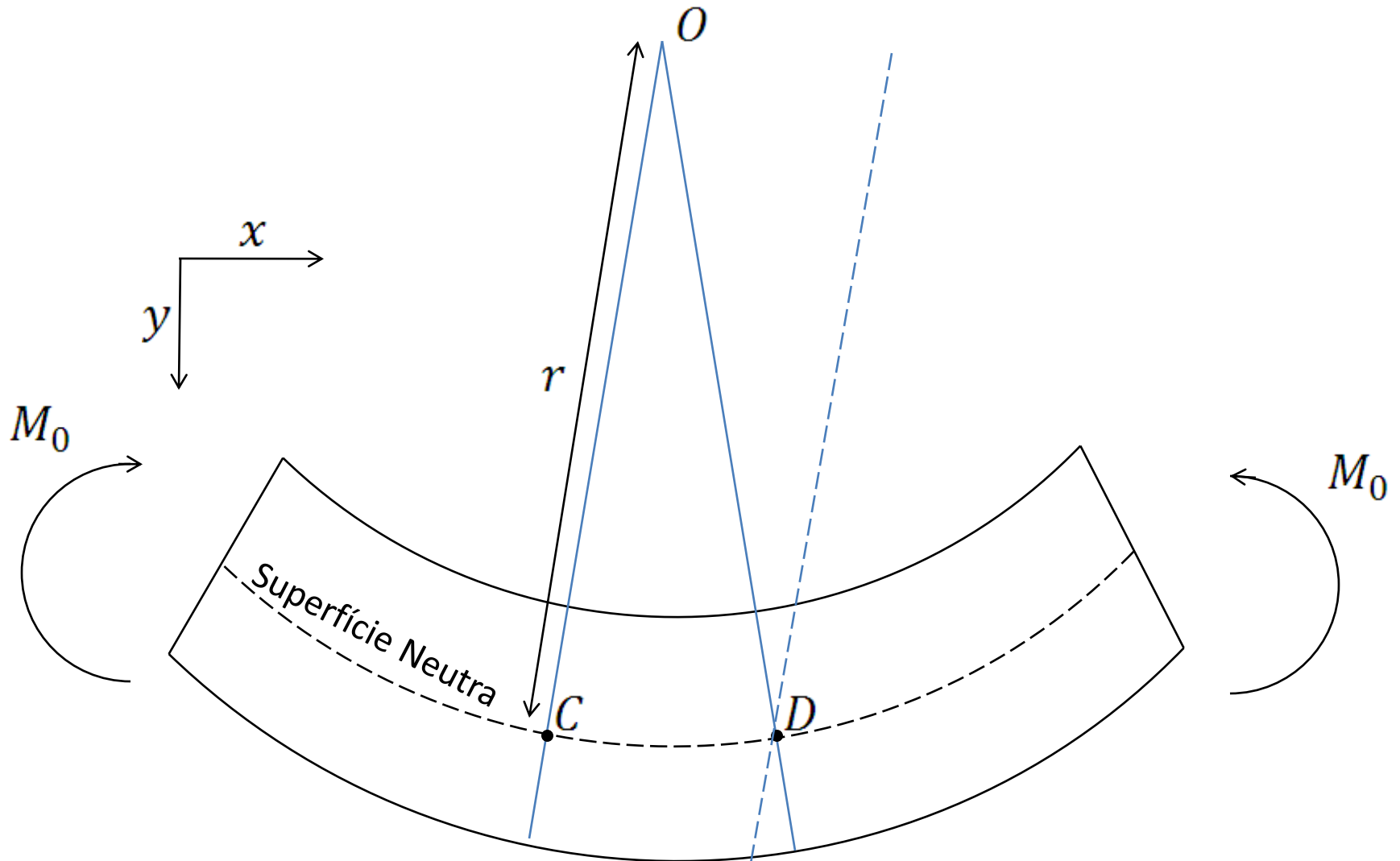
$\varepsilon_1, \varepsilon_2, \varepsilon_3$ Deformações principais

$\sigma_1, \sigma_2, \sigma_3$ Tensões principais

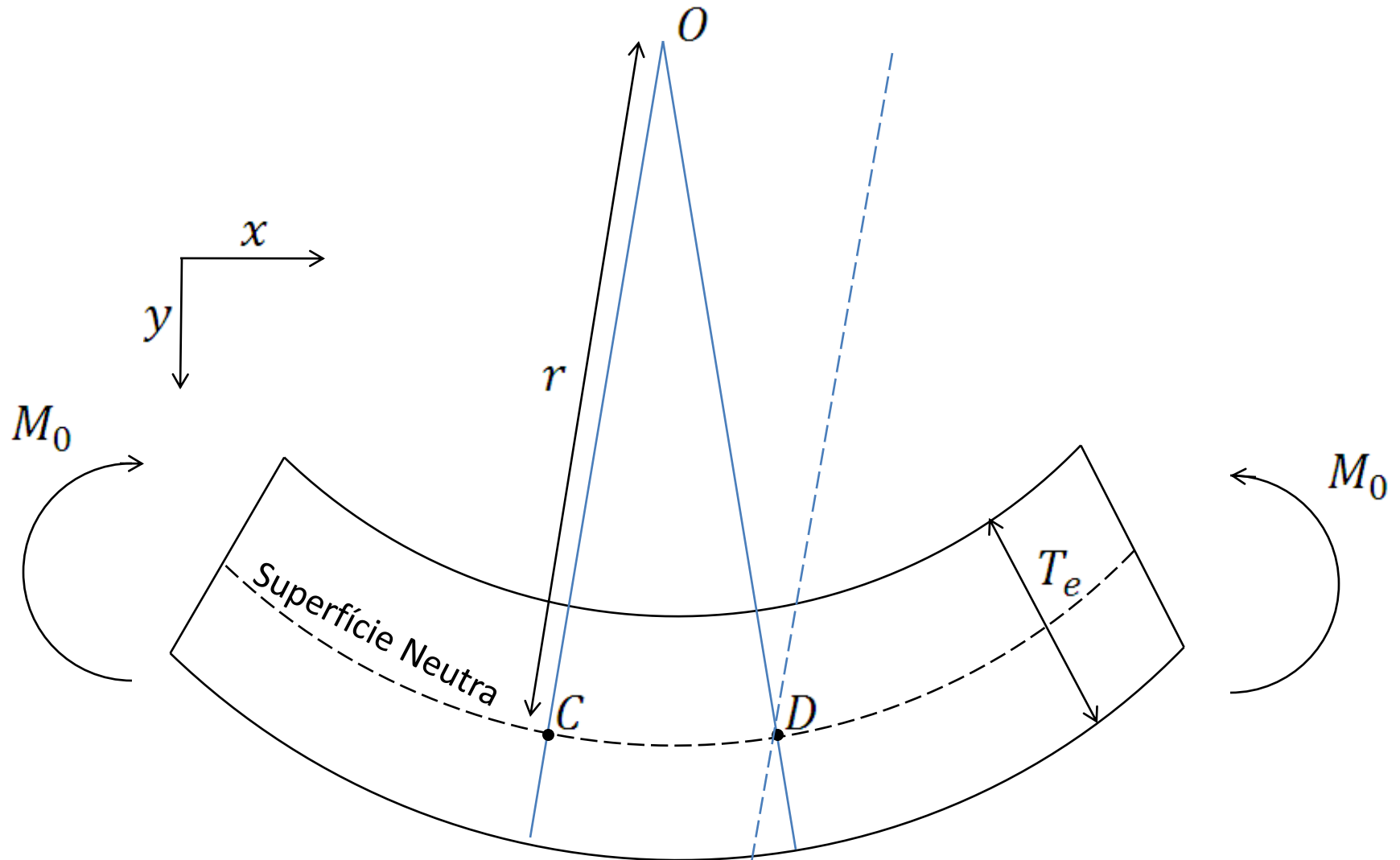
E Módulo de elasticidade

ν Coeficiente de Poisson

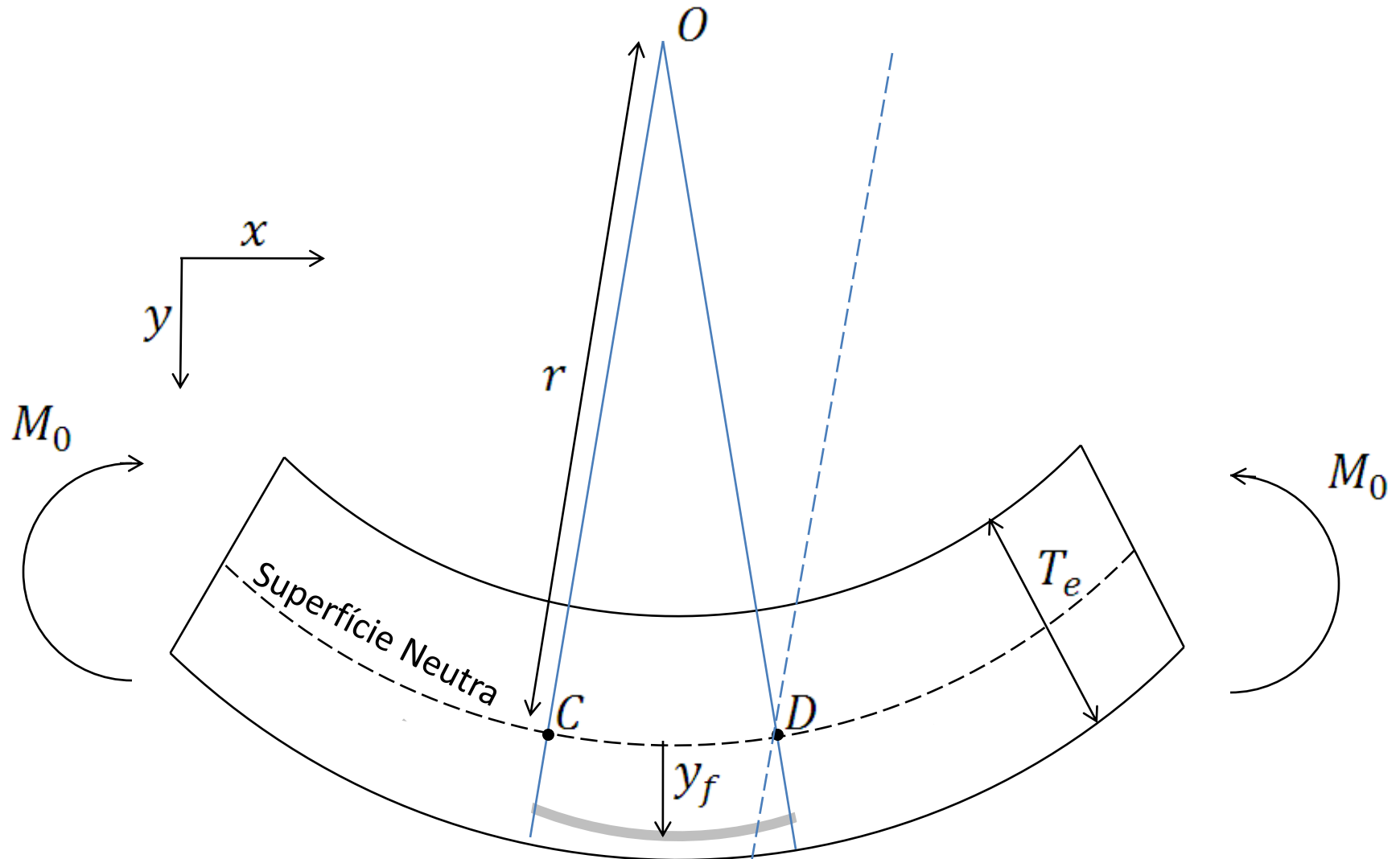
Deformações no interior da placa



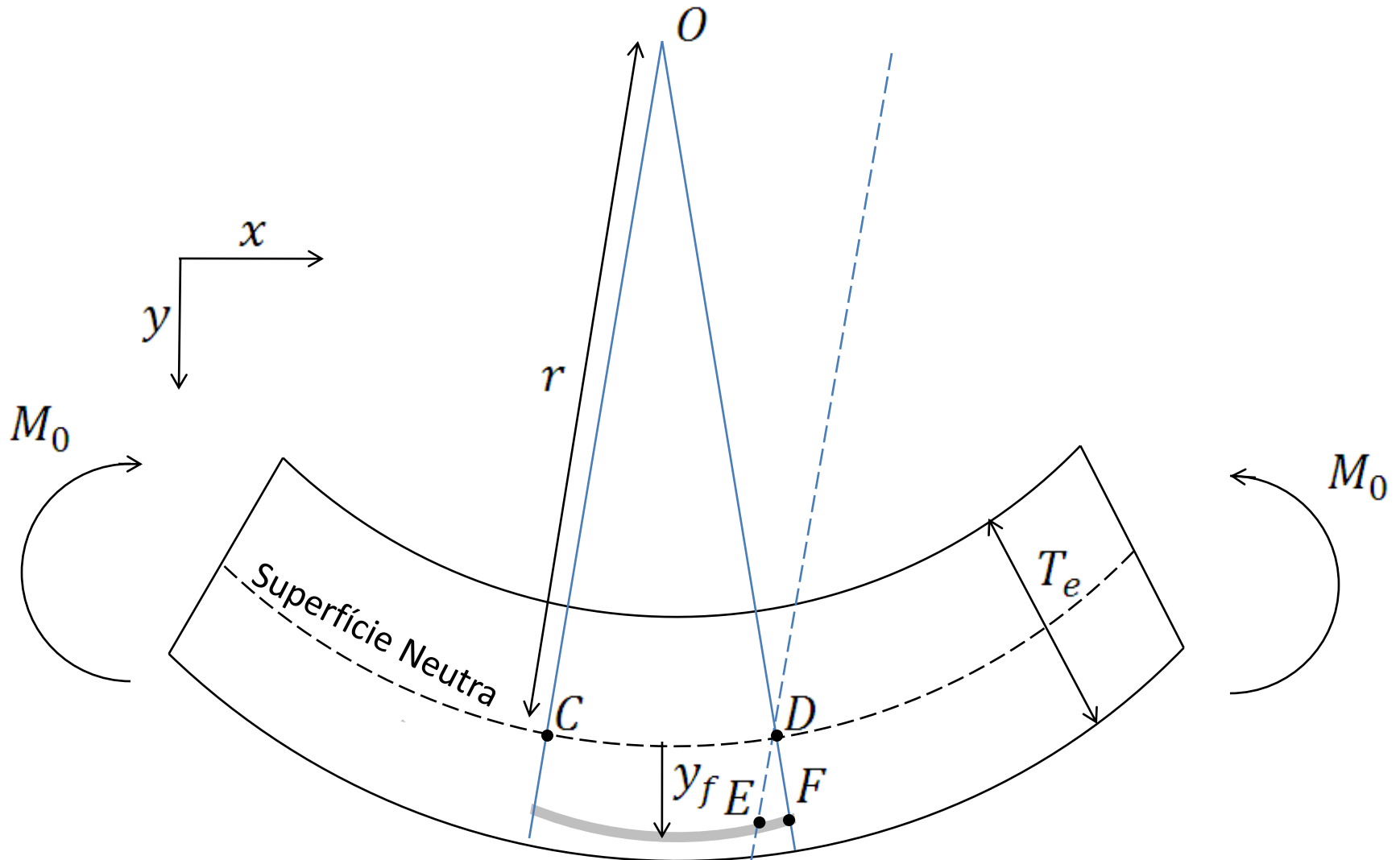
Deformações no interior da placa



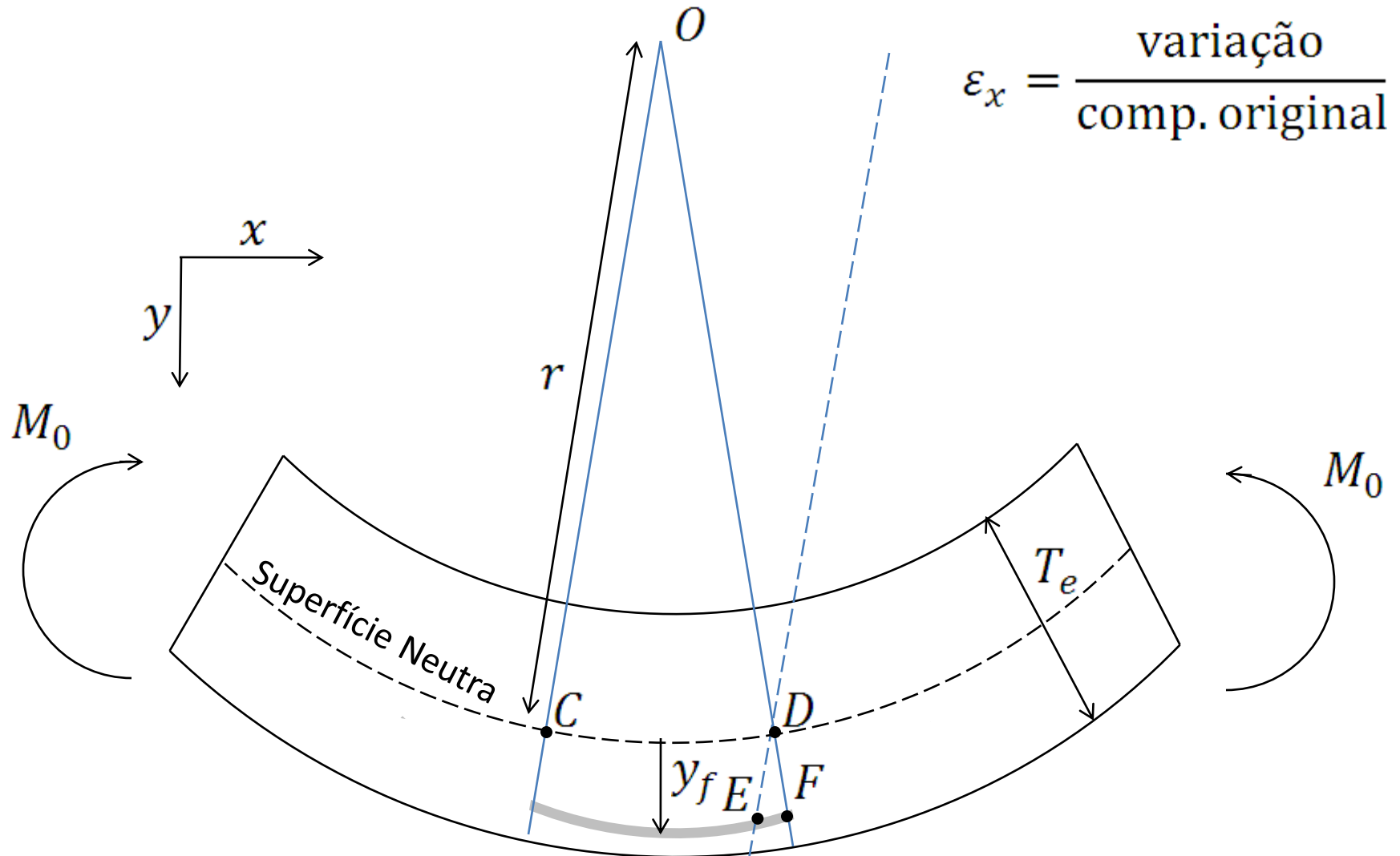
Deformações no interior da placa



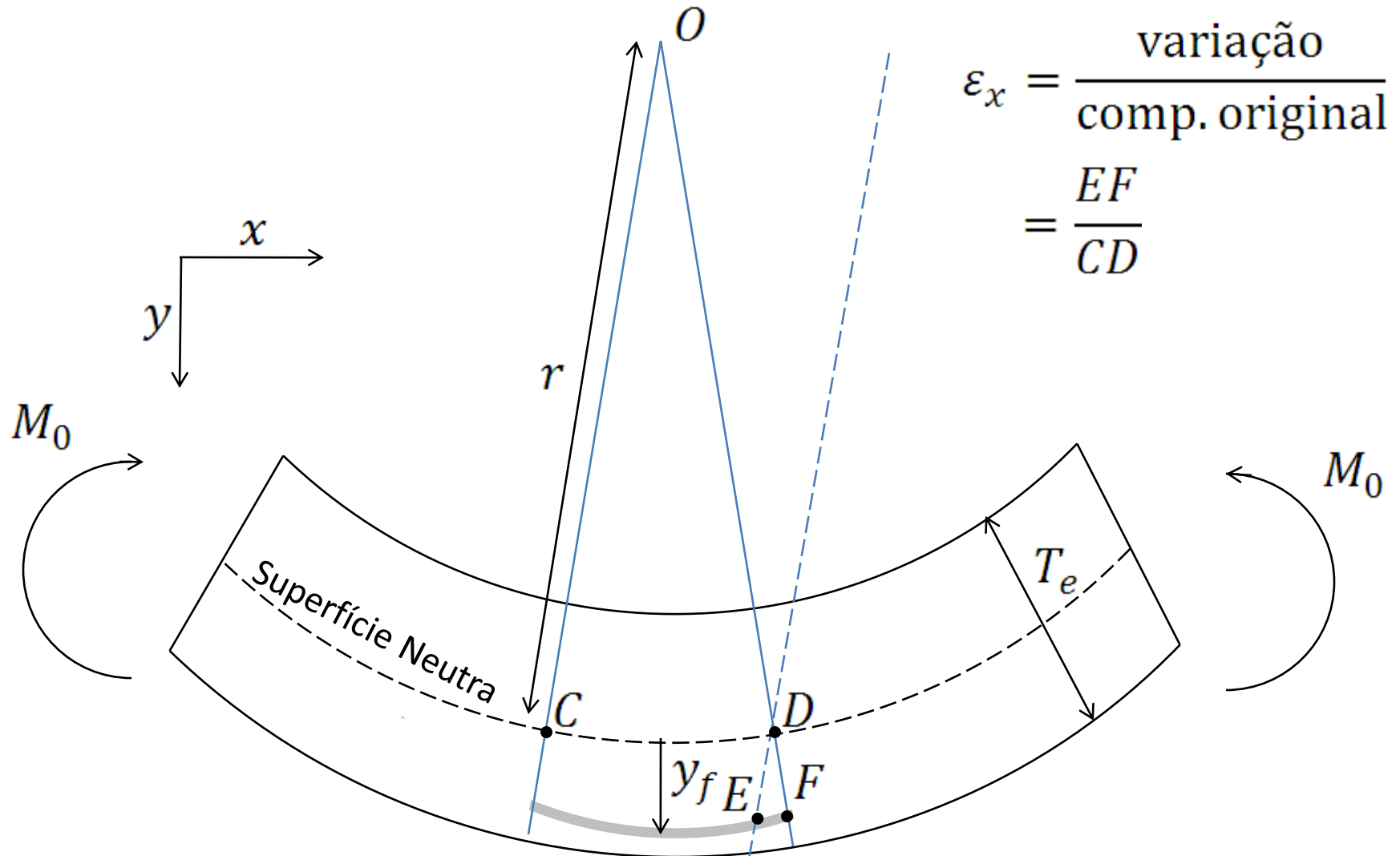
Deformações no interior da placa



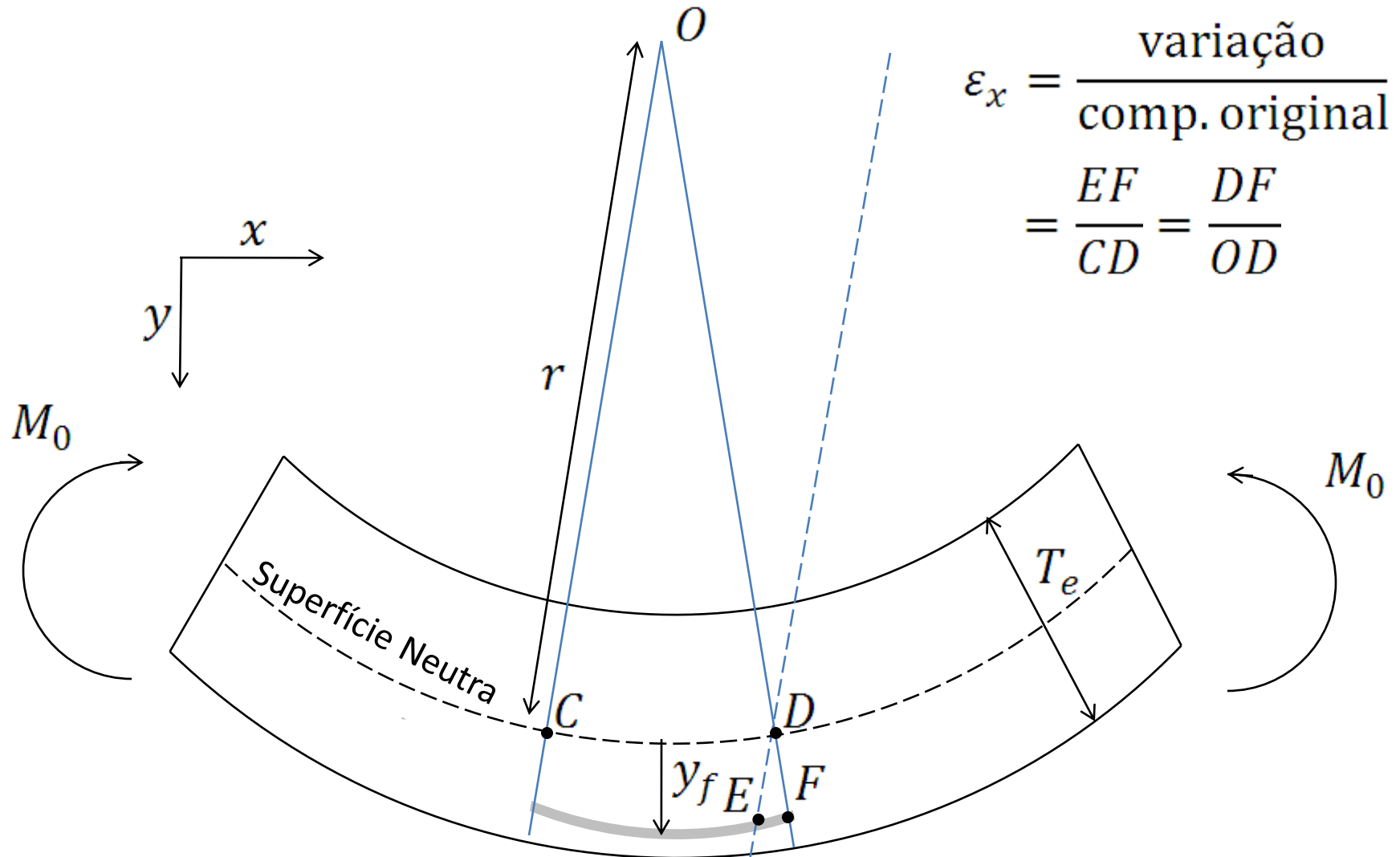
Deformações no interior da placa



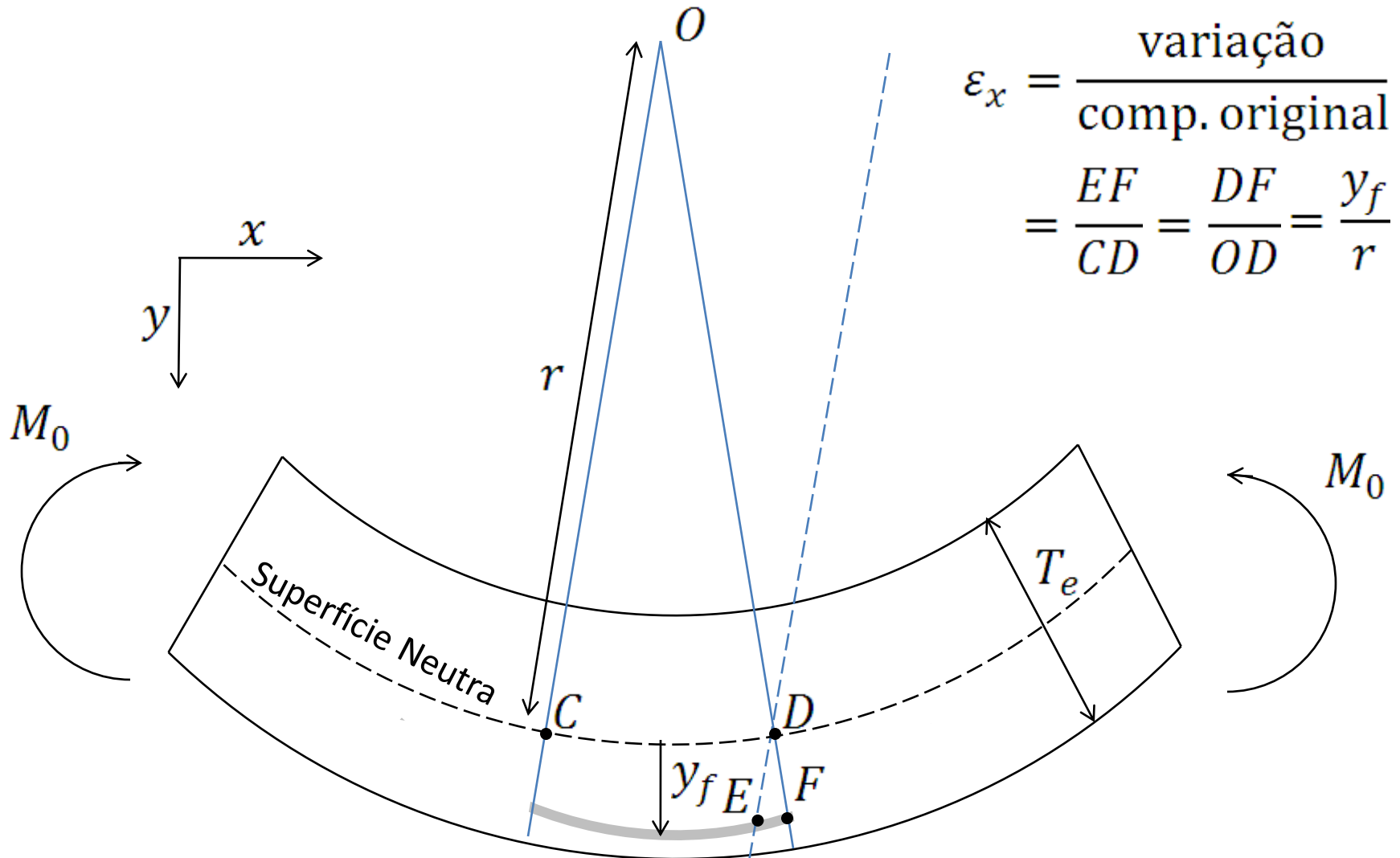
Deformações no interior da placa



Deformações no interior da placa



Deformações no interior da placa



Tensões no interior da placa

Problema de flexura em 2D:

Tensões no interior da placa

Problema de flexura em 2D: $\varepsilon_z = 0, \quad \sigma_y = 0$

Tensões no interior da placa

Problema de flexura em 2D: $\varepsilon_z = 0$, $\sigma_y = 0$

$$\begin{cases} \varepsilon_x = \frac{1}{E} \sigma_x - \frac{\nu}{E} \sigma_y - \frac{\nu}{E} \sigma_z \\ \varepsilon_y = -\frac{\nu}{E} \sigma_x + \frac{1}{E} \sigma_y - \frac{\nu}{E} \sigma_z \\ \varepsilon_z = -\frac{\nu}{E} \sigma_x - \frac{\nu}{E} \sigma_y + \frac{1}{E} \sigma_z \end{cases}$$

Tensões no interior da placa

Problema de flexura em 2D: $\varepsilon_z = 0$, $\sigma_y = 0$

$$\begin{cases} \varepsilon_x = \frac{1}{E}\sigma_x - \frac{\nu}{E}\sigma_y - \frac{\nu}{E}\sigma_z \\ \varepsilon_y = -\frac{\nu}{E}\sigma_x + \frac{1}{E}\sigma_y - \frac{\nu}{E}\sigma_z \\ \varepsilon_z = -\frac{\nu}{E}\sigma_x - \frac{\nu}{E}\sigma_y + \frac{1}{E}\sigma_z \end{cases}$$

Tensões no interior da placa

Problema de flexura em 2D: $\varepsilon_z = 0$, $\sigma_y = 0$

$$\left\{ \begin{array}{l} \varepsilon_x = \frac{1}{E} \sigma_x - \frac{\nu}{E} \sigma_y - \frac{\nu}{E} \sigma_z \\ \varepsilon_y = -\frac{\nu}{E} \sigma_x + \frac{1}{E} \sigma_y - \frac{\nu}{E} \sigma_z \\ \varepsilon_z = -\frac{\nu}{E} \sigma_x - \frac{\nu}{E} \sigma_y + \frac{1}{E} \sigma_z \end{array} \right. \rightarrow \left\{ \begin{array}{l} \varepsilon_x = \frac{1}{E} \sigma_x - \frac{\nu}{E} \sigma_z \\ \varepsilon_y = -\frac{\nu}{E} \sigma_x - \frac{\nu}{E} \sigma_z \\ 0 = -\frac{\nu}{E} \sigma_x + \frac{1}{E} \sigma_z \end{array} \right.$$

Tensões no interior da placa

Problema de flexura em 2D: $\varepsilon_z = 0$, $\sigma_y = 0$

$$\begin{cases} \varepsilon_x = \frac{1}{E}\sigma_x - \frac{\nu}{E}\sigma_y - \frac{\nu}{E}\sigma_z \\ \varepsilon_y = -\frac{\nu}{E}\sigma_x + \frac{1}{E}\sigma_y - \frac{\nu}{E}\sigma_z \\ \varepsilon_z = -\frac{\nu}{E}\sigma_x - \frac{\nu}{E}\sigma_y + \frac{1}{E}\sigma_z \end{cases} \rightarrow \begin{cases} \varepsilon_x = \frac{1}{E}\sigma_x - \frac{\nu}{E}\sigma_z \\ \varepsilon_y = -\frac{\nu}{E}\sigma_x - \frac{\nu}{E}\sigma_z \\ 0 = -\frac{\nu}{E}\sigma_x + \frac{1}{E}\sigma_z \end{cases} \rightarrow \begin{cases} \sigma_x = \frac{E\varepsilon_x}{1-\nu^2} \\ \sigma_z = \frac{E\varepsilon_x\nu}{1-\nu^2} \end{cases}$$

Tensões no interior da placa

Problema de flexura em 2D: $\varepsilon_z = 0, \quad \sigma_y = 0$

$$\varepsilon_x = \frac{y_f}{r}$$

$$\begin{cases} \varepsilon_x = \frac{1}{E}\sigma_x - \frac{\nu}{E}\sigma_y - \frac{\nu}{E}\sigma_z \\ \varepsilon_y = -\frac{\nu}{E}\sigma_x + \frac{1}{E}\sigma_y - \frac{\nu}{E}\sigma_z \\ \varepsilon_z = -\frac{\nu}{E}\sigma_x - \frac{\nu}{E}\sigma_y + \frac{1}{E}\sigma_z \end{cases} \rightarrow \begin{cases} \varepsilon_x = \frac{1}{E}\sigma_x - \frac{\nu}{E}\sigma_z \\ \varepsilon_y = -\frac{\nu}{E}\sigma_x - \frac{\nu}{E}\sigma_z \\ 0 = -\frac{\nu}{E}\sigma_x + \frac{1}{E}\sigma_z \end{cases} \rightarrow \begin{cases} \sigma_x = \frac{E\varepsilon_x}{1-\nu^2} \\ \sigma_z = \frac{E\varepsilon_x\nu}{1-\nu^2} \end{cases}$$

Tensões no interior da placa

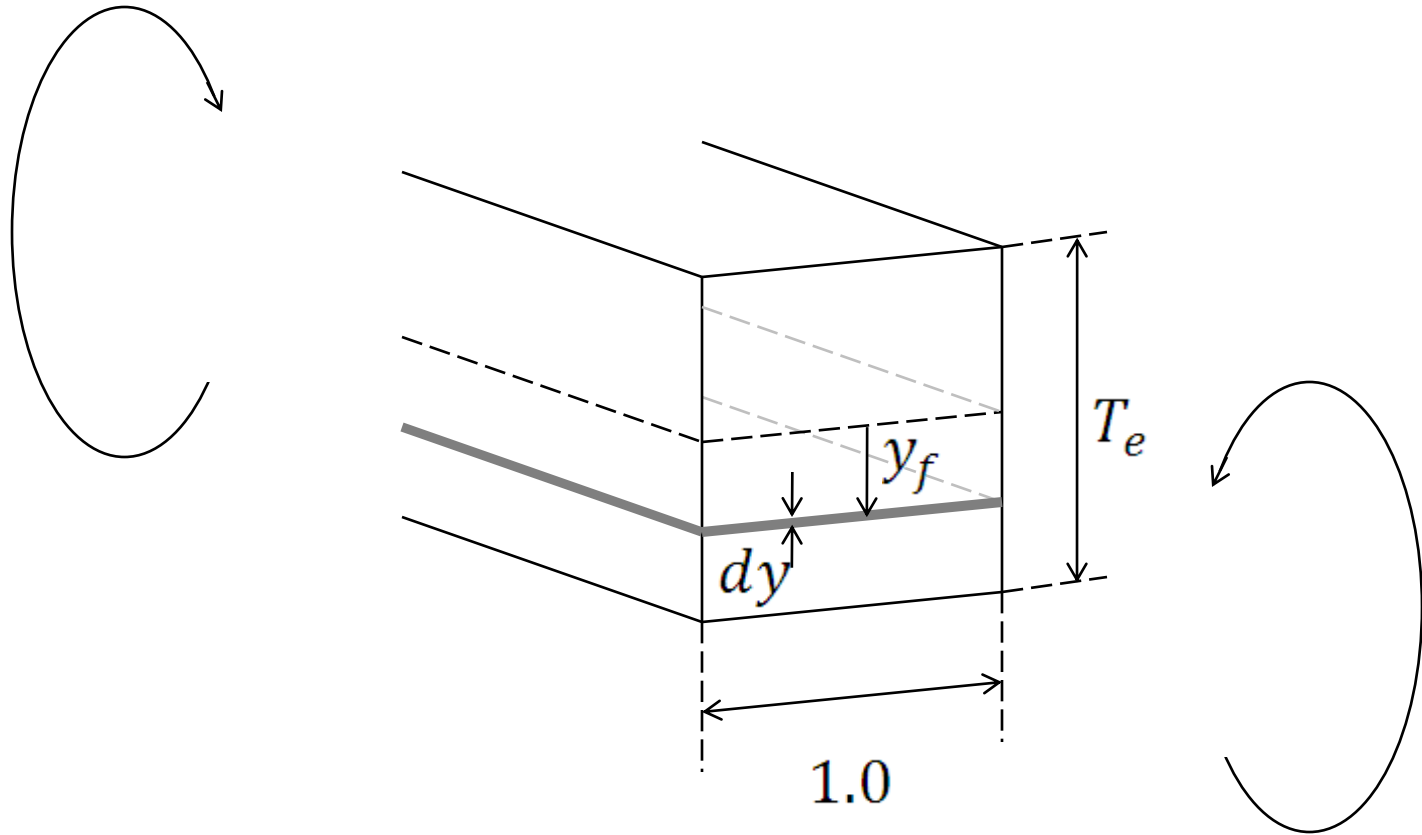
Problema de flexura em 2D: $\varepsilon_z = 0, \quad \sigma_y = 0$

$$\varepsilon_x = \frac{y_f}{r}$$

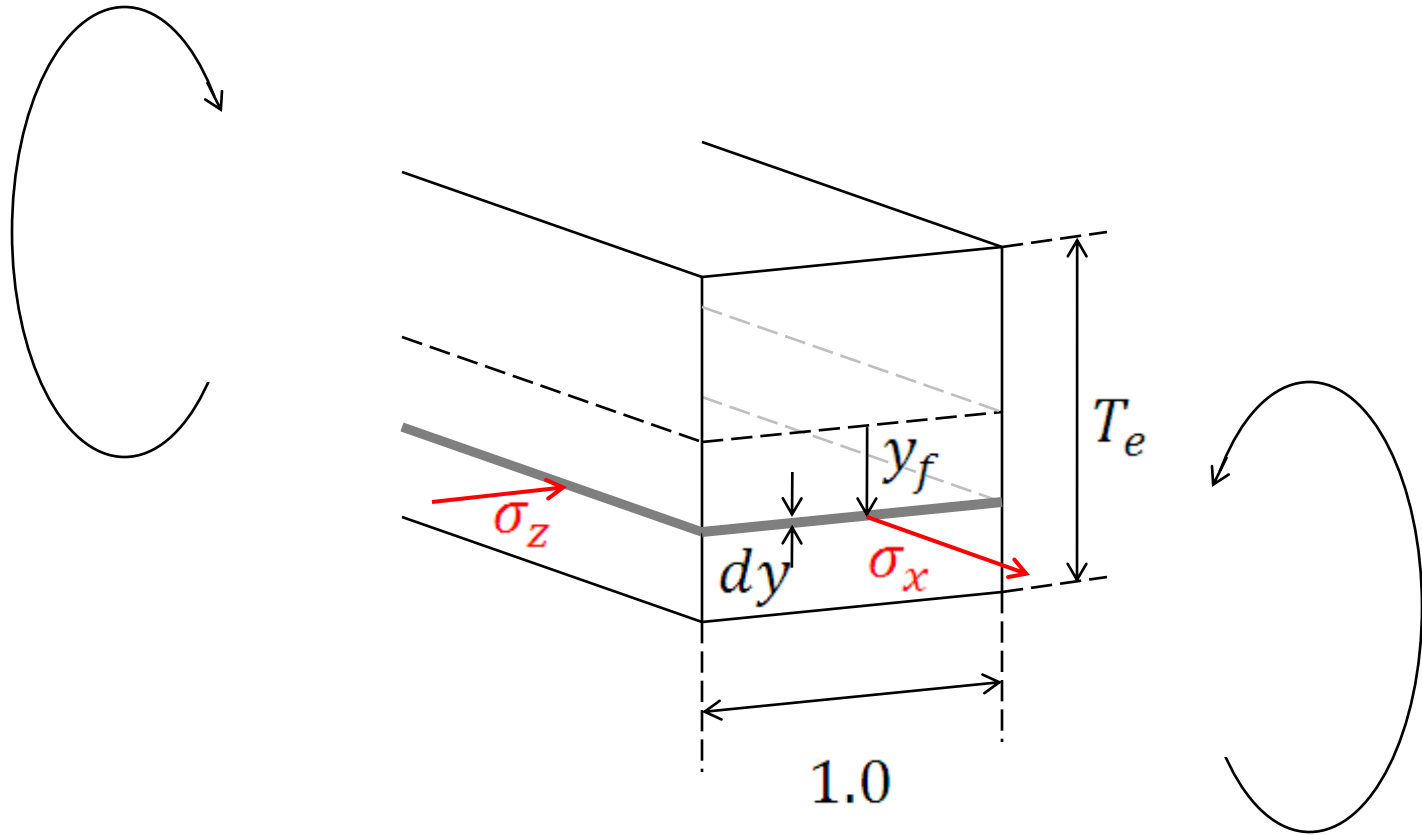
$$\begin{cases} \varepsilon_x = \frac{1}{E}\sigma_x - \frac{\nu}{E}\cancel{\sigma_y} - \frac{\nu}{E}\sigma_z \\ \varepsilon_y = -\frac{\nu}{E}\sigma_x + \frac{1}{E}\cancel{\sigma_y} - \frac{\nu}{E}\sigma_z \\ \cancel{\varepsilon_z} = -\frac{\nu}{E}\sigma_x - \frac{\nu}{E}\cancel{\sigma_y} + \frac{1}{E}\sigma_z \end{cases} \rightarrow \begin{cases} \varepsilon_x = \frac{1}{E}\sigma_x - \frac{\nu}{E}\sigma_z \\ \varepsilon_y = -\frac{\nu}{E}\sigma_x - \frac{\nu}{E}\sigma_z \\ 0 = -\frac{\nu}{E}\sigma_x + \frac{1}{E}\sigma_z \end{cases} \rightarrow \begin{cases} \sigma_x = \frac{E\varepsilon_x}{1-\nu^2} \\ \sigma_z = \frac{E\varepsilon_x\nu}{1-\nu^2} \end{cases}$$

$$\begin{cases} \sigma_x = \frac{E y_f}{r(1-\nu^2)} \\ \sigma_z = \frac{E y_f \nu}{r(1-\nu^2)} \end{cases}$$

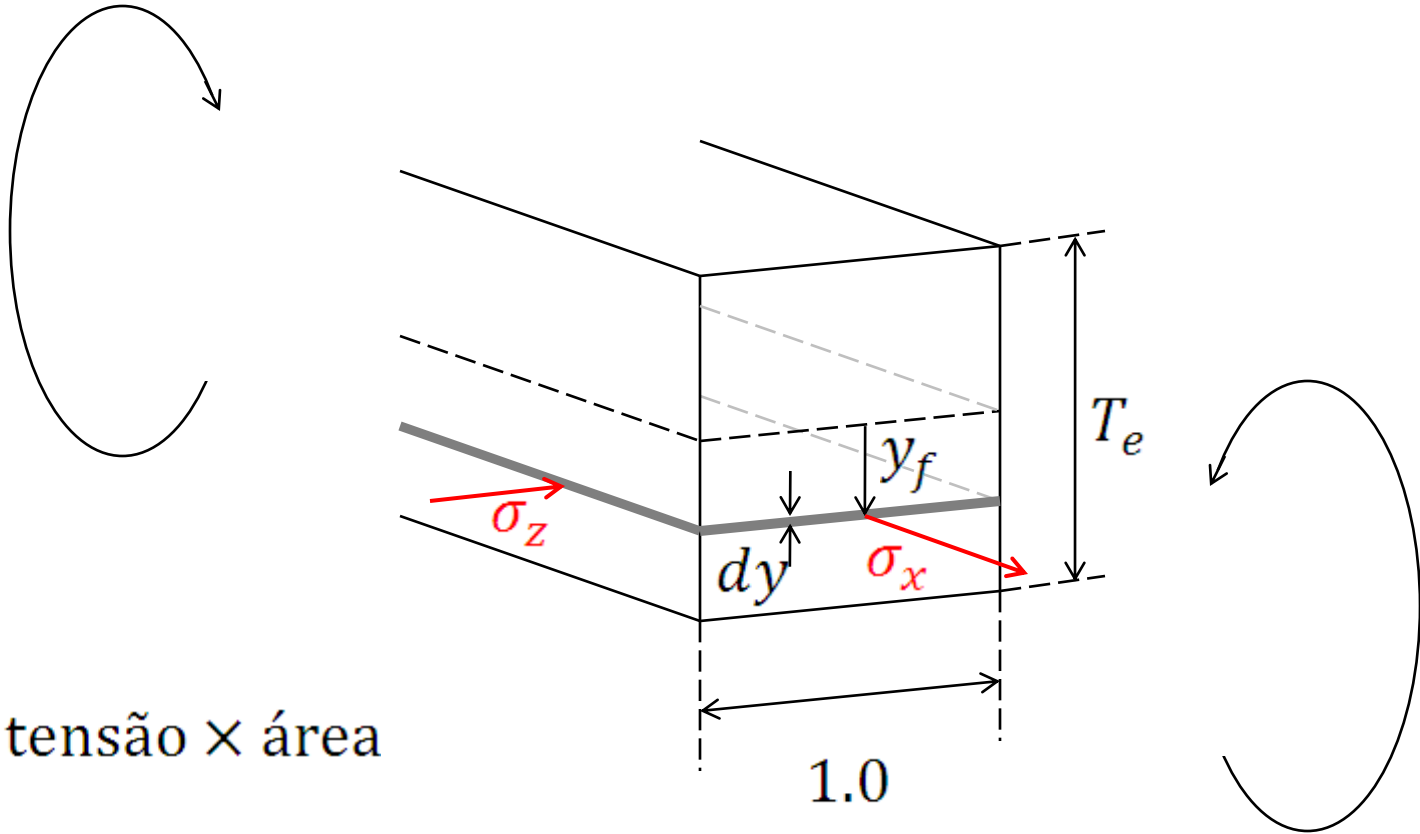
Força cisalhante e Torque



Força cisalhante e Torque

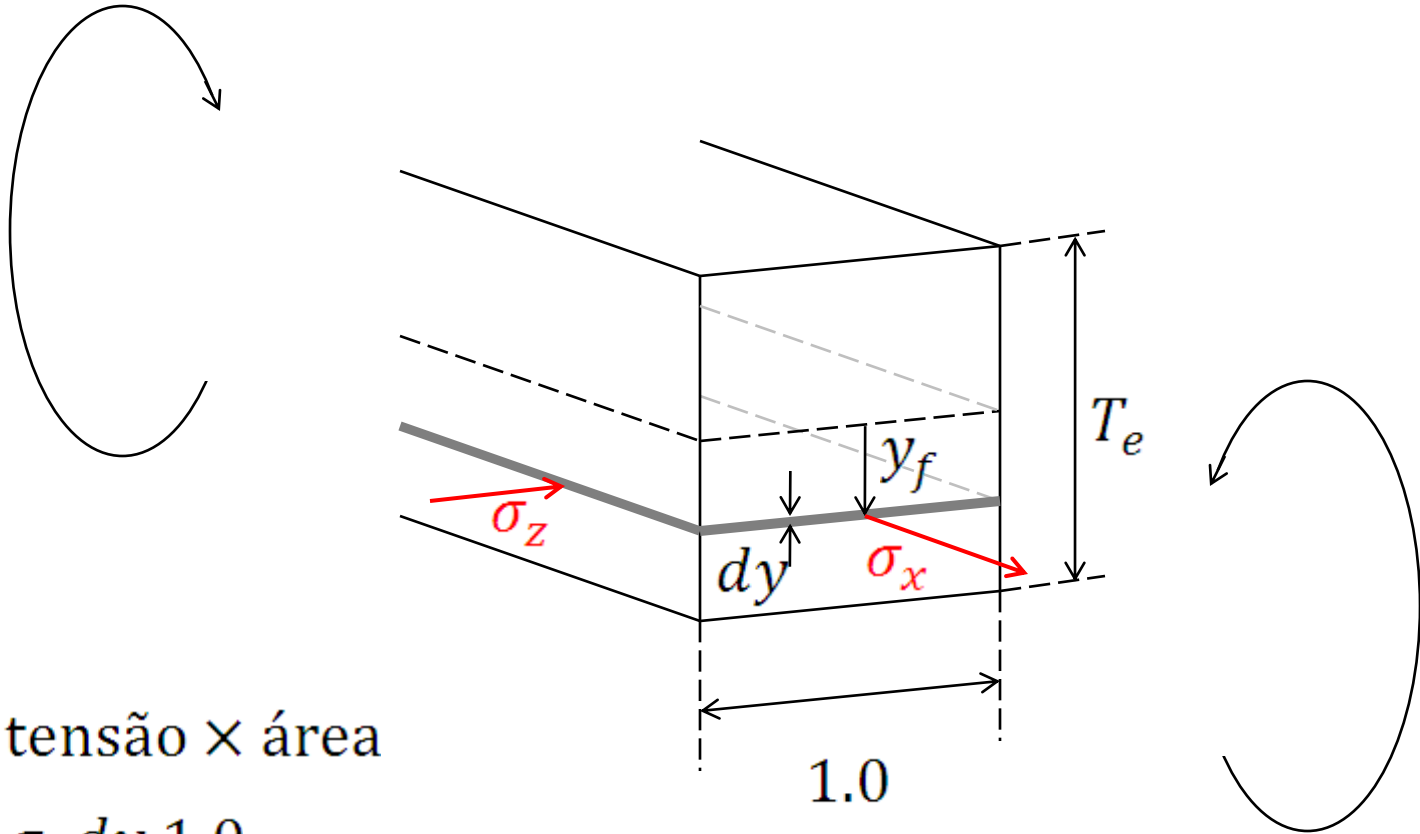


Força cisalhante e Torque



força = tensão \times área

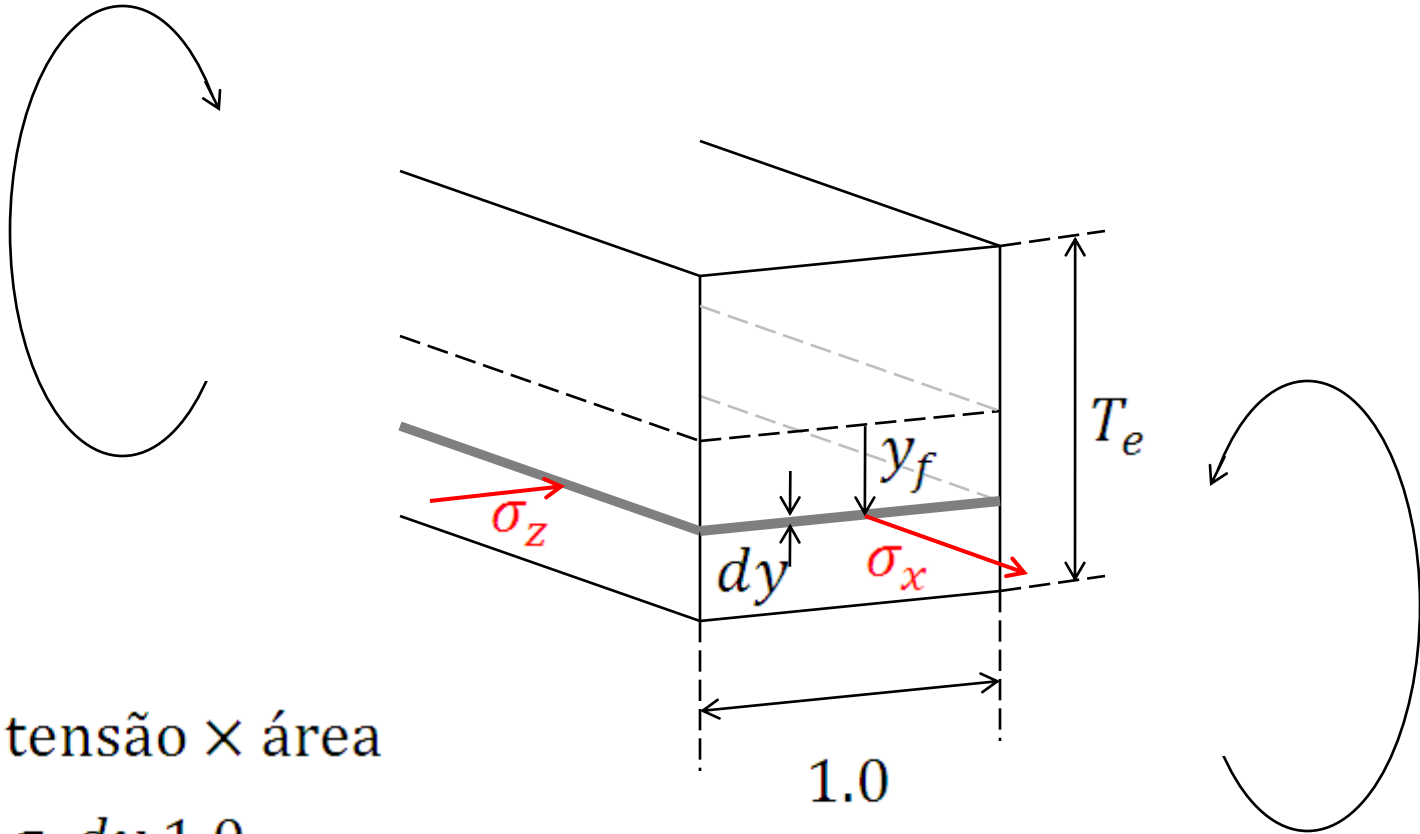
Força cisalhante e Torque



força = tensão \times área

$$dF = \sigma_x dy 1.0$$

Força cisalhante e Torque

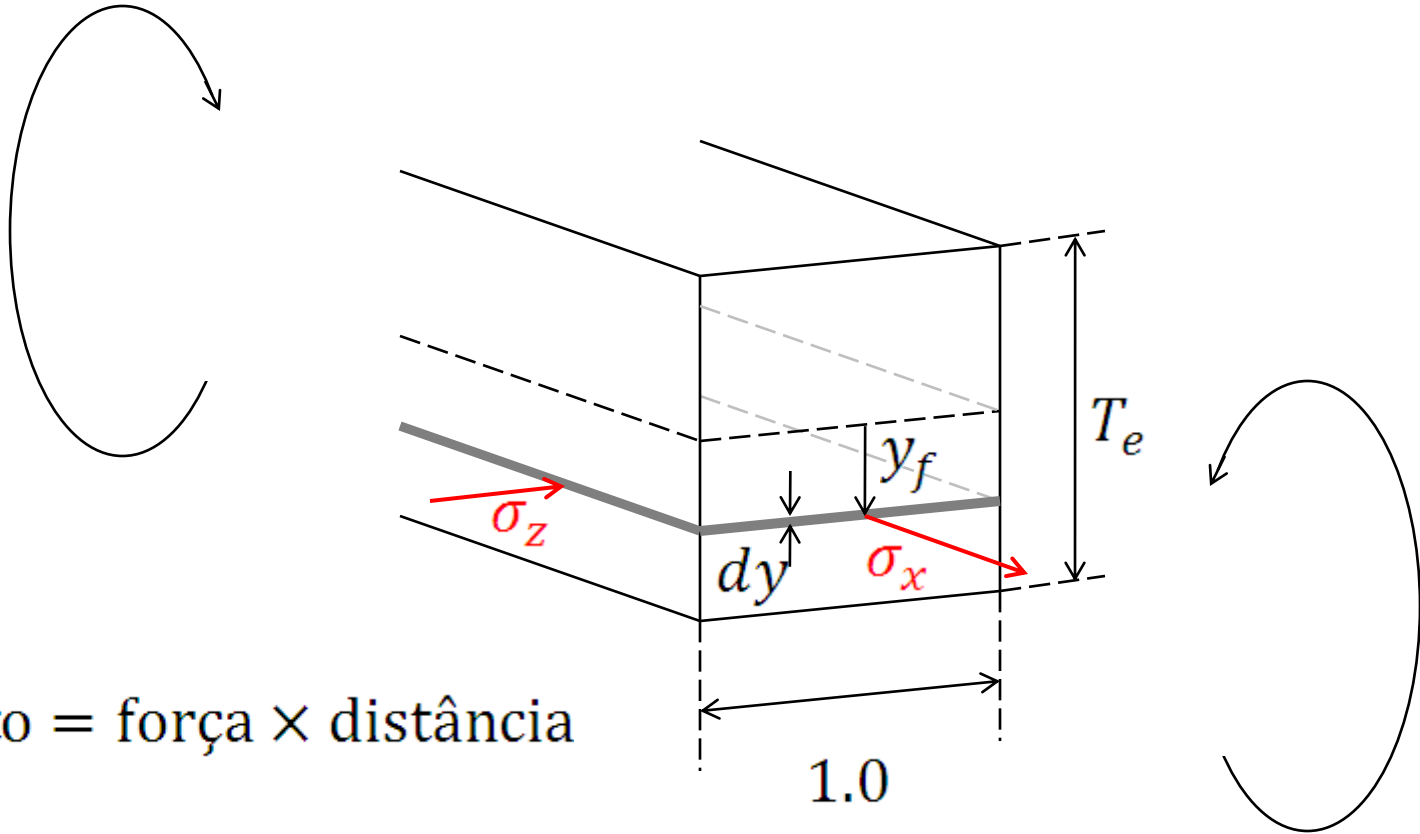


força = tensão \times área

$$dF = \sigma_x dy 1.0$$

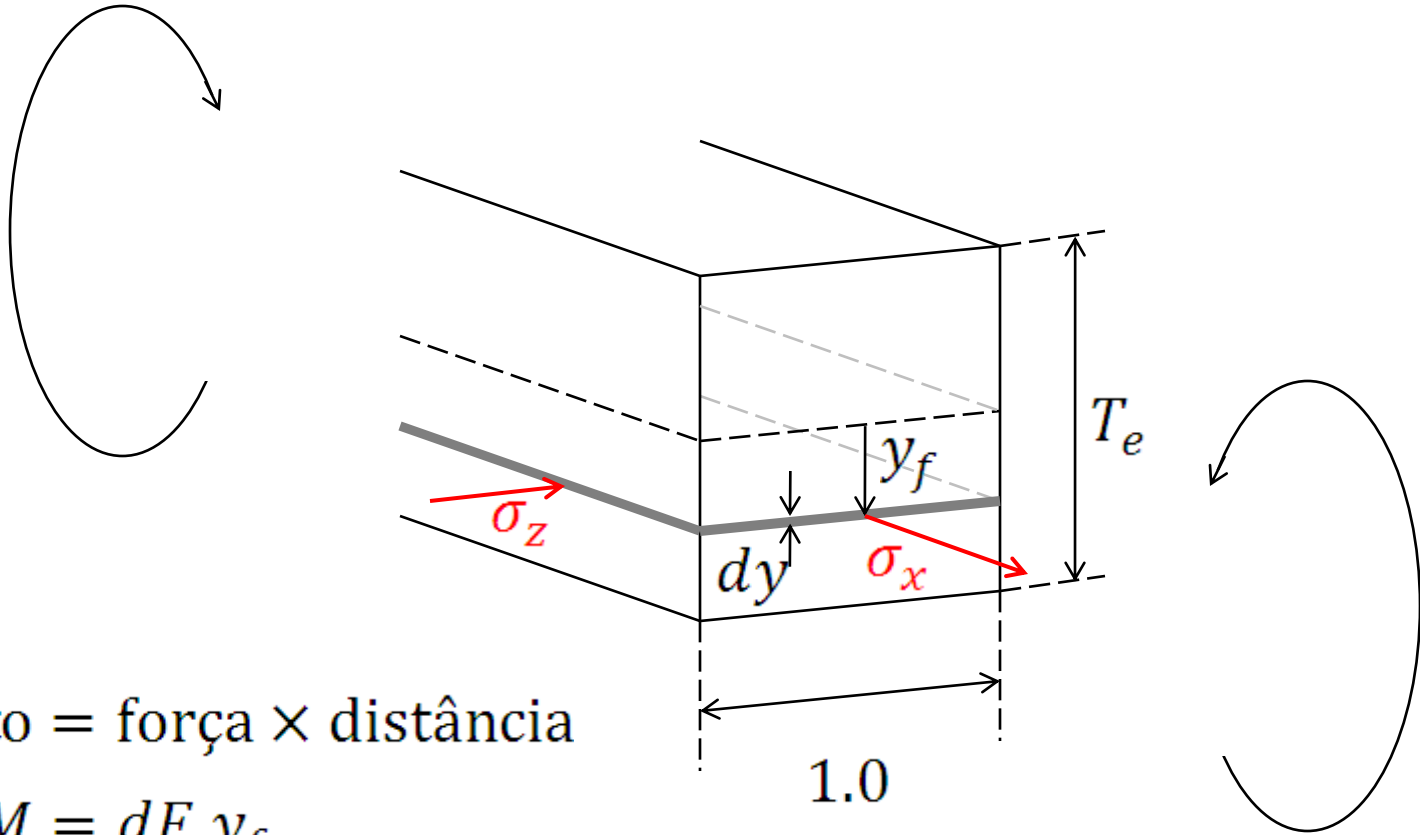
$$= \frac{E y_f}{r(1 - \nu^2)} dy$$

Força cisalhante e Torque



momento = força \times distância

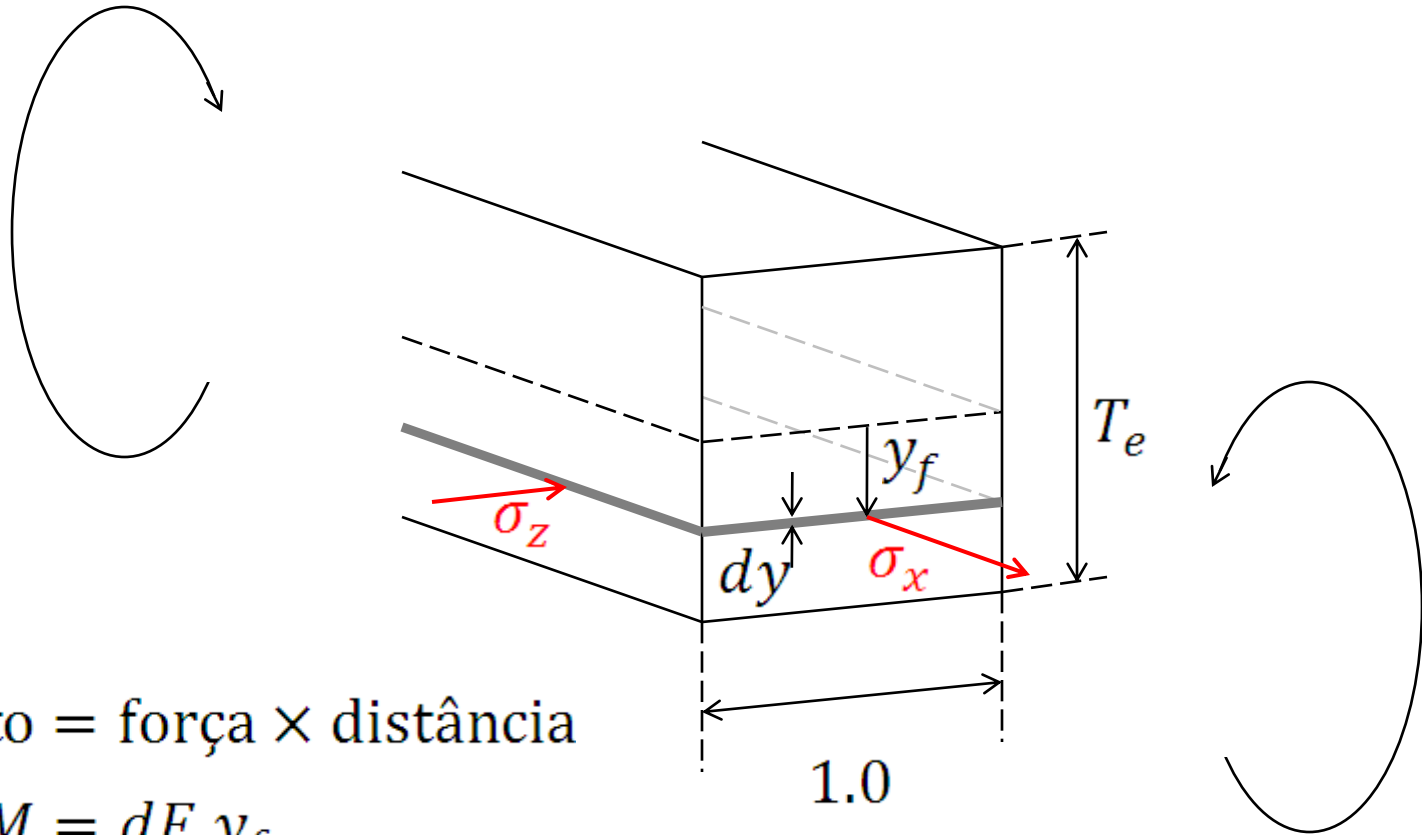
Força cisalhante e Torque



momento = força \times distância

$$dM = dF y_f$$

Força cisalhante e Torque



momento = força \times distância

$$dM = dF y_f$$

$$= \frac{E y_f^2}{r(1 - \nu^2)} dy$$

Força cisalhante e Torque

Força cisalhante e Torque

$$dM = \frac{E y_f^2}{r(1 - \nu^2)} dy$$

Força cisalhante e Torque

$$dM = \frac{E y_f^2}{r(1 - \nu^2)} dy$$

$$M = \int dM$$

Força cisalhante e Torque

$$dM = \frac{E y_f^2}{r(1 - \nu^2)} dy$$

$$M = \int dM = \int_{-\frac{T_e}{2}}^{\frac{T_e}{2}} \frac{E y_f^2}{r(1 - \nu^2)} dy$$

Força cisalhante e Torque

$$dM = \frac{E y_f^2}{r(1 - \nu^2)} dy$$

$$M = \int dM = \int_{-\frac{T_e}{2}}^{\frac{T_e}{2}} \frac{E y_f^2}{r(1 - \nu^2)} dy = \frac{E}{r(1 - \nu^2)} \left[\frac{y^3}{3} \right]_{-\frac{T_e}{2}}^{\frac{T_e}{2}}$$

Força cisalhante e Torque

$$dM = \frac{E y_f^2}{r(1 - \nu^2)} dy$$

$$M = \int dM = \int_{-\frac{T_e}{2}}^{\frac{T_e}{2}} \frac{E y_f^2}{r(1 - \nu^2)} dy = \frac{E}{r(1 - \nu^2)} \left[\frac{y^3}{3} \right]_{-\frac{T_e}{2}}^{\frac{T_e}{2}} = \frac{ET_e^3}{12(1 - \nu^2)} \cdot \frac{1}{r}$$

Força cisalhante e Torque

$$dM = \frac{E y_f^2}{r(1 - \nu^2)} dy$$

$$M = \int dM = \int_{-\frac{T_e}{2}}^{\frac{T_e}{2}} \frac{E y_f^2}{r(1 - \nu^2)} dy = \frac{E}{r(1 - \nu^2)} \left[\frac{y^3}{3} \right]_{-\frac{T_e}{2}}^{\frac{T_e}{2}} = \frac{ET_e^3}{12(1 - \nu^2)} \cdot \frac{1}{r}$$

Força cisalhante e Torque

$$dM = \frac{E y_f^2}{r(1 - \nu^2)} dy$$

$$M = \int dM = \int_{-\frac{T_e}{2}}^{\frac{T_e}{2}} \frac{E y_f^2}{r(1 - \nu^2)} dy = \frac{E}{r(1 - \nu^2)} \left[\frac{y^3}{3} \right]_{-\frac{T_e}{2}}^{\frac{T_e}{2}} = \frac{ET_e^3}{12(1 - \nu^2)} \cdot \frac{1}{r}$$

$= D$
Rigidez flexural

Força cisalhante e Torque

$$dM = \frac{E y_f^2}{r(1 - \nu^2)} dy$$

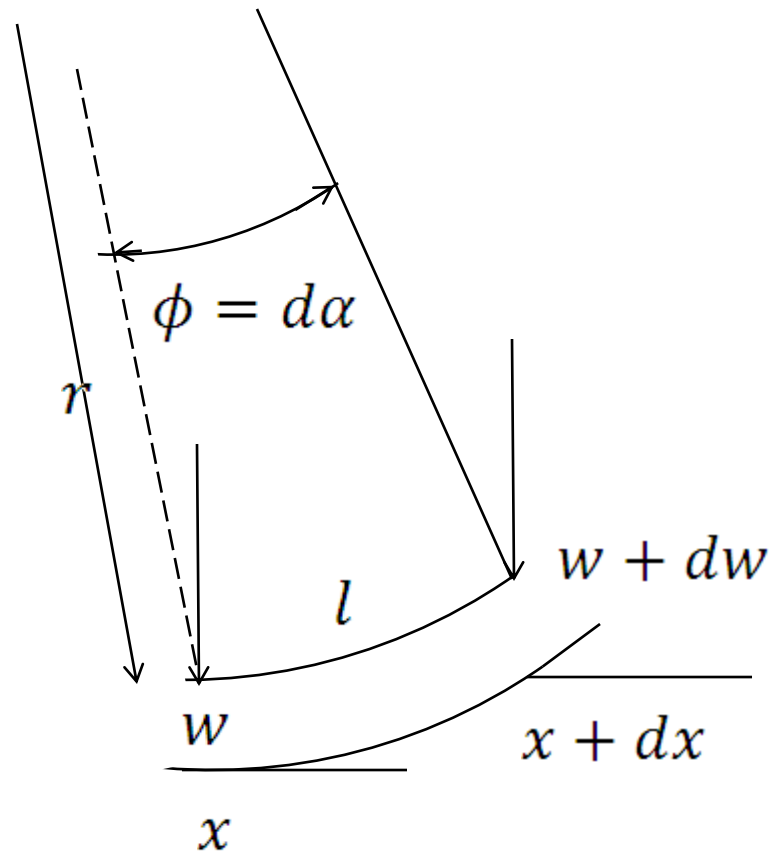
$$M = \int dM = \int_{-\frac{T_e}{2}}^{\frac{T_e}{2}} \frac{E y_f^2}{r(1 - \nu^2)} dy = \frac{E}{r(1 - \nu^2)} \left[\frac{y^3}{3} \right]_{-\frac{T_e}{2}}^{\frac{T_e}{2}} = \frac{ET_e^3}{12(1 - \nu^2)} \cdot \frac{1}{r}$$

$$= D$$

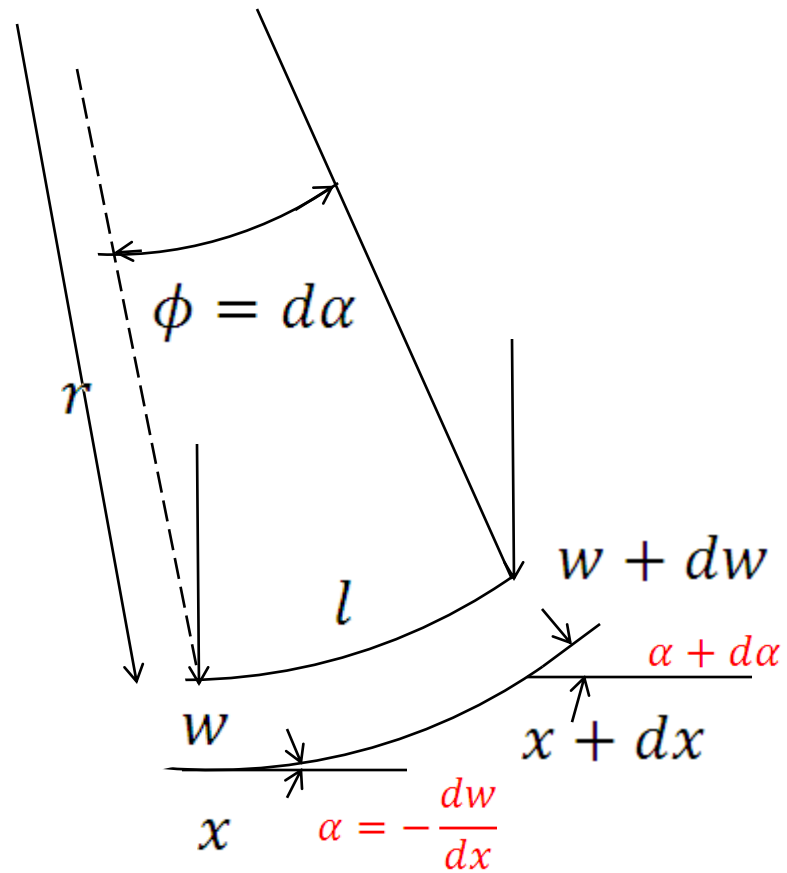
Rigidez flexural

$$M = \frac{D}{r}$$

Determinação do raio de curvatura

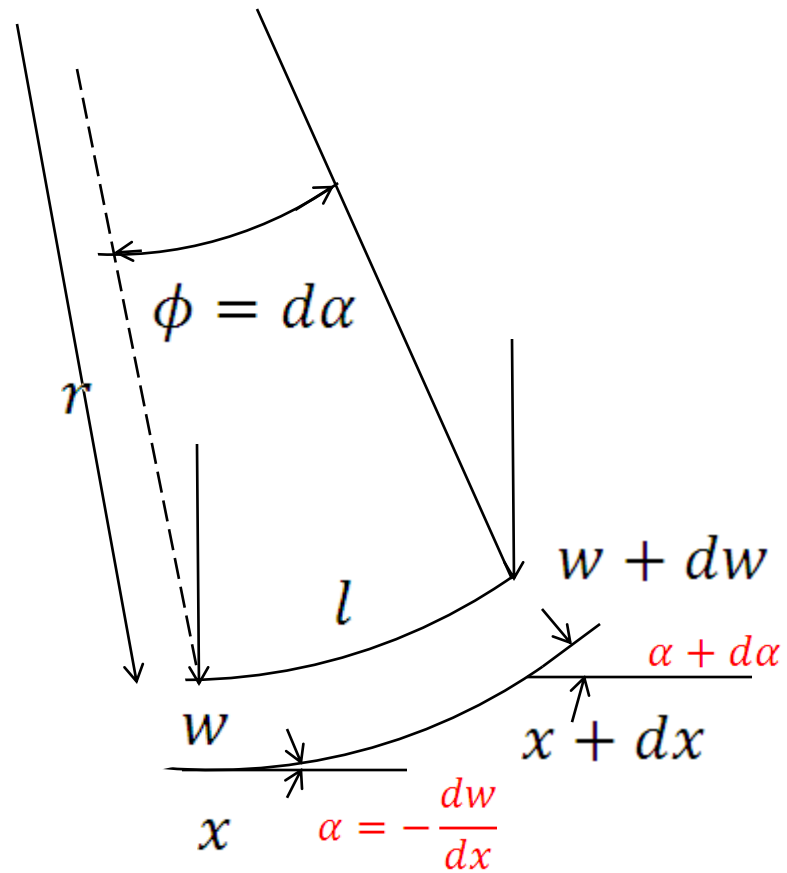


Determinação do raio de curvatura



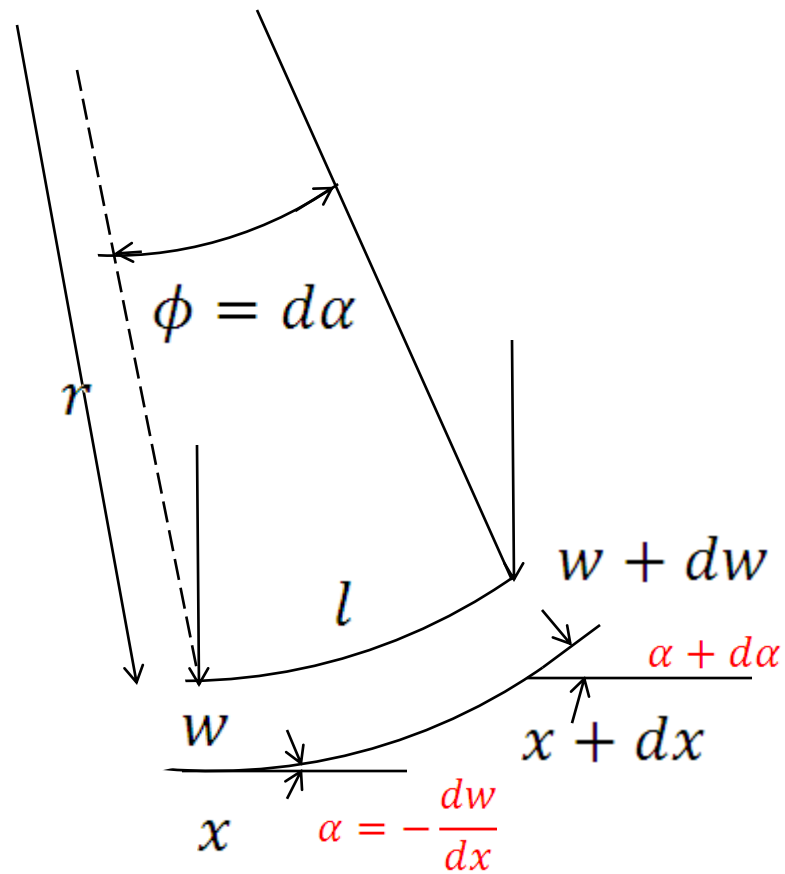
Determinação do raio de curvatura

$$\phi = d\alpha$$



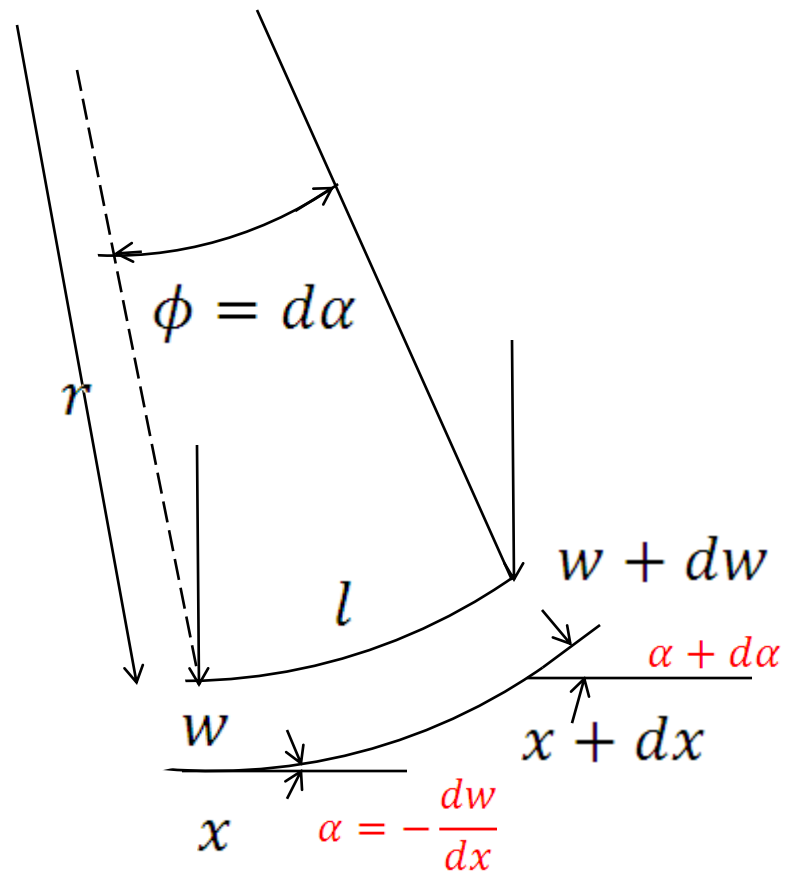
Determinação do raio de curvatura

$$\phi = d\alpha = \frac{d\alpha}{dx} dx$$



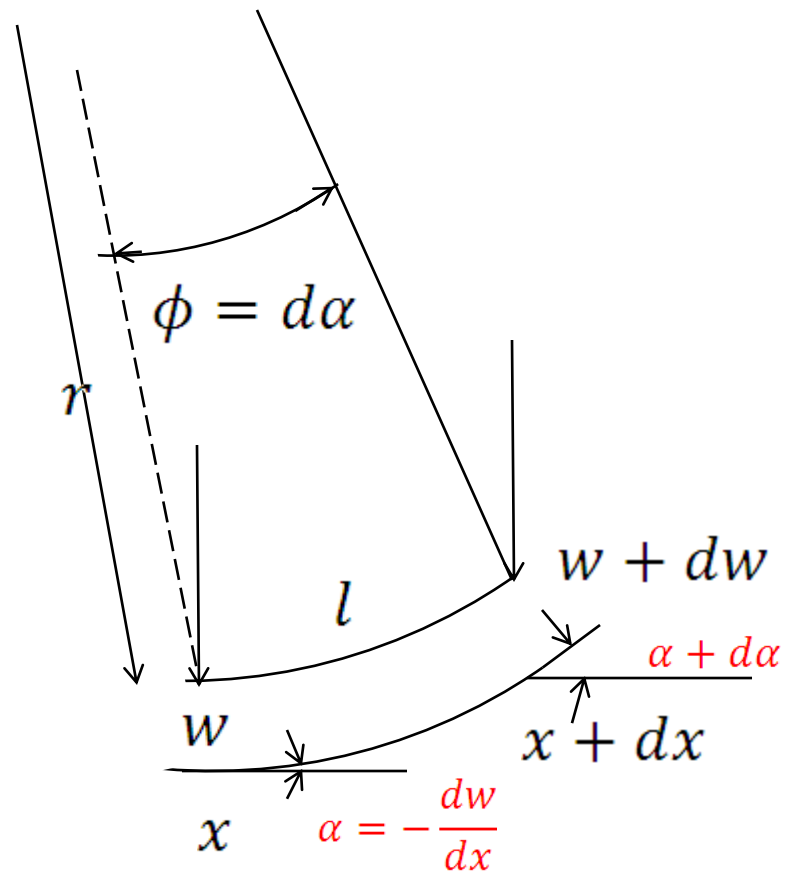
Determinação do raio de curvatura

$$\phi = d\alpha = \frac{d\alpha}{dx} dx$$
$$= \frac{d}{dx} \left(-\frac{dw}{dx} \right) dx$$



Determinação do raio de curvatura

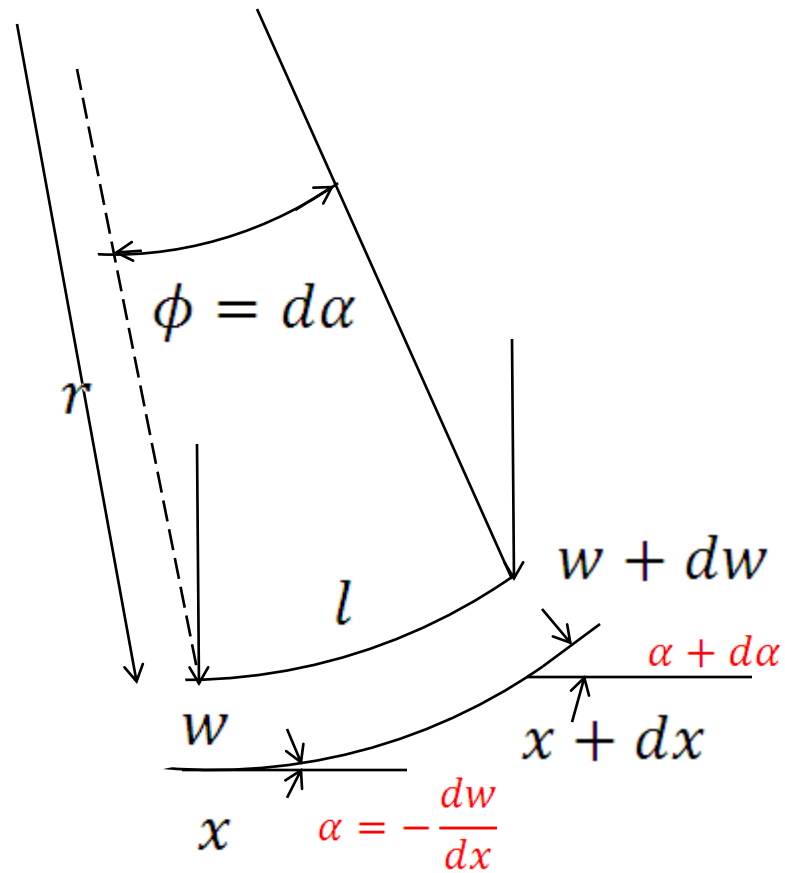
$$\begin{aligned}\phi &= d\alpha = \frac{d\alpha}{dx} dx \\ &= \frac{d}{dx} \left(-\frac{dw}{dx} \right) dx \\ &= -\frac{d^2w}{dx^2} dx\end{aligned}$$



Determinação do raio de curvatura

$$\begin{aligned}\phi &= d\alpha = \frac{d\alpha}{dx} dx \\ &= \frac{d}{dx} \left(-\frac{dw}{dx} \right) dx \\ &= -\frac{d^2w}{dx^2} dx\end{aligned}$$

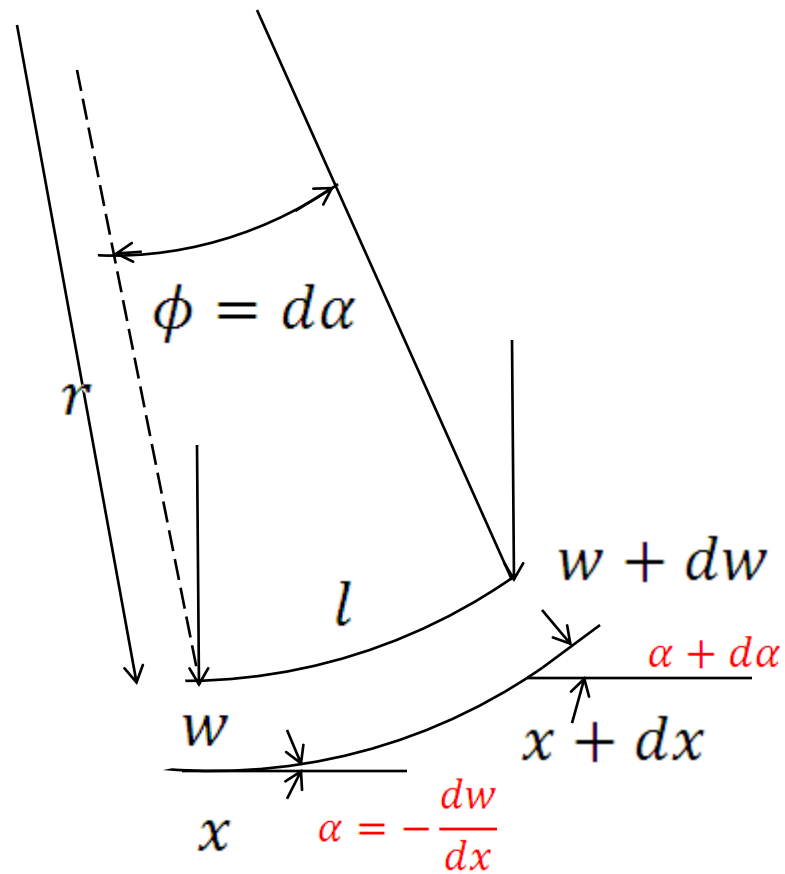
$$\frac{1}{r} = \frac{\phi}{l}$$



Determinação do raio de curvatura

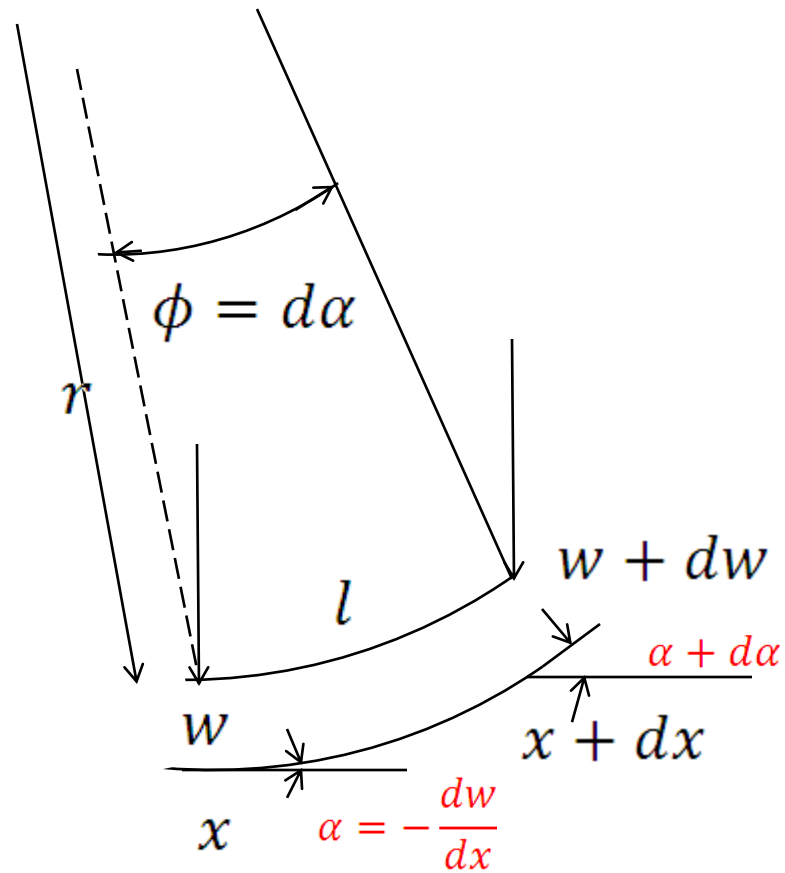
$$\begin{aligned}\phi &= d\alpha = \frac{d\alpha}{dx} dx \\ &= \frac{d}{dx} \left(-\frac{dw}{dx} \right) dx \\ &= -\frac{d^2w}{dx^2} dx\end{aligned}$$

$$\frac{1}{r} = \frac{\phi}{l} \approx \frac{\phi}{dx} = -\frac{d^2w}{dx^2}$$



Determinação do raio de curvatura

$$\begin{aligned}\phi &= d\alpha = \frac{d\alpha}{dx} dx \\ &= \frac{d}{dx} \left(-\frac{dw}{dx} \right) dx \\ &= -\frac{d^2w}{dx^2} dx\end{aligned}$$



$$\frac{1}{r} = \frac{\phi}{l} \approx \frac{\phi}{dx} = -\frac{d^2w}{dx^2}$$

Flexura de placa elástica fina

Flexura de placa elástica fina

$$\frac{d^2 M}{dx^2} = -q$$

$$M = \frac{D}{r}$$

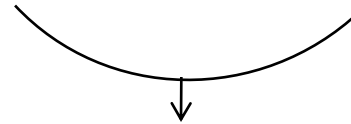
$$\frac{1}{r} \rightarrow -\frac{d^2 w}{dx^2}$$

Flexura de placa elástica fina

$$\frac{d^2 M}{dx^2} = -q$$

$$M = \frac{D}{r}$$

$$\frac{1}{r} \rightarrow -\frac{d^2 w}{dx^2}$$

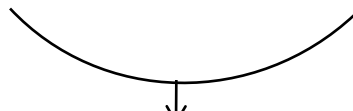


Flexura de placa elástica fina

$$\frac{d^2 M}{dx^2} = -q$$

$$M = \frac{D}{r}$$

$$\frac{1}{r} \rightarrow -\frac{d^2 w}{dx^2}$$


$$M = -D \frac{d^2 w}{dx^2}$$

Flexura de placa elástica fina

$$\frac{d^2 M}{dx^2} = -q$$

$$M = \frac{D}{r}$$

$$\frac{1}{r} \rightarrow -\frac{d^2 w}{dx^2}$$

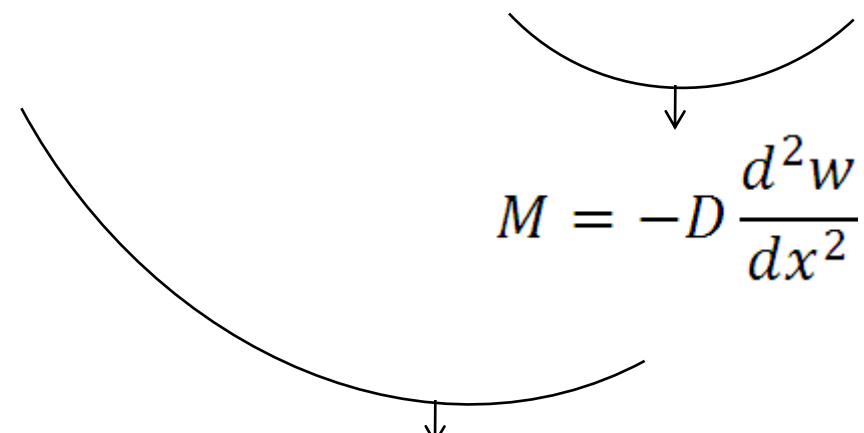
$$M = -D \frac{d^2 w}{dx^2}$$

Flexura de placa elástica fina

$$\frac{d^2 M}{dx^2} = -q$$

$$M = \frac{D}{r}$$

$$\frac{1}{r} \rightarrow -\frac{d^2 w}{dx^2}$$


$$M = -D \frac{d^2 w}{dx^2}$$

$$\frac{d^2}{dx^2} \left(D \frac{d^2 w}{dx^2} \right) = q(x)$$

Aplicação para a litosfera

$$\frac{d^2}{dx^2} \left(D \frac{d^2 w}{dx^2} \right) = q(x)$$

Aplicação para a litosfera

$$\frac{d^2}{dx^2} \left(D \frac{d^2 w}{dx^2} \right) = q(x)$$

Superfície

Crosta continental

Manto litosférico continental

Astenosfera

Aplicação para a litosfera

$$\frac{d^2}{dx^2} \left(D \frac{d^2 w}{dx^2} \right) = q(x)$$

ρ_c

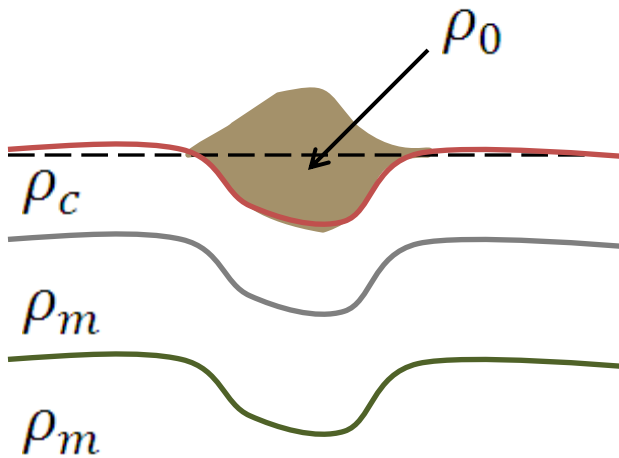
ρ_m

ρ_m

Aplicação para a litosfera

$$\frac{d^2}{dx^2} \left(D \frac{d^2 w}{dx^2} \right) = q(x)$$

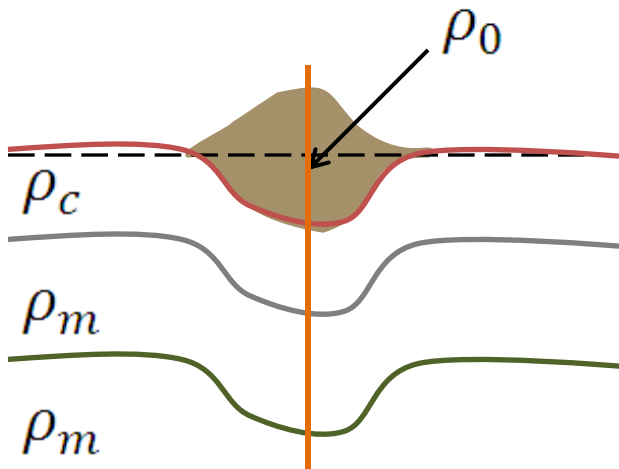
$q(x) = \text{carga} - \text{empuxo}$



Aplicação para a litosfera

$$\frac{d^2}{dx^2} \left(D \frac{d^2 w}{dx^2} \right) = q(x)$$

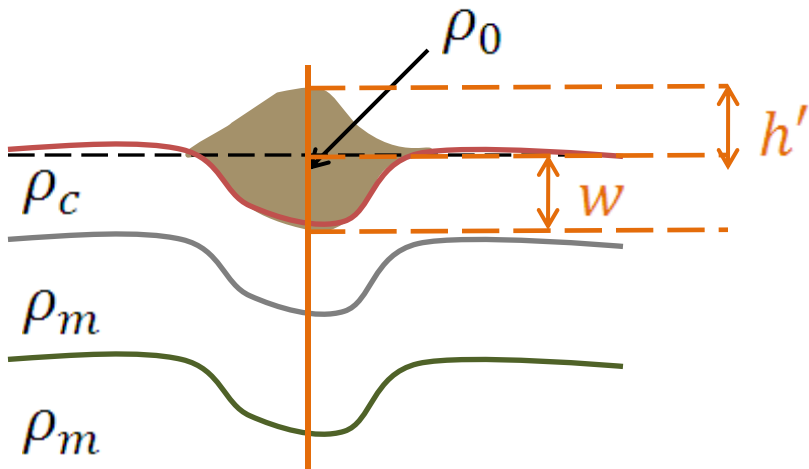
$q(x) = \text{carga} - \text{empuxo}$



Aplicação para a litosfera

$$\frac{d^2}{dx^2} \left(D \frac{d^2 w}{dx^2} \right) = q(x)$$

$q(x)$ = carga – empuxo

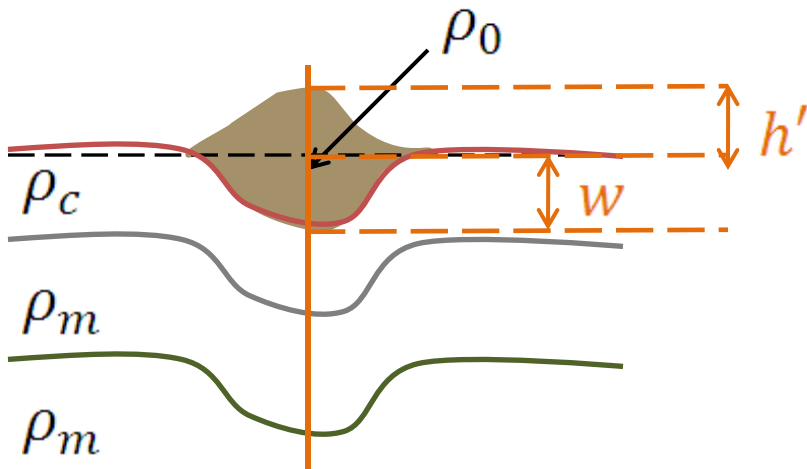


Aplicação para a litosfera

$$\frac{d^2}{dx^2} \left(D \frac{d^2 w}{dx^2} \right) = q(x)$$

$q(x)$ = carga – empuxo

$$q(x) = \rho_0 g (h' + w) - \rho_m g w$$

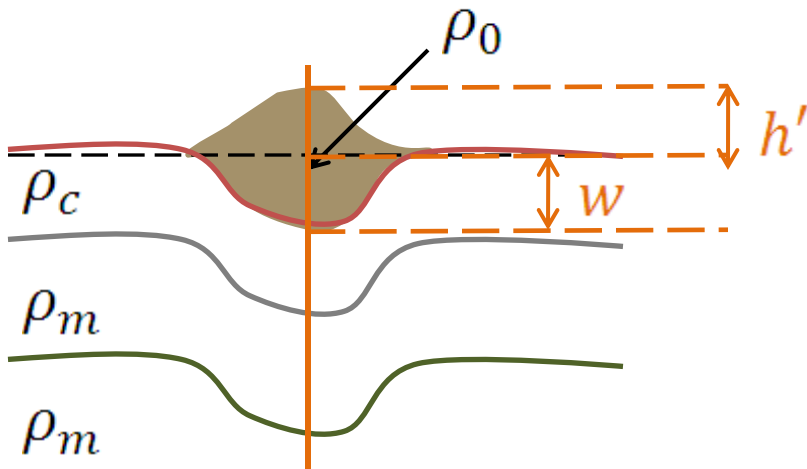


Aplicação para a litosfera

$$\frac{d^2}{dx^2} \left(D \frac{d^2 w}{dx^2} \right) = q(x)$$

$q(x)$ = carga – empuxo

$$\begin{aligned} q(x) &= \rho_0 g (h' + w) - \rho_m g w \\ &= \rho_0 g h' - (\rho_m - \rho_0) g w \end{aligned}$$

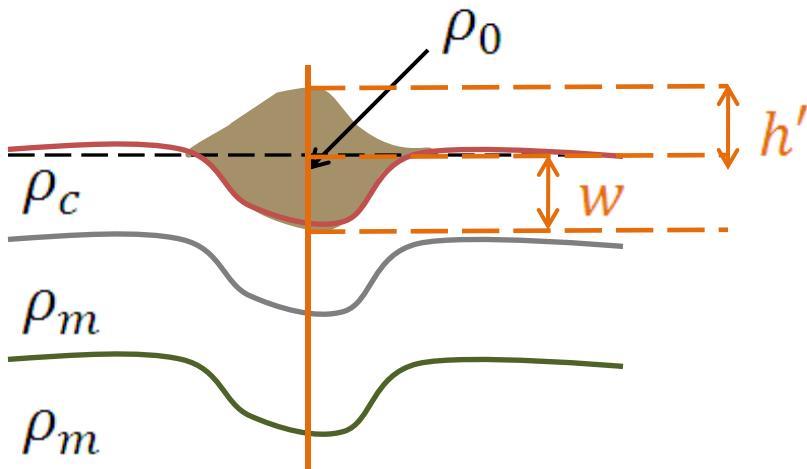


Aplicação para a litosfera

$$\frac{d^2}{dx^2} \left(D \frac{d^2 w}{dx^2} \right) = q(x)$$

$q(x)$ = carga – empuxo

$$\begin{aligned} q(x) &= \rho_0 g (h' + w) - \rho_m g w \\ &= \rho_0 g h' - (\rho_m - \rho_0) g w \end{aligned}$$



$$\frac{d^2}{dx^2} \left(D \frac{d^2 w}{dx^2} \right) + (\rho_m - \rho_0) g w = \rho_0 g h'$$

Aplicação para a litosfera

$$\frac{d^2}{dx^2} \left(D \frac{d^2 w}{dx^2} \right) = q(x)$$

Aplicação para a litosfera

$$\frac{d^2}{dx^2} \left(D \frac{d^2 w}{dx^2} \right) = q(x)$$

Superfície

Água

Litosfera oceânica

Astenosfera

Aplicação para a litosfera

$$\frac{d^2}{dx^2} \left(D \frac{d^2 w}{dx^2} \right) = q(x)$$

ρ_w

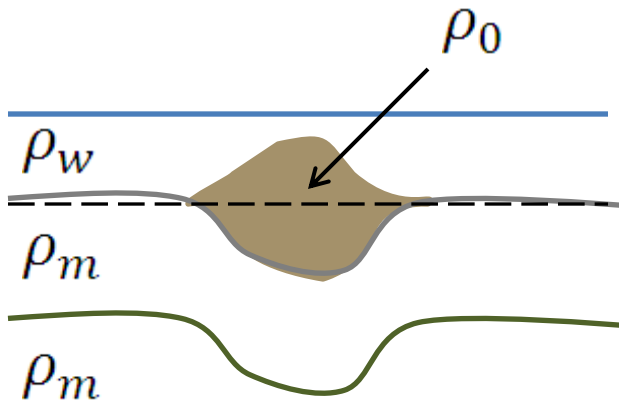
ρ_m

ρ_m

Aplicação para a litosfera

$$\frac{d^2}{dx^2} \left(D \frac{d^2 w}{dx^2} \right) = q(x)$$

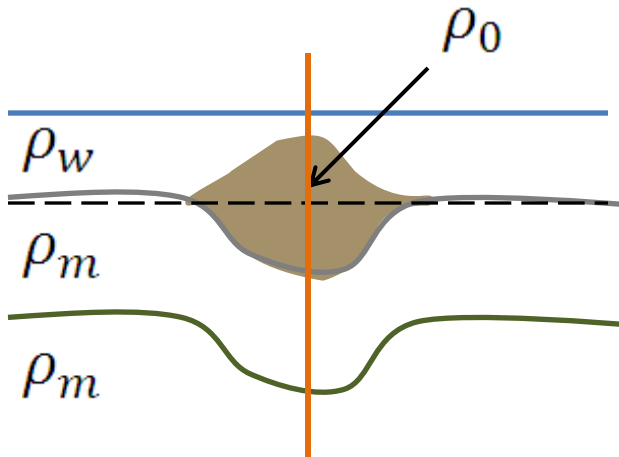
$q(x) = \text{car.} - \text{água desloc.} - \text{empuxo}$



Aplicação para a litosfera

$$\frac{d^2}{dx^2} \left(D \frac{d^2 w}{dx^2} \right) = q(x)$$

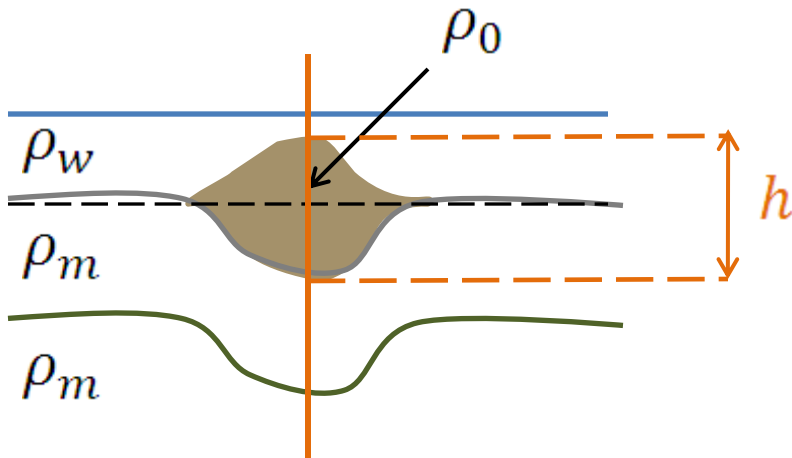
$q(x) = \text{car.} - \text{águas desloc.} - \text{empuxo}$



Aplicação para a litosfera

$$\frac{d^2}{dx^2} \left(D \frac{d^2 w}{dx^2} \right) = q(x)$$

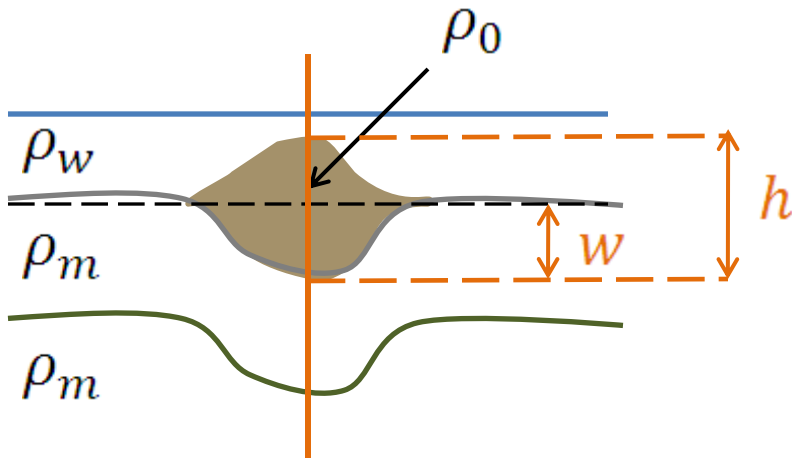
$q(x) = \text{car.} - \text{água desloc.} - \text{empuxo}$



Aplicação para a litosfera

$$\frac{d^2}{dx^2} \left(D \frac{d^2 w}{dx^2} \right) = q(x)$$

$q(x) = \text{car.} - \text{águas desloc.} - \text{empuxo}$

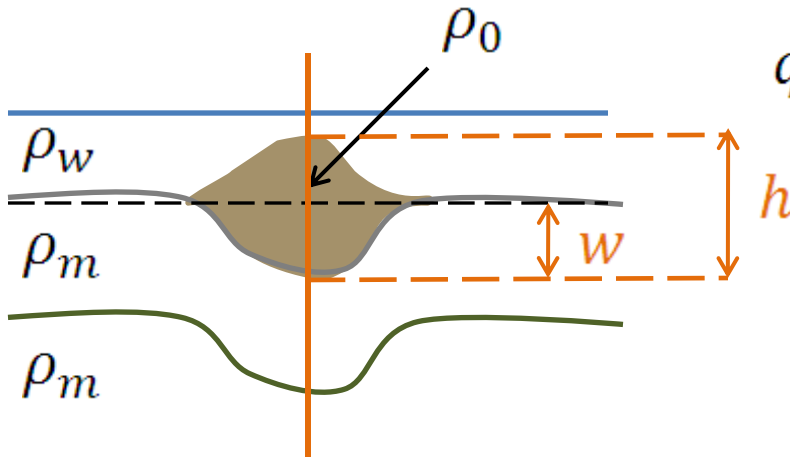


Aplicação para a litosfera

$$\frac{d^2}{dx^2} \left(D \frac{d^2 w}{dx^2} \right) = q(x)$$

$q(x)$ = car. – água desloc. – empuxo

$$q(x) = \rho_0 g h - \rho_w g (h - w) - \rho_m g w$$



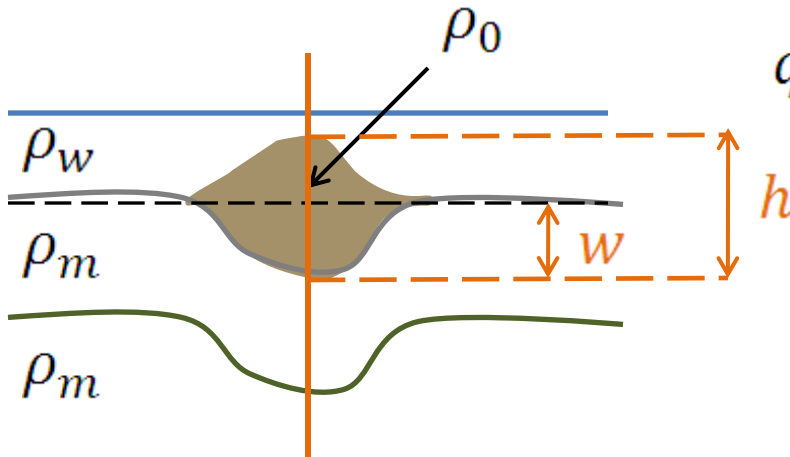
Aplicação para a litosfera

$$\frac{d^2}{dx^2} \left(D \frac{d^2 w}{dx^2} \right) = q(x)$$

$q(x)$ = car. – água desloc. – empuxo

$$q(x) = \rho_0 g h - \rho_w g (h - w) - \rho_m g w$$

$$= (\rho_0 - \rho_w) g h - (\rho_m - \rho_w) g w$$



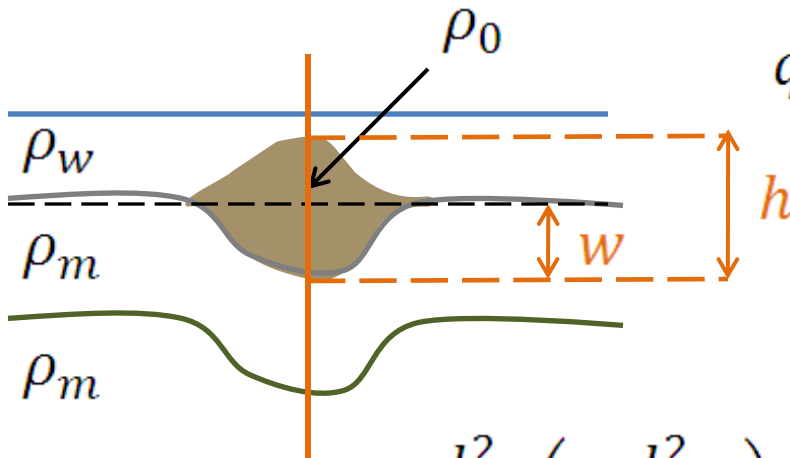
Aplicação para a litosfera

$$\frac{d^2}{dx^2} \left(D \frac{d^2 w}{dx^2} \right) = q(x)$$

$q(x)$ = car. – água desloc. – empuxo

$$q(x) = \rho_0 g h - \rho_w g (h - w) - \rho_m g w$$

$$= (\rho_0 - \rho_w) g h - (\rho_m - \rho_w) g w$$



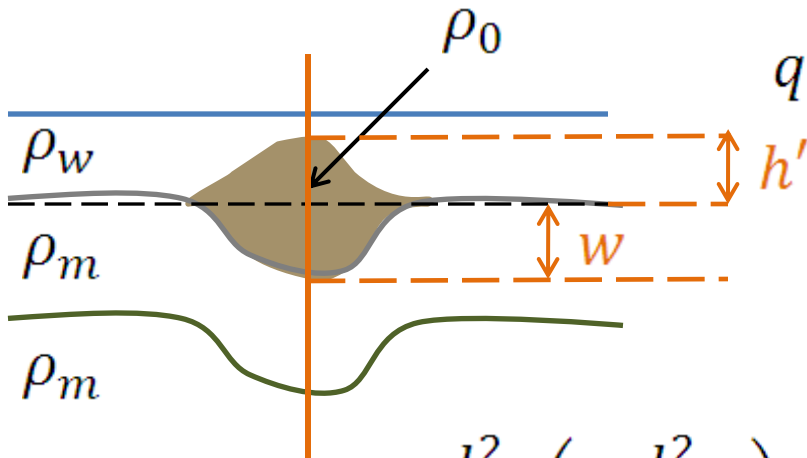
$$\frac{d^2}{dx^2} \left(D \frac{d^2 w}{dx^2} \right) + (\rho_m - \rho_w) g w = (\rho_0 - \rho_w) g h$$

Aplicação para a litosfera

$$\frac{d^2}{dx^2} \left(D \frac{d^2 w}{dx^2} \right) = q(x)$$

$q(x)$ = car. – água desloc. – empuxo

$$\begin{aligned} q(x) &= \rho_0 g(h' + w) - \rho_w g h' - \rho_m g w \\ &= (\rho_0 - \rho_w) g h' - (\rho_m - \rho_0) g w \end{aligned}$$



$$\frac{d^2}{dx^2} \left(D \frac{d^2 w}{dx^2} \right) + (\rho_m - \rho_0) g w = (\rho_0 - \rho_w) g h'$$

Comparação

Caso continental: $\frac{d^2}{dx^2} \left(D \frac{d^2 w}{dx^2} \right) + (\rho_m - \rho_0) g w = \rho_0 g h'$

Caso oceânico I: $\frac{d^2}{dx^2} \left(D \frac{d^2 w}{dx^2} \right) + (\rho_m - \rho_w) g w = (\rho_0 - \rho_w) g h$

Caso oceânico II: $\frac{d^2}{dx^2} \left(D \frac{d^2 w}{dx^2} \right) + (\rho_m - \rho_0) g w = (\rho_0 - \rho_w) g h'$

Comparação

Caso continental: $\frac{d^2}{dx^2} \left(D \frac{d^2 w}{dx^2} \right) + (\rho_m - \rho_0) g w = \rho_0 g h'$

Caso oceânico I: $\frac{d^2}{dx^2} \left(D \frac{d^2 w}{dx^2} \right) + (\rho_m - \rho_w) g w = (\rho_0 - \rho_w) g h$

Caso oceânico II: $\frac{d^2}{dx^2} \left(D \frac{d^2 w}{dx^2} \right) + (\rho_m - \rho_0) g w = (\rho_0 - \rho_w) g h'$

h Espessura total do carregamento

Comparação

Caso continental: $\frac{d^2}{dx^2} \left(D \frac{d^2 w}{dx^2} \right) + (\rho_m - \rho_0) g w = \rho_0 g h'$

Caso oceânico I: $\frac{d^2}{dx^2} \left(D \frac{d^2 w}{dx^2} \right) + (\rho_m - \rho_w) g w = (\rho_0 - \rho_w) g h$

Caso oceânico II: $\frac{d^2}{dx^2} \left(D \frac{d^2 w}{dx^2} \right) + (\rho_m - \rho_0) g w = (\rho_0 - \rho_w) g h'$

h Espessura total do carregamento

h' Espessura do carregamento acima da paleotopografia/paleobatimetria

Comparação

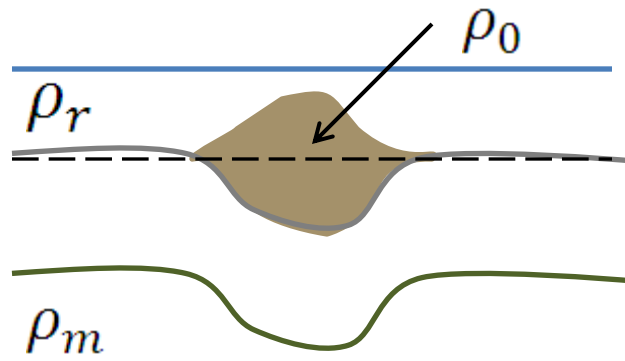
→ Caso continental: $\frac{d^2}{dx^2} \left(D \frac{d^2 w}{dx^2} \right) + (\rho_m - \rho_0) g w = \rho_0 g h'$

Caso oceânico I: $\frac{d^2}{dx^2} \left(D \frac{d^2 w}{dx^2} \right) + (\rho_m - \rho_w) g w = (\rho_0 - \rho_w) g h$

→ Caso oceânico II: $\frac{d^2}{dx^2} \left(D \frac{d^2 w}{dx^2} \right) + (\rho_m - \rho_0) g w = (\rho_0 - \rho_w) g h'$

h Espessura total do carregamento

h' Espessura do carregamento acima da paleotopografia/paleobatimetria



Comparação

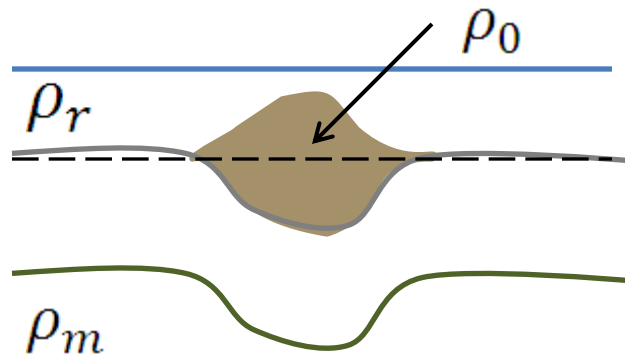
→ Caso continental: $\frac{d^2}{dx^2} \left(D \frac{d^2 w}{dx^2} \right) + (\rho_m - \rho_0) g w = \rho_0 g h'$

Caso oceânico I: $\frac{d^2}{dx^2} \left(D \frac{d^2 w}{dx^2} \right) + (\rho_m - \rho_w) g w = (\rho_0 - \rho_w) g h$

→ Caso oceânico II: $\frac{d^2}{dx^2} \left(D \frac{d^2 w}{dx^2} \right) + (\rho_m - \rho_0) g w = (\rho_0 - \rho_w) g h'$

h Espessura total do carregamento

h' Espessura do carregamento acima da paleotopografia/paleobatimetria



Comparação

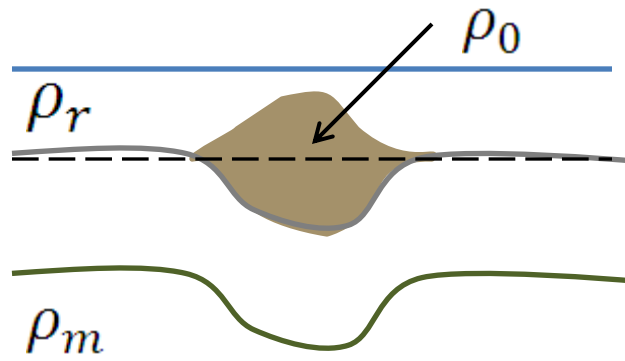
→ Caso continental: $\frac{d^2}{dx^2} \left(D \frac{d^2 w}{dx^2} \right) + (\rho_m - \rho_0) g w = \rho_0 g h'$

Caso oceânico I: $\frac{d^2}{dx^2} \left(D \frac{d^2 w}{dx^2} \right) + (\rho_m - \rho_w) g w = (\rho_0 - \rho_w) g h$

→ Caso oceânico II: $\frac{d^2}{dx^2} \left(D \frac{d^2 w}{dx^2} \right) + (\rho_m - \rho_0) g w = (\rho_0 - \rho_w) g h'$

h Espessura total do carregamento

h' Espessura do carregamento acima da paleotopografia/paleobatimetria



Comparação

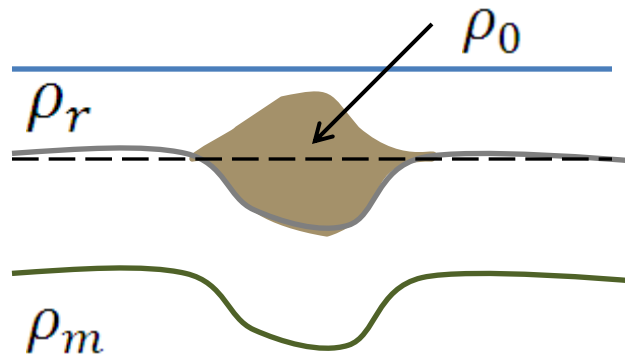
Caso continental:
$$\frac{d^2}{dx^2} \left(D \frac{d^2 w}{dx^2} \right) + (\rho_m - \rho_0) g w = \rho_0 g h'$$

→ Caso oceânico I:
$$\frac{d^2}{dx^2} \left(D \frac{d^2 w}{dx^2} \right) + (\rho_m - \rho_w) g w = (\rho_0 - \rho_w) g h$$

Caso oceânico II:
$$\frac{d^2}{dx^2} \left(D \frac{d^2 w}{dx^2} \right) + (\rho_m - \rho_0) g w = (\rho_0 - \rho_w) g h'$$

h Espessura total do carregamento

h' Espessura do carregamento acima da paleotopografia/paleobatimetria



Comparação

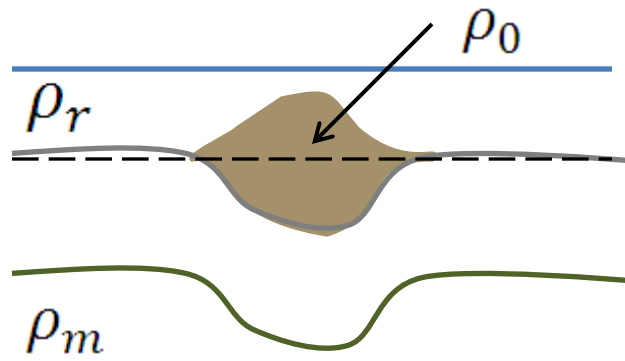
Caso continental:
$$\frac{d^2}{dx^2} \left(D \frac{d^2 w}{dx^2} \right) + (\rho_m - \rho_0) g w = \rho_0 g h'$$

→ Caso oceânico I:
$$\frac{d^2}{dx^2} \left(D \frac{d^2 w}{dx^2} \right) + (\rho_m - \rho_w) g w = (\rho_0 - \rho_w) g h$$

Caso oceânico II:
$$\frac{d^2}{dx^2} \left(D \frac{d^2 w}{dx^2} \right) + (\rho_m - \rho_0) g w = (\rho_0 - \rho_w) g h'$$

h Espessura total do carregamento

h' Espessura do carregamento acima da paleotopografia/paleobatimetria



Comparação

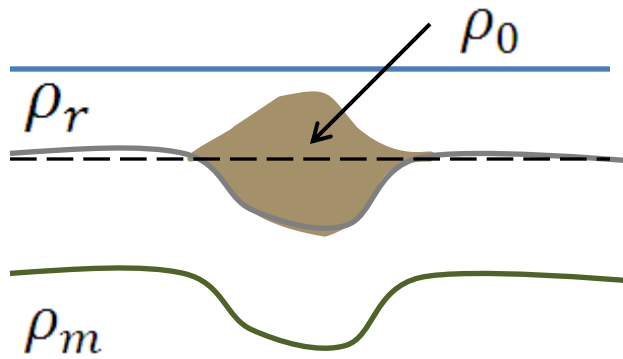
Caso continental:
$$\frac{d^2}{dx^2} \left(D \frac{d^2 w}{dx^2} \right) + (\rho_m - \rho_0) g w = \rho_0 g h'$$

→ Caso oceânico I:
$$\frac{d^2}{dx^2} \left(D \frac{d^2 w}{dx^2} \right) + (\rho_m - \rho_w) g w = (\rho_0 - \rho_w) g h$$

Caso oceânico II:
$$\frac{d^2}{dx^2} \left(D \frac{d^2 w}{dx^2} \right) + (\rho_m - \rho_0) g w = (\rho_0 - \rho_w) g h'$$

h Espessura total do carregamento

h' Espessura do carregamento acima da paleotopografia/paleobatimetria



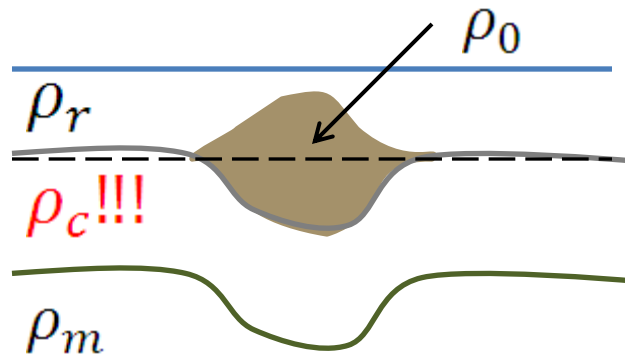
Comparação

h Espessura total do carregamento:

$$\frac{d^2}{dx^2} \left(D \frac{d^2 w}{dx^2} \right) + (\rho_m - \rho_r) g w = (\rho_0 - \rho_r) g h$$

h' Espessura do carregamento acima da paleotopografia/paleobatimetria:

$$\frac{d^2}{dx^2} \left(D \frac{d^2 w}{dx^2} \right) + (\rho_m - \rho_0) g w = (\rho_0 - \rho_r) g h'$$



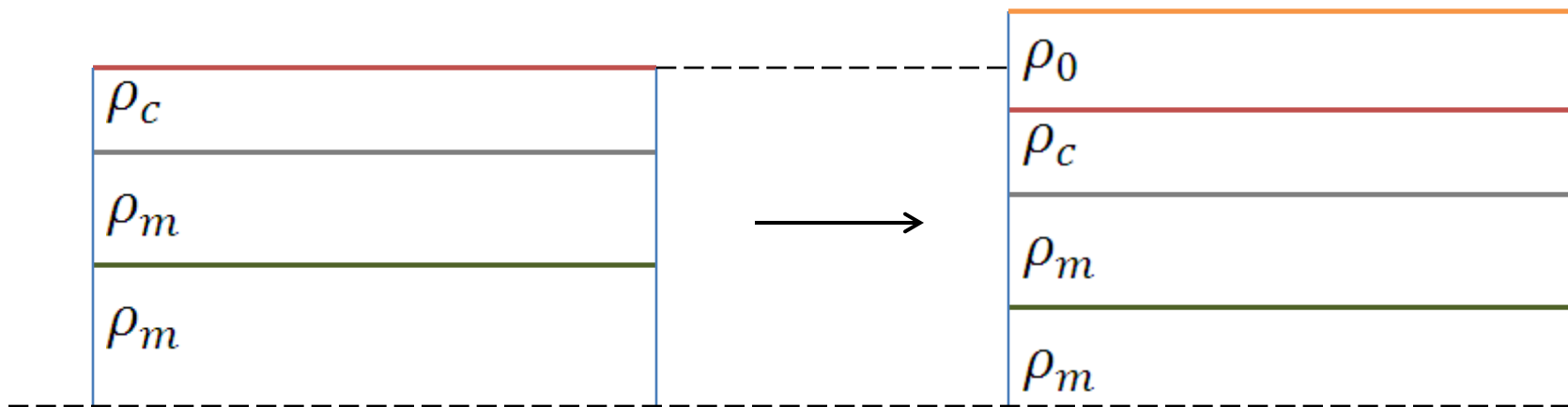
Comparação

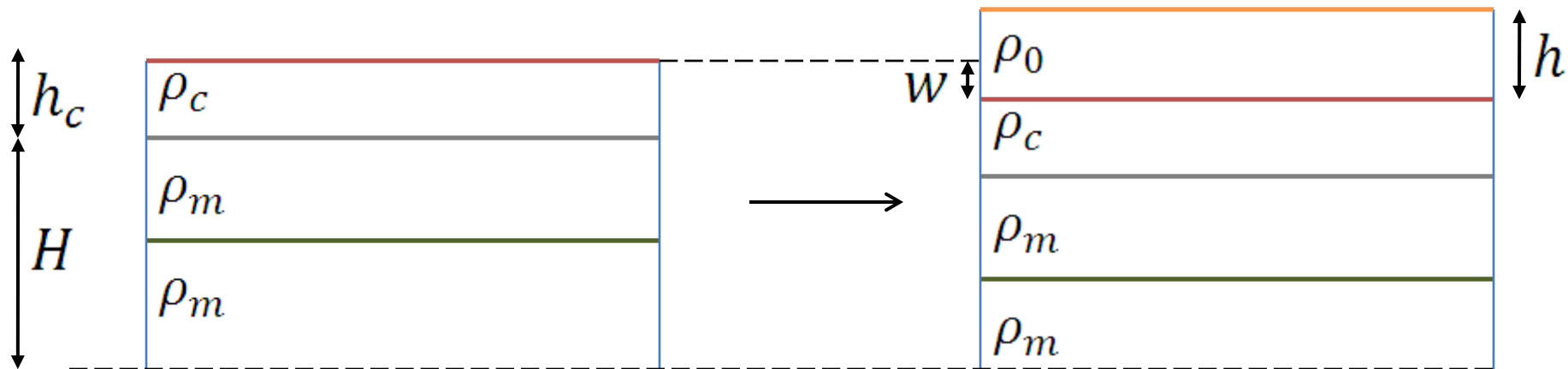
h Espessura total do carregamento:

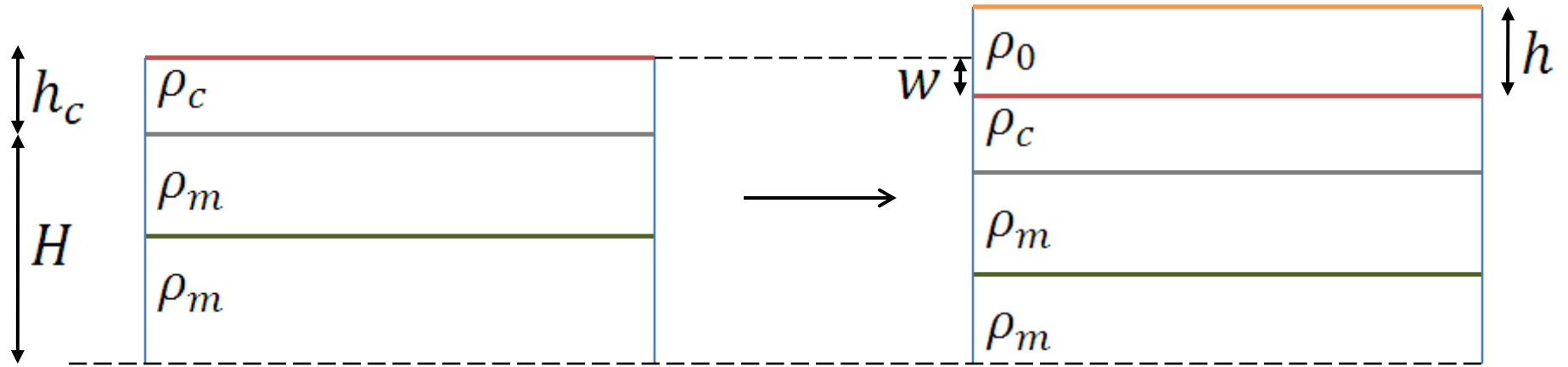
$$\frac{d^2}{dx^2} \left(D \frac{d^2 w}{dx^2} \right) + (\rho_m - \rho_r) g w = (\rho_0 - \rho_r) g h$$

h' Espessura do carregamento acima da paleotopografia/paleobatimetria:

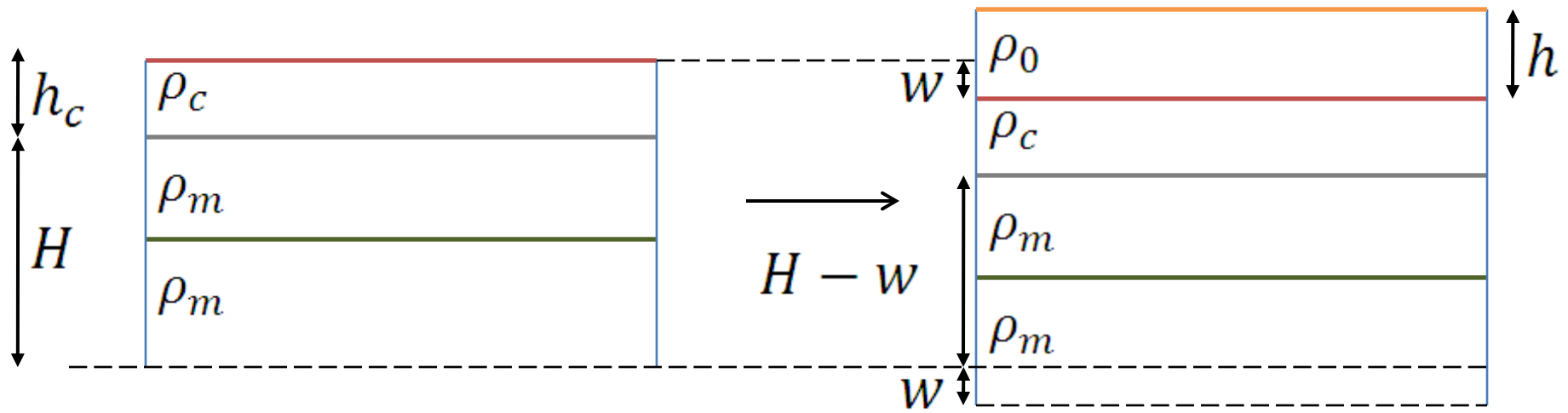
$$\frac{d^2}{dx^2} \left(D \frac{d^2 w}{dx^2} \right) + (\rho_m - \rho_0) g w = (\rho_0 - \rho_r) g h'$$



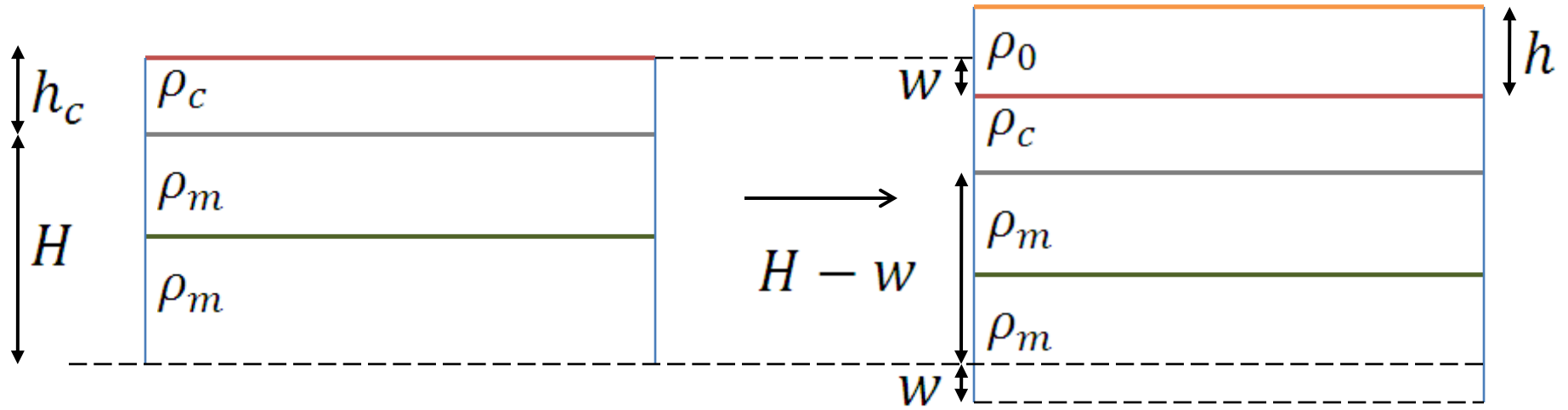




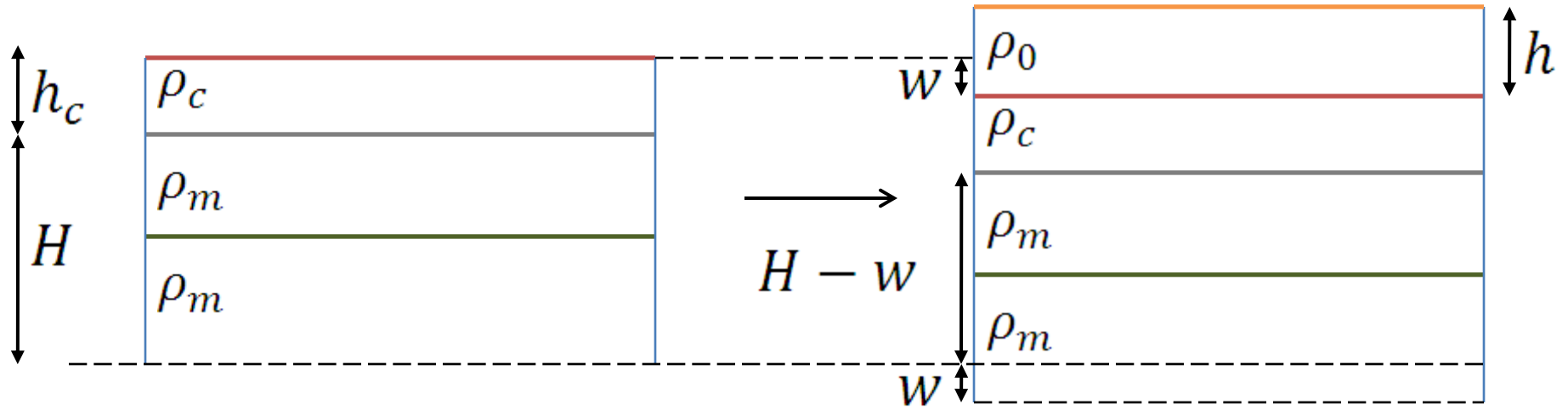
$$\rho_c g h_c + \rho_m g H =$$



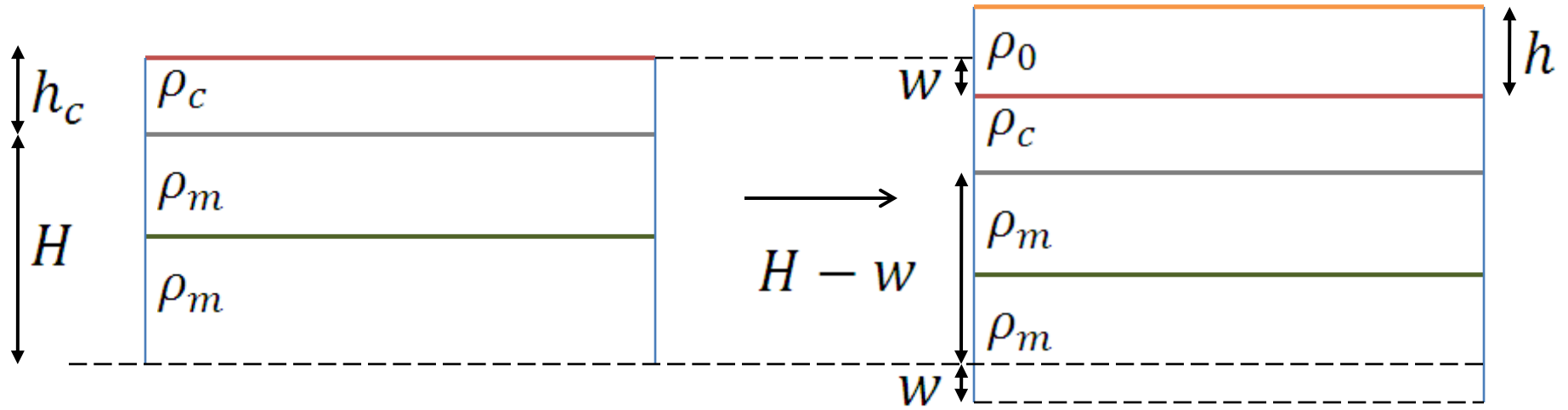
$$\rho_c g h_c + \rho_m g H = \rho_0 g h + \rho_c g h_c + \rho_m g (H - w)$$



$$\cancel{\rho_c g h_c} + \rho_m g H = \rho_0 g h + \cancel{\rho_c g h_c} + \rho_m g (H - w)$$

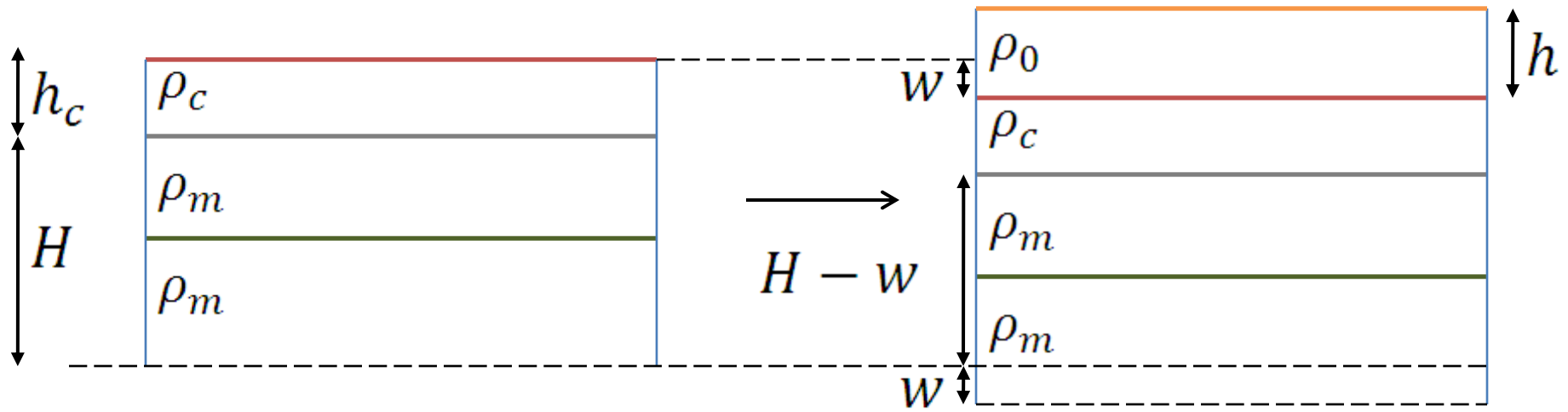


$$\cancel{\rho_c g h_c} + \cancel{\rho_m g H} = \rho_0 g h + \cancel{\rho_c g h_c} + \rho_m g (H - w)$$



$$\cancel{\rho_c g h_c} + \cancel{\rho_m g H} = \rho_0 g h + \cancel{\rho_c g h_c} + \rho_m g (H - w)$$

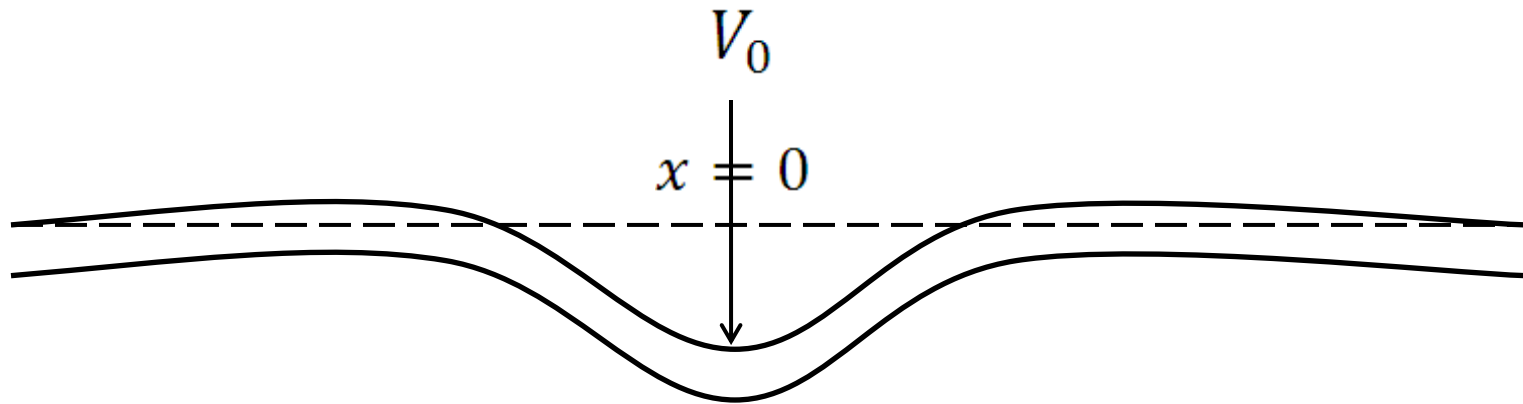
$$0 = \rho_0 g h - \rho_m g w$$



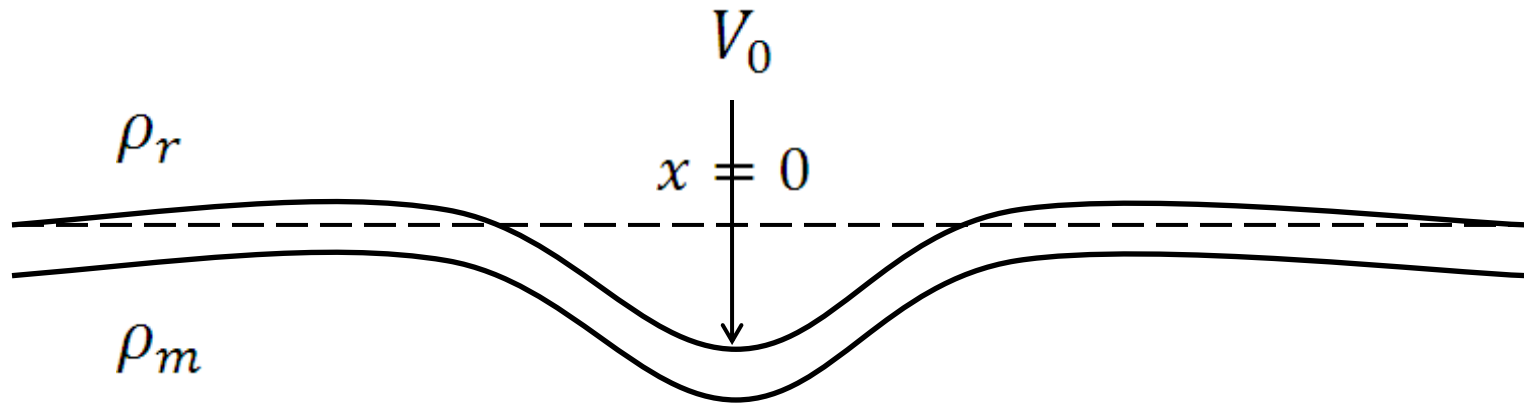
$$\cancel{\rho_c g h_c} + \cancel{\rho_m g H} = \rho_0 g h + \cancel{\rho_c g h_c} + \rho_m g (H - w)$$

$$0 = \rho_0 g h - \rho_m g w$$

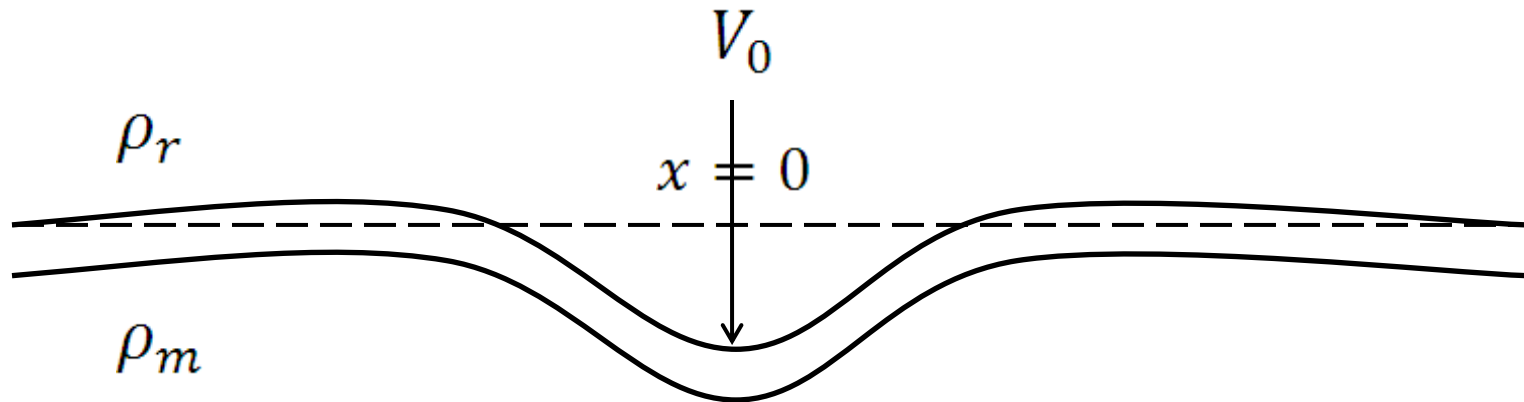
Soluções Analíticas



Soluções Analíticas



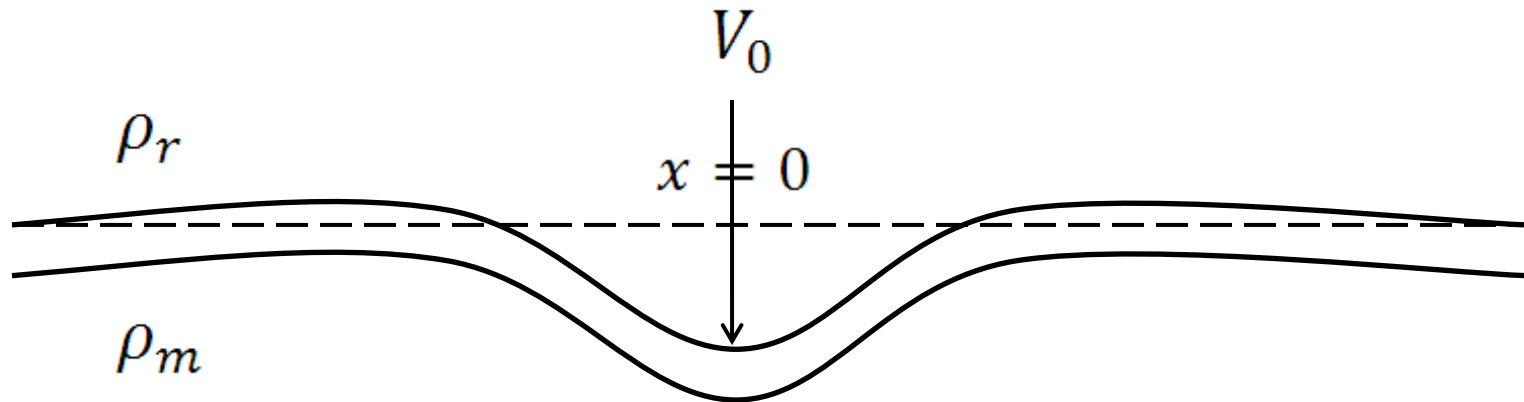
Soluções Analíticas



Para $x \neq 0$

$$\frac{d^2}{dx^2} \left(D \frac{d^2 w}{dx^2} \right) + (\rho_m - \rho_r) g w = 0$$

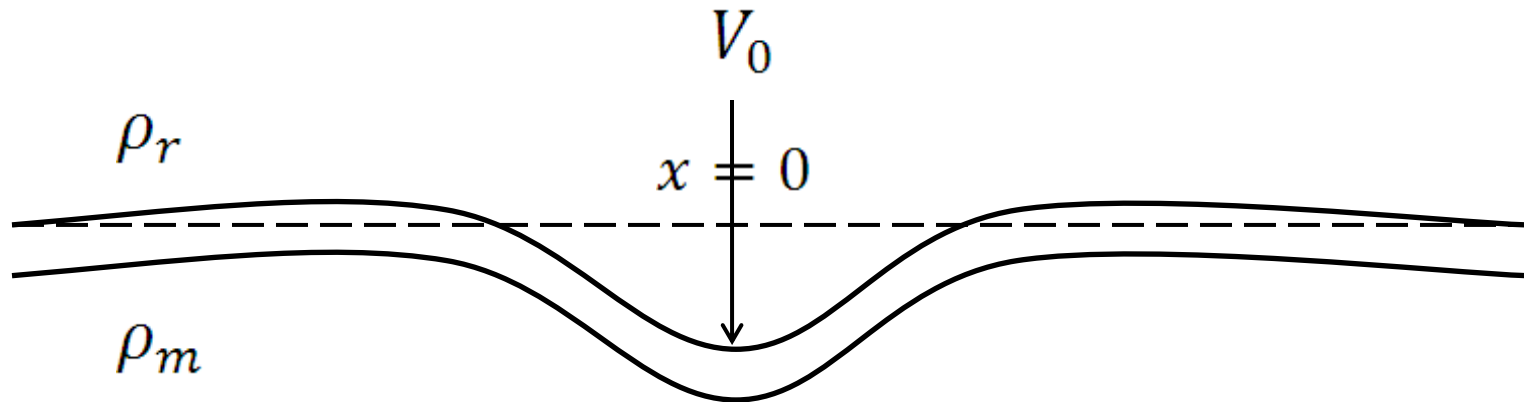
Soluções Analíticas



Para $x \neq 0$
$$\frac{d^2}{dx^2} \left(D \frac{d^2 w}{dx^2} \right) + (\rho_m - \rho_r) g w = 0$$

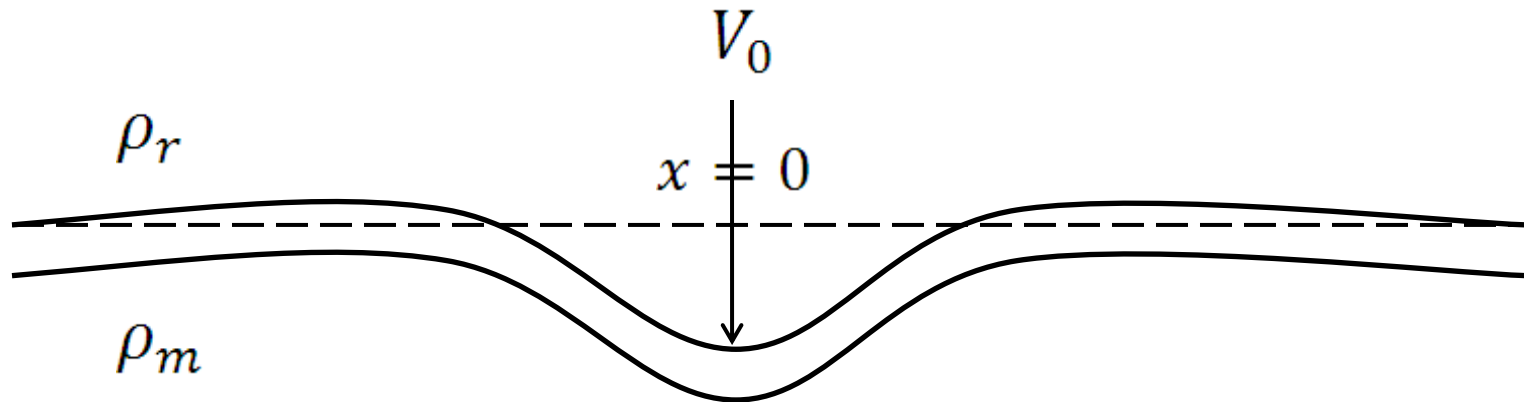
Para D constante
$$D \frac{d^4 w}{dx^4} + (\rho_m - \rho_r) g w = 0$$

Soluções Analíticas



$$D \frac{d^4 w}{dx^4} + (\rho_m - \rho_r) g w = 0$$

Soluções Analíticas

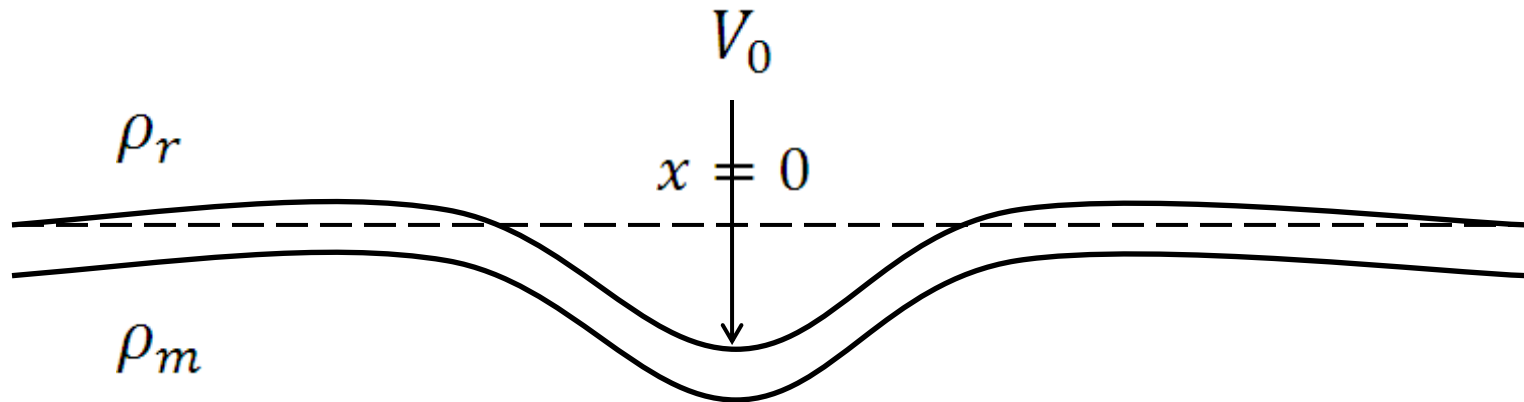


$$D \frac{d^4 w}{dx^4} + (\rho_m - \rho_r) g w = 0$$

$$w = e^{\lambda x} (A_c \cos \lambda x + B_c \sin \lambda x) + e^{-\lambda x} (C_c \cos \lambda x + D_c \sin \lambda x)$$

$$\lambda = \left[\frac{(\rho_m - \rho_r) g}{4D} \right]^{1/4}$$

Soluções Analíticas

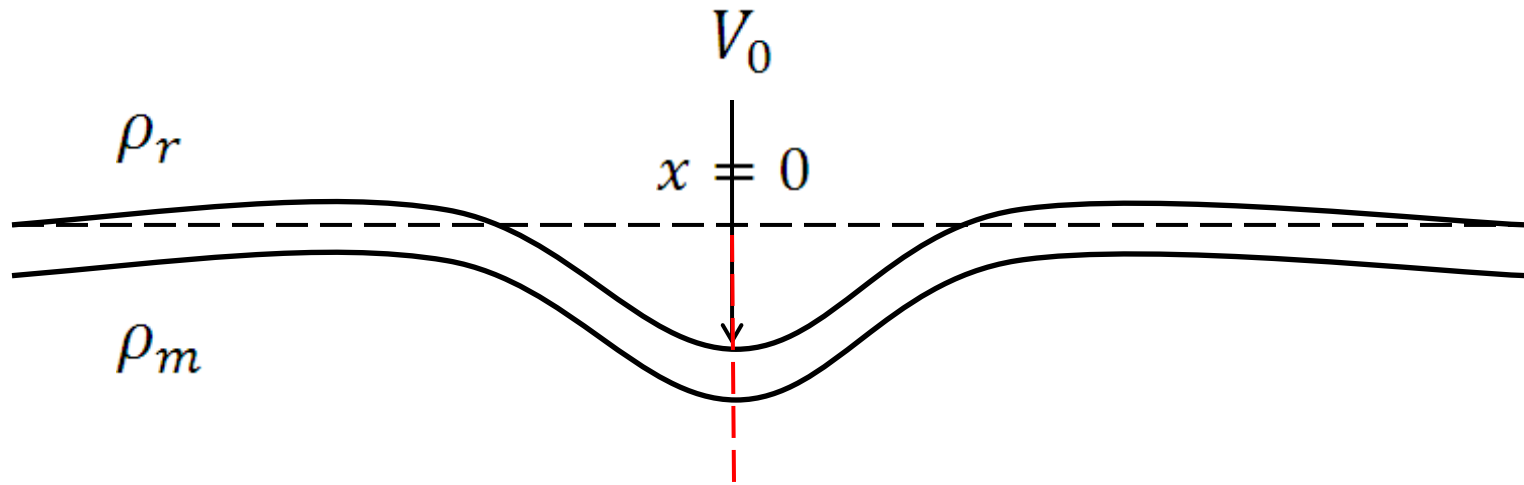


$$D \frac{d^4 w}{dx^4} + (\rho_m - \rho_r) g w = 0$$

$$w = e^{\lambda x} (A_c \cos \lambda x + B_c \sin \lambda x) + e^{-\lambda x} (C_c \cos \lambda x + D_c \sin \lambda x)$$

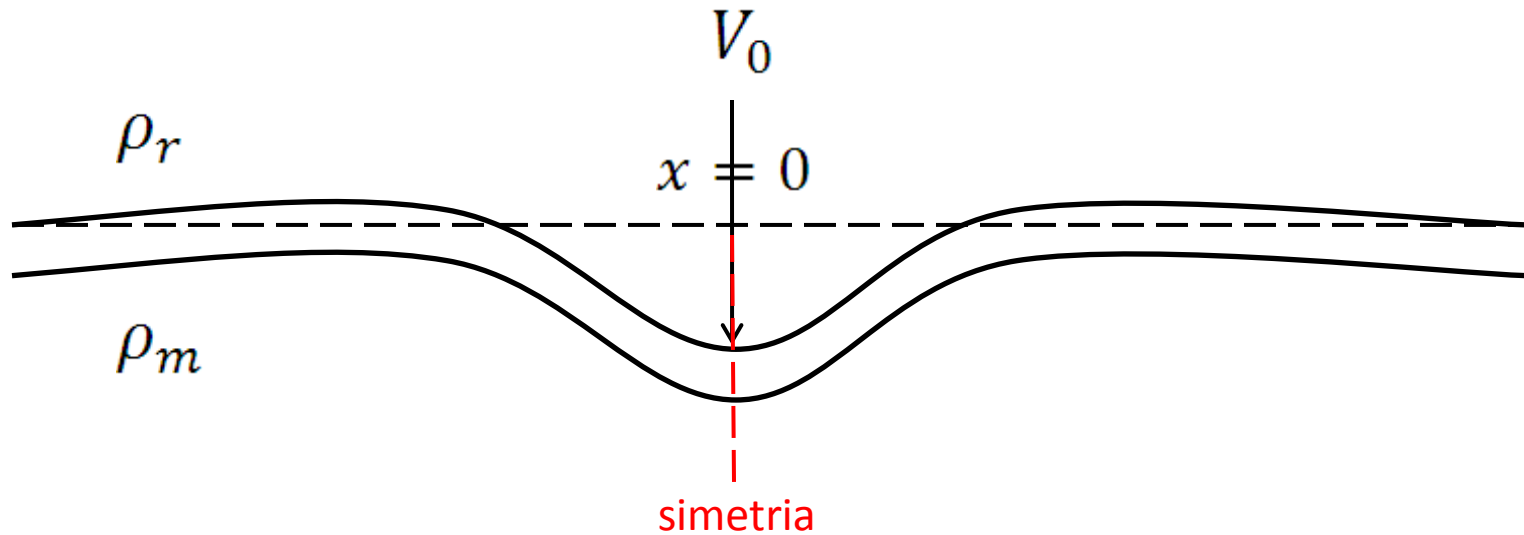
$$\lambda = \left[\frac{(\rho_m - \rho_r) g}{4D} \right]^{1/4}$$

Soluções Analíticas



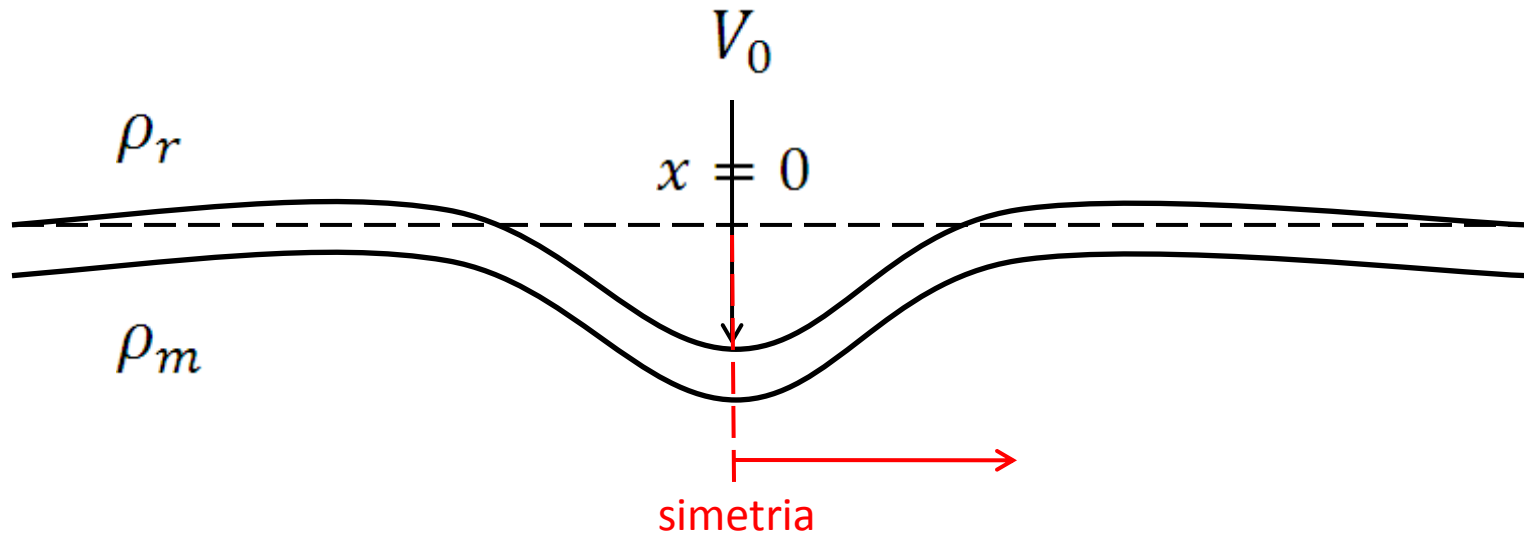
$$w = e^{\lambda x} (A_c \cos \lambda x + B_c \sin \lambda x) + e^{-\lambda x} (C_c \cos \lambda x + D_c \sin \lambda x)$$

Soluções Analíticas



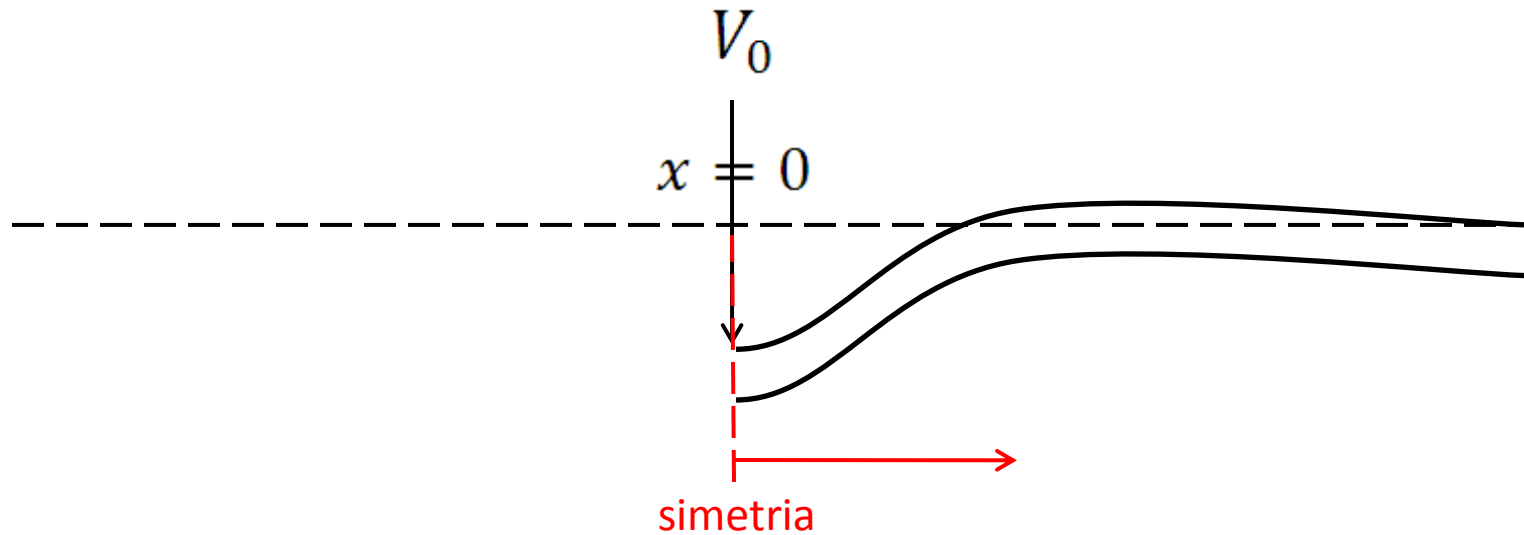
$$w = e^{\lambda x} (A_c \cos \lambda x + B_c \sin \lambda x) + e^{-\lambda x} (C_c \cos \lambda x + D_c \sin \lambda x)$$

Soluções Analíticas



$$w = e^{\lambda x} (A_c \cos \lambda x + B_c \sin \lambda x) + e^{-\lambda x} (C_c \cos \lambda x + D_c \sin \lambda x)$$

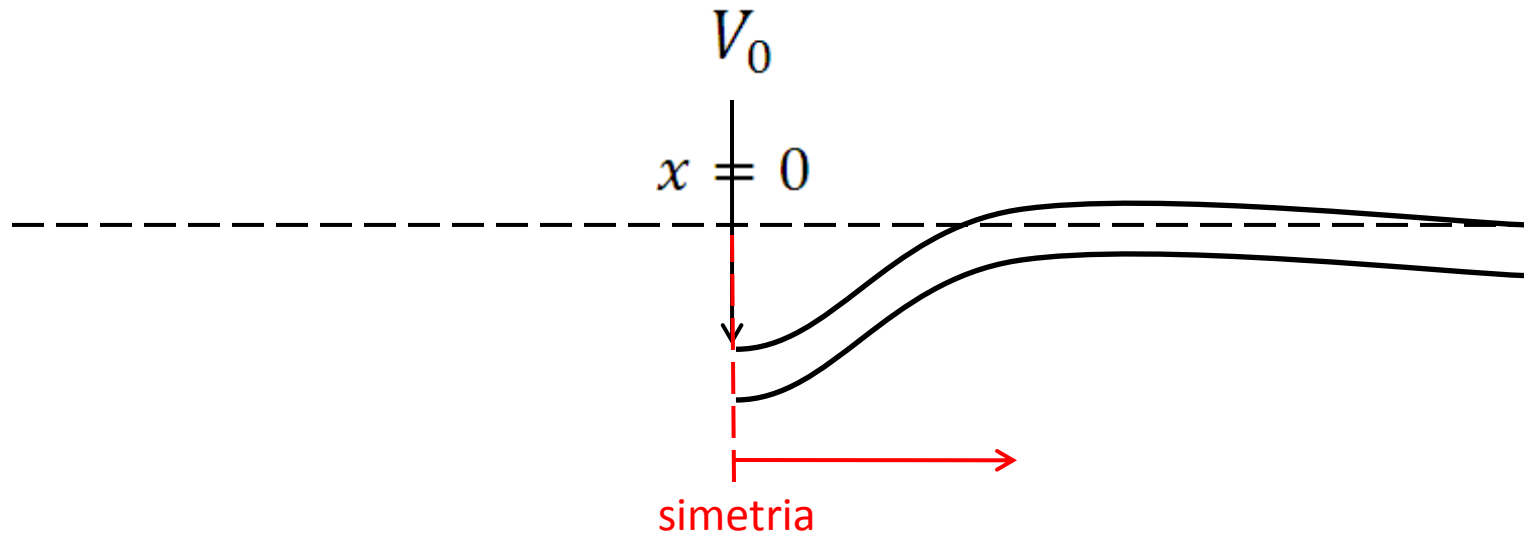
Soluções Analíticas



$$w = e^{\lambda x} (A_c \cos \lambda x + B_c \sin \lambda x) + e^{-\lambda x} (C_c \cos \lambda x + D_c \sin \lambda x)$$

Para $x \rightarrow +\infty$

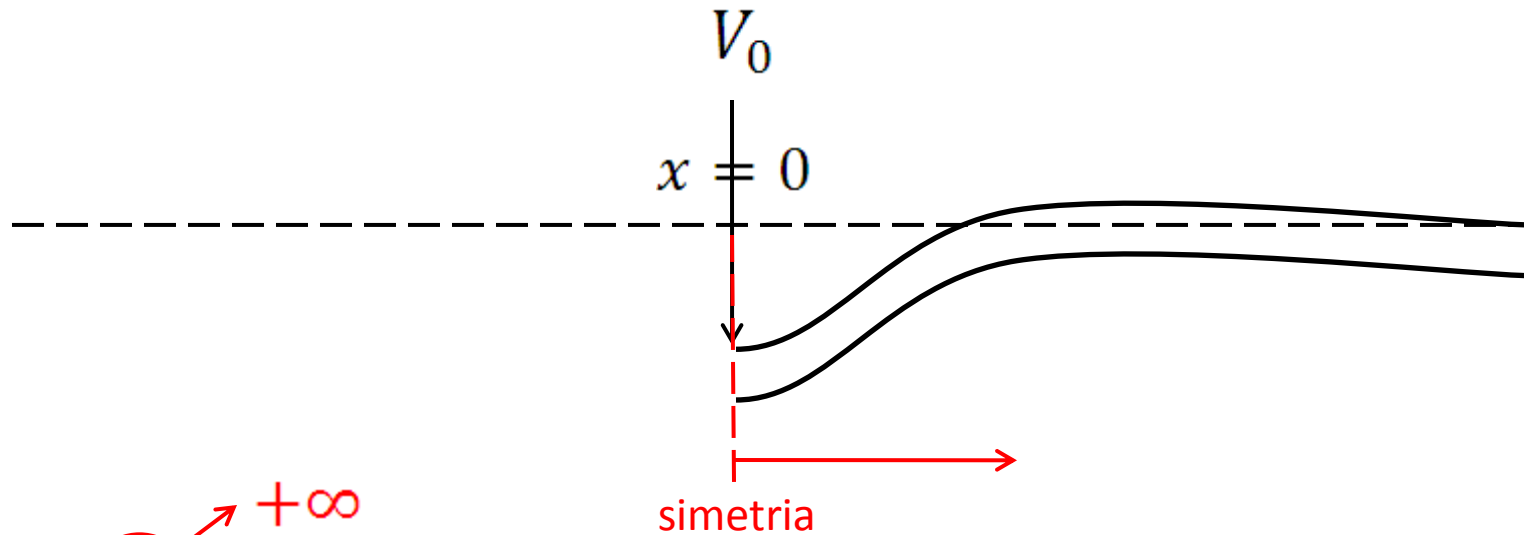
Soluções Analíticas



$$w = e^{\lambda x} (A_c \cos \lambda x + B_c \sin \lambda x) + e^{-\lambda x} (C_c \cos \lambda x + D_c \sin \lambda x)$$

$$\text{Para } x \rightarrow +\infty \quad w \rightarrow 0$$

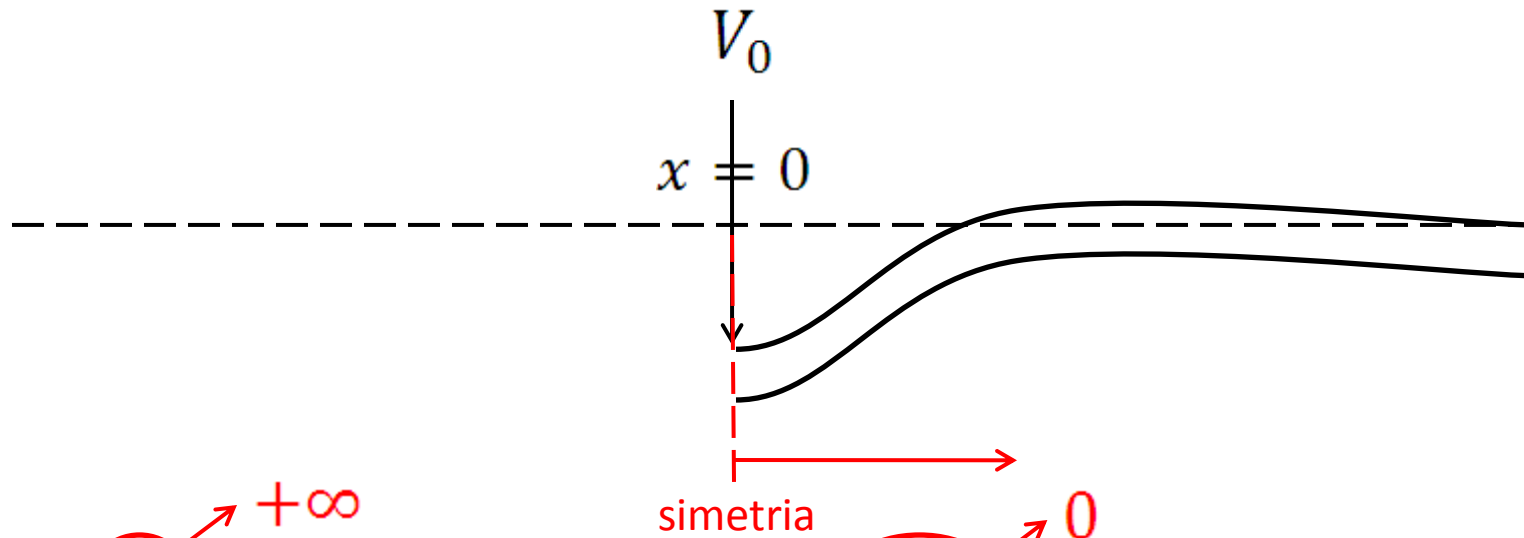
Soluções Analíticas



$$w = e^{\lambda x} (A_c \cos \lambda x + B_c \sin \lambda x) + e^{-\lambda x} (C_c \cos \lambda x + D_c \sin \lambda x)$$

Para $x \rightarrow +\infty$ $w \rightarrow 0$

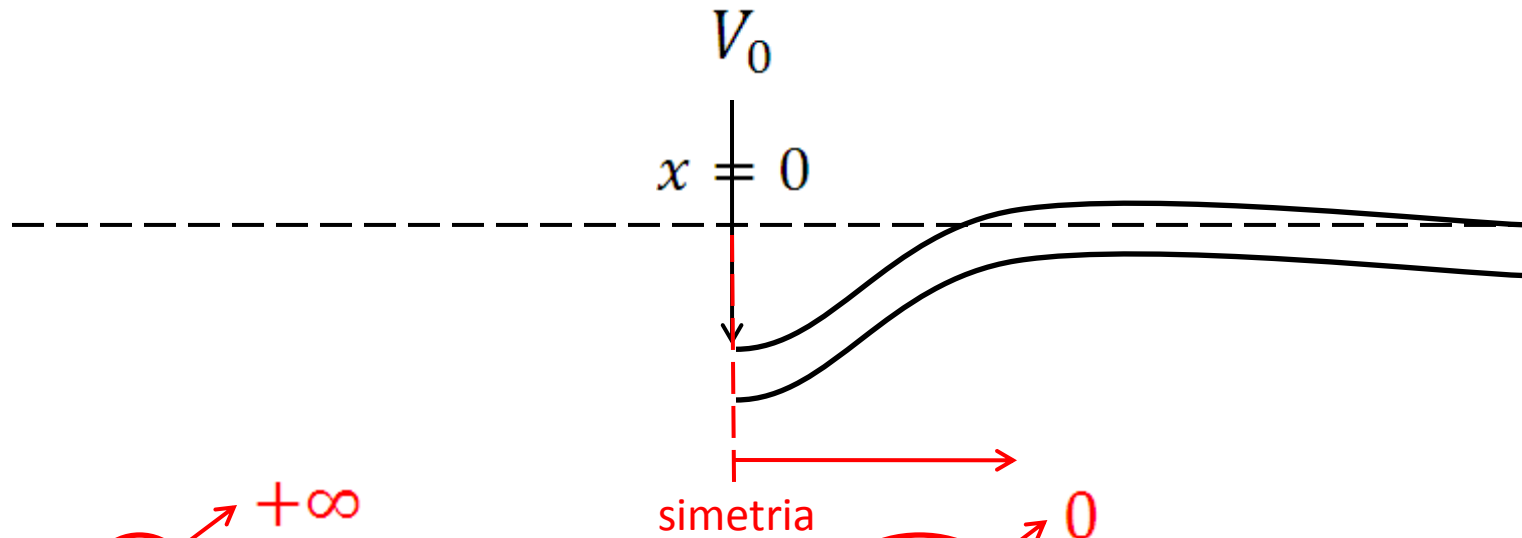
Soluções Analíticas



$$w = e^{\lambda x} (A_c \cos \lambda x + B_c \sin \lambda x) + e^{-\lambda x} (C_c \cos \lambda x + D_c \sin \lambda x)$$

Para $x \rightarrow +\infty$ $w \rightarrow 0$

Soluções Analíticas

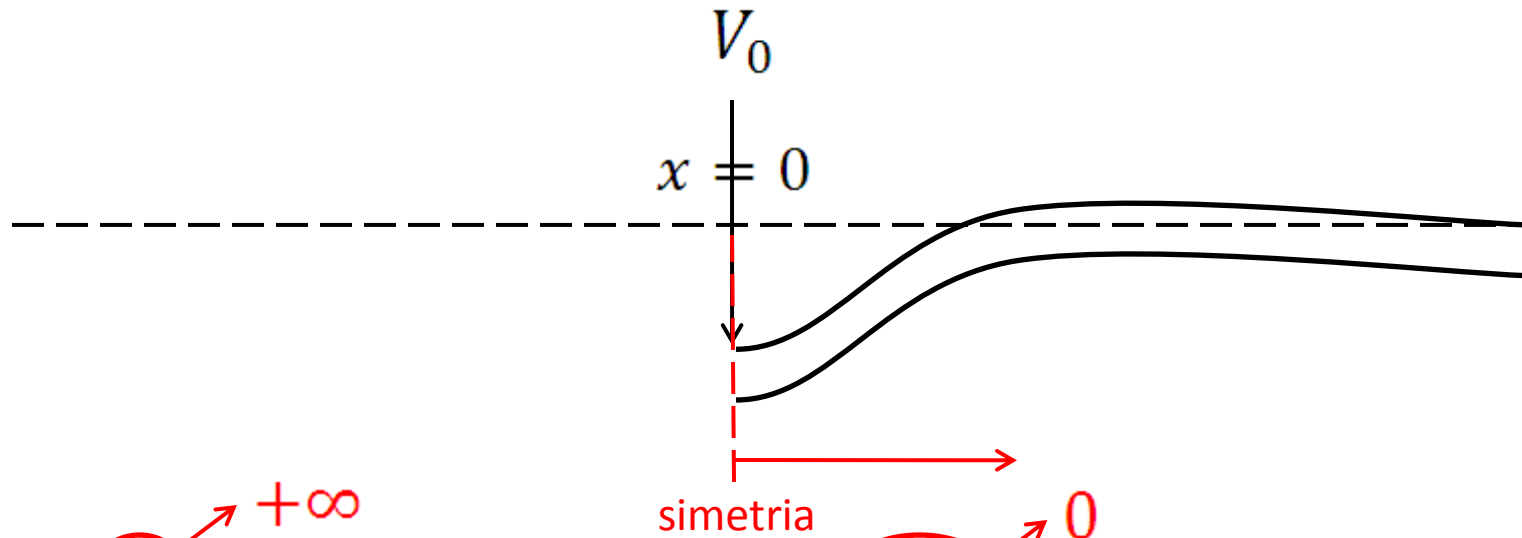


$$w = e^{\lambda x} (A_c \cos \lambda x + B_c \sin \lambda x) + e^{-\lambda x} (C_c \cos \lambda x + D_c \sin \lambda x)$$

$$\text{Para } x \rightarrow +\infty \quad w \rightarrow 0$$

$$A_c = 0, B_c = 0$$

Soluções Analíticas



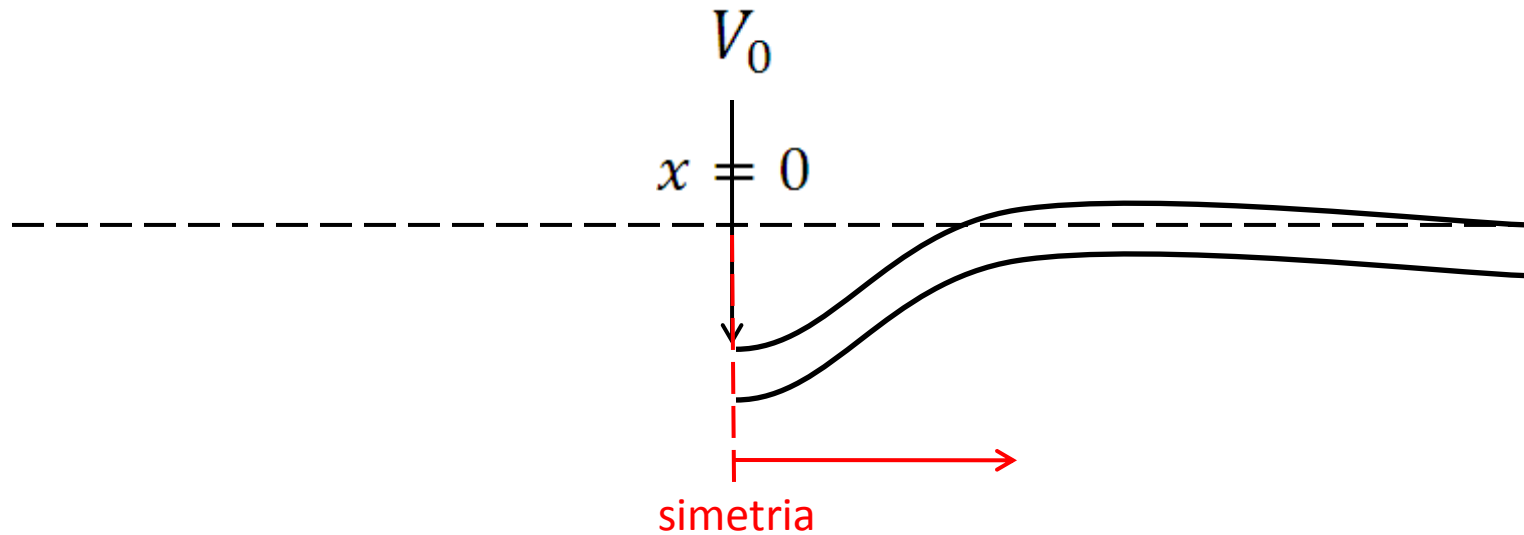
$$w = e^{\lambda x} (A_c \cos \lambda x + B_c \sin \lambda x) + e^{-\lambda x} (C_c \cos \lambda x + D_c \sin \lambda x)$$

Para $x \rightarrow +\infty$ $w \rightarrow 0$

$$A_c = 0, B_c = 0$$

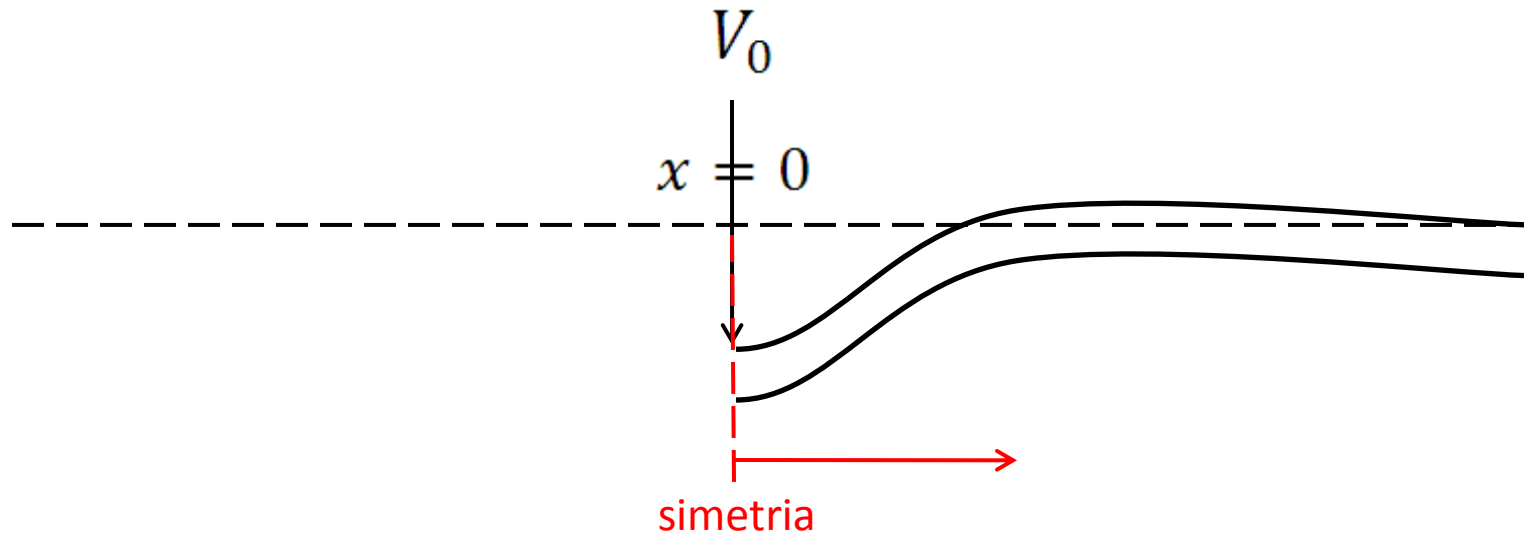
$$w = e^{-\lambda x} (C_c \cos \lambda x + D_c \sin \lambda x)$$

Soluções Analíticas



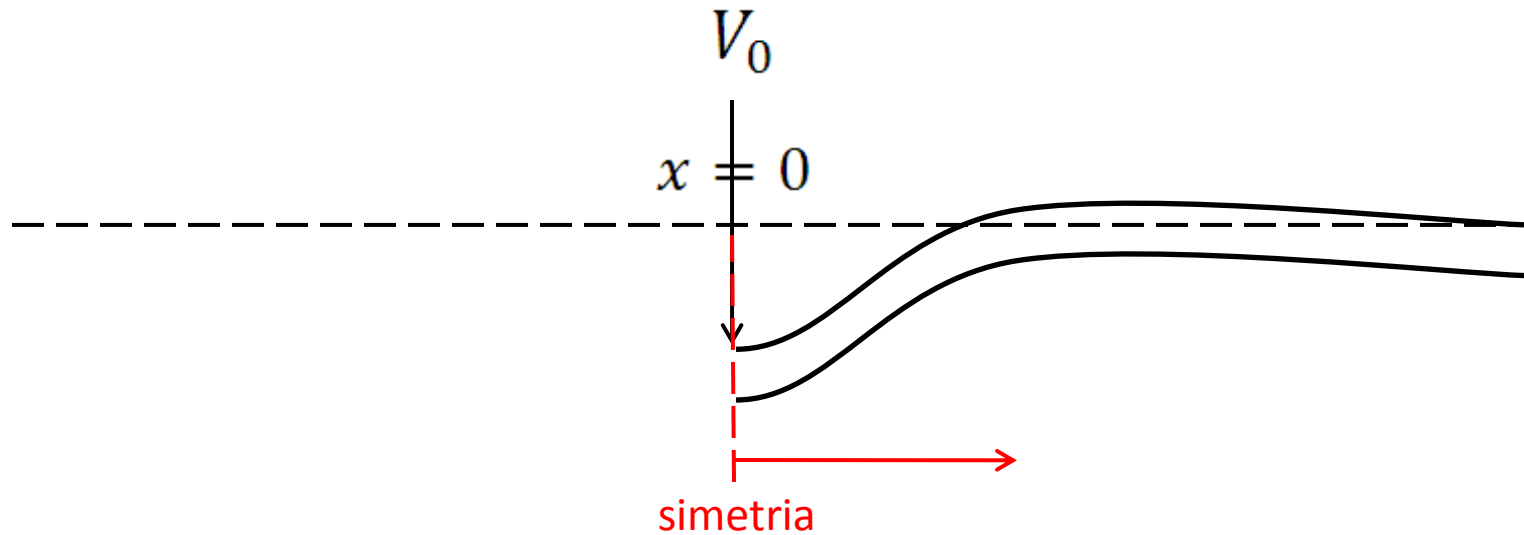
$$w = e^{-\lambda x} (C_c \cos \lambda x + D_c \sin \lambda x)$$

Soluções Analíticas



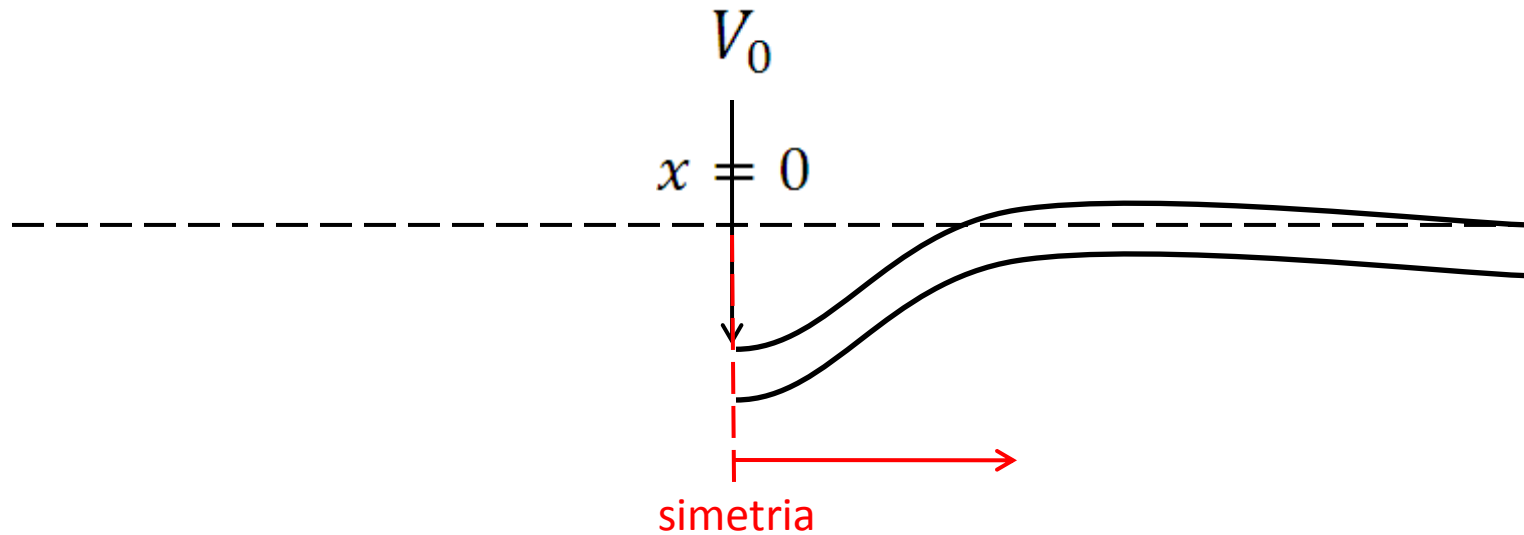
$$w = e^{-\lambda x} (C_c \cos \lambda x + D_c \sin \lambda x) \quad \text{Para } x \rightarrow 0$$

Soluções Analíticas



$$w = e^{-\lambda x} (C_c \cos \lambda x + D_c \sin \lambda x) \quad \text{Para } x \rightarrow 0 \quad \frac{dw}{dx} \rightarrow 0$$

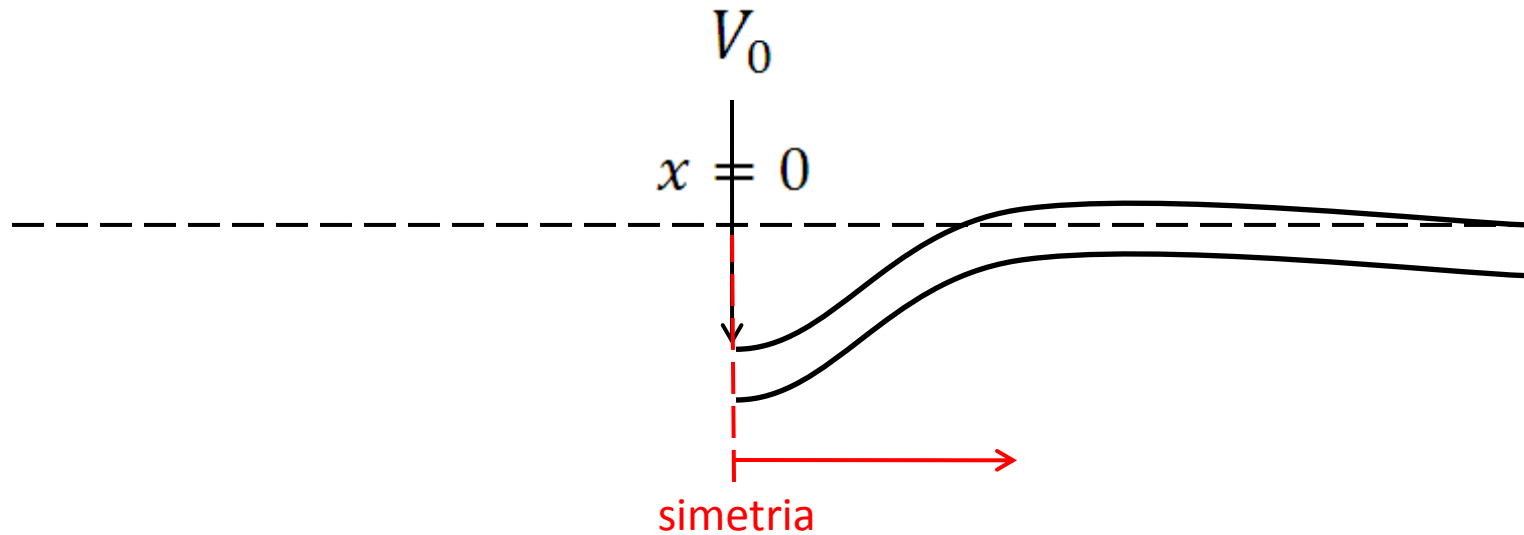
Soluções Analíticas



$$w = e^{-\lambda x} (C_c \cos \lambda x + D_c \sin \lambda x) \quad \text{Para } x \rightarrow 0 \quad \frac{dw}{dx} \rightarrow 0$$

$$\frac{dw}{dx} = -\lambda e^{-\lambda x} (C_c \cos \lambda x + D_c \sin \lambda x) + \lambda e^{-\lambda x} (-C_c \sin \lambda x + D_c \cos \lambda x)$$

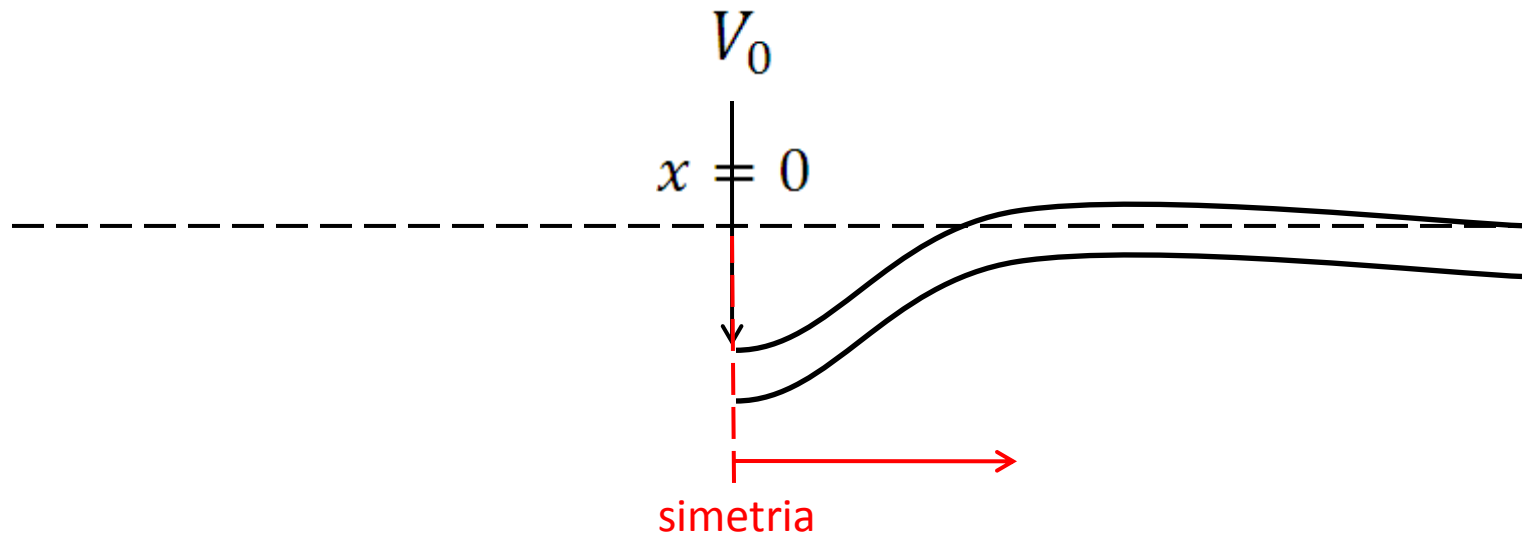
Soluções Analíticas



$$w = e^{-\lambda x} (C_c \cos \lambda x + D_c \sin \lambda x) \quad \text{Para } x \rightarrow 0 \quad \frac{dw}{dx} \rightarrow 0$$

$$\frac{dw}{dx} = -\lambda e^{-\lambda x} (C_c \cos \lambda x + D_c \sin \lambda x) + \lambda e^{-\lambda x} (-C_c \sin \lambda x + D_c \cos \lambda x)$$

Soluções Analíticas

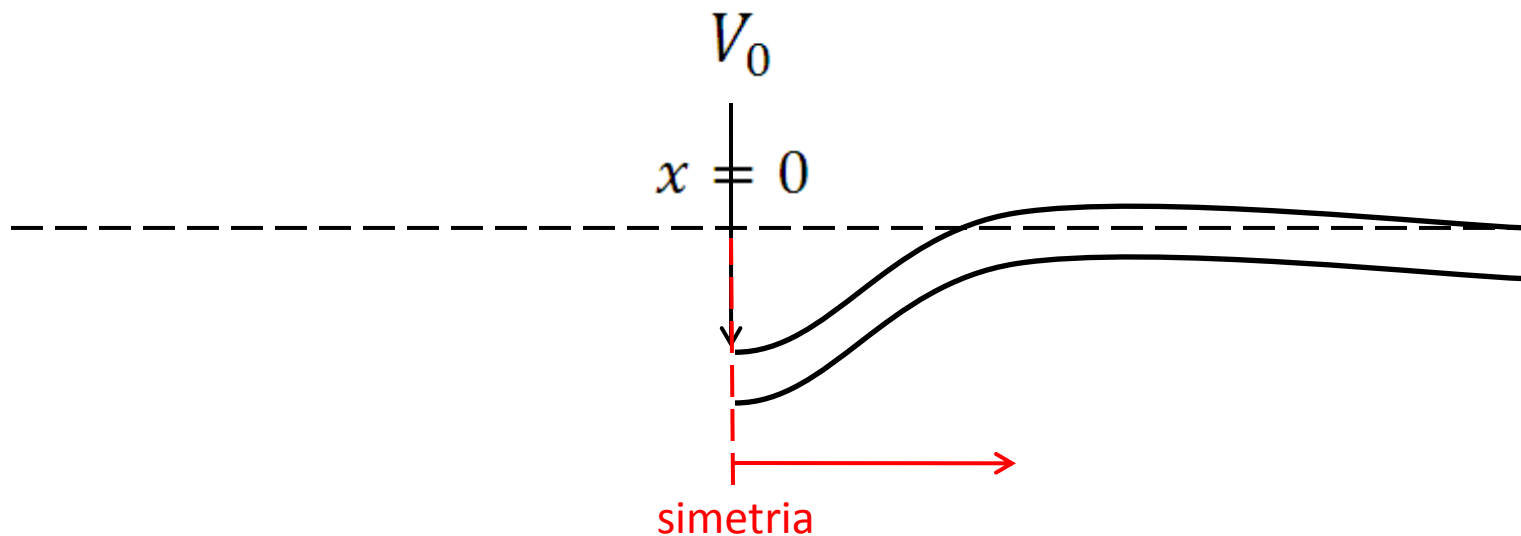


$$w = e^{-\lambda x} (C_c \cos \lambda x + D_c \sin \lambda x) \quad \text{Para } x \rightarrow 0 \quad \frac{dw}{dx} \rightarrow 0$$

$$\frac{dw}{dx} = -\lambda e^{-\lambda x} (C_c \cos \lambda x + D_c \sin \lambda x) + \lambda e^{-\lambda x} (-C_c \sin \lambda x + D_c \cos \lambda x)$$

The diagram shows red arrows pointing from the terms in the derivative equation to the boundary conditions. The term \$C_c \cos \lambda x\$ is crossed out with a red arrow pointing to a red '1', and the term \$D_c \sin \lambda x\$ is crossed out with a red arrow pointing to a red '0'. Similarly, in the second term, \$-C_c \sin \lambda x\$ is crossed out with a red arrow pointing to a red '0', and \$D_c \cos \lambda x\$ is crossed out with a red arrow pointing to a red '1'.

Soluções Analíticas

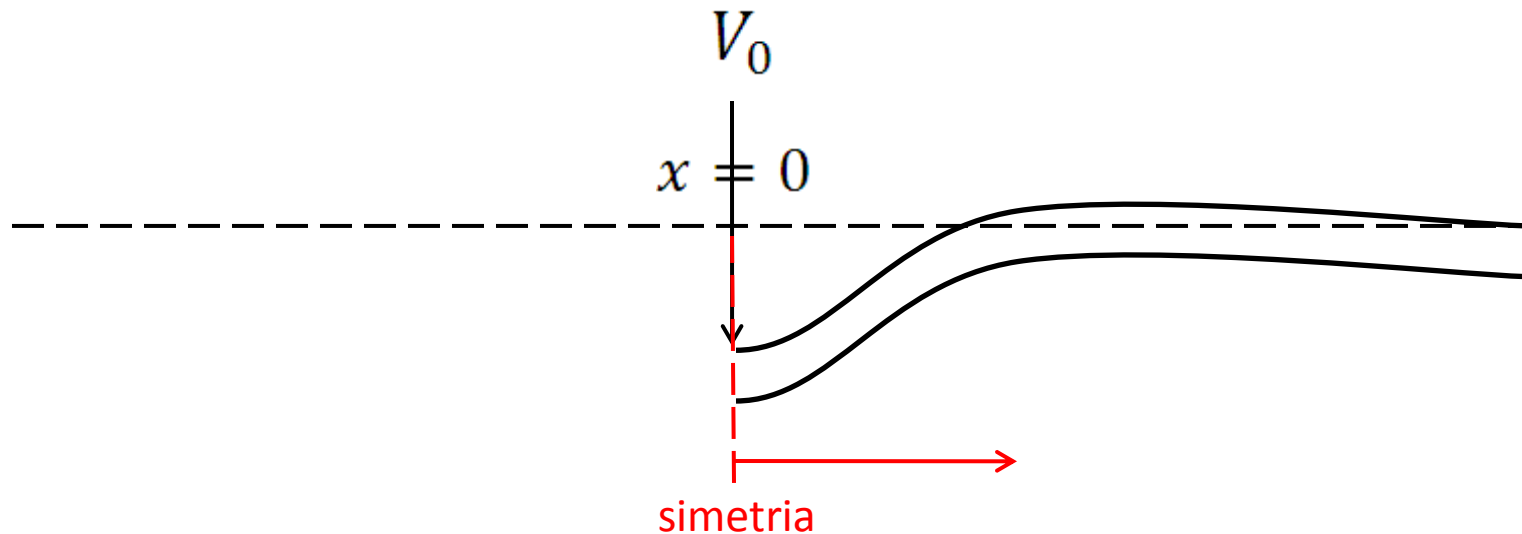


$$w = e^{-\lambda x} (C_c \cos \lambda x + D_c \sin \lambda x) \quad \text{Para } x \rightarrow 0 \quad \frac{dw}{dx} \rightarrow 0$$

$$\frac{dw}{dx} = -\lambda e^{-\lambda x} (C_c \cos \lambda x + D_c \sin \lambda x) + \lambda e^{-\lambda x} (-C_c \sin \lambda x + D_c \cos \lambda x)$$

Red arrows point from the terms in the derivative equation to the values 1 and 0 in the boundary condition above. Specifically, arrows point from $e^{-\lambda x}$ to 1, from $C_c \cos \lambda x$ to 1, from $D_c \sin \lambda x$ to 0, from $e^{-\lambda x}$ to 1, from $-C_c \sin \lambda x$ to 0, and from $D_c \cos \lambda x$ to 1.

Soluções Analíticas



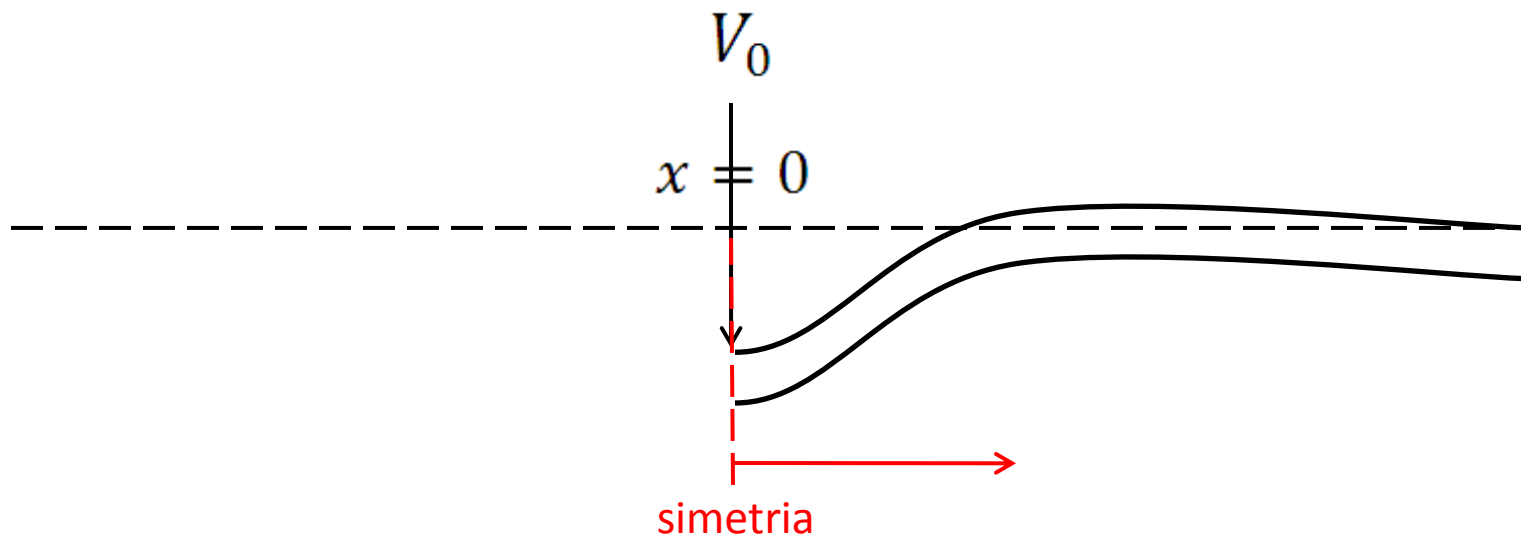
$$w = e^{-\lambda x} (C_c \cos \lambda x + D_c \sin \lambda x) \quad \text{Para } x \rightarrow 0 \quad \frac{dw}{dx} \rightarrow 0$$

$$\frac{dw}{dx} = -\lambda e^{-\lambda x} (C_c \cos \lambda x + D_c \sin \lambda x) + \lambda e^{-\lambda x} (-C_c \sin \lambda x + D_c \cos \lambda x)$$

Red arrows point from the terms in the derivative equation to the values 1 and 0, indicating the limits of the trigonometric functions at \$x=0\$.

$$C_c(-\lambda) + D_c(\lambda) = 0$$

Soluções Analíticas



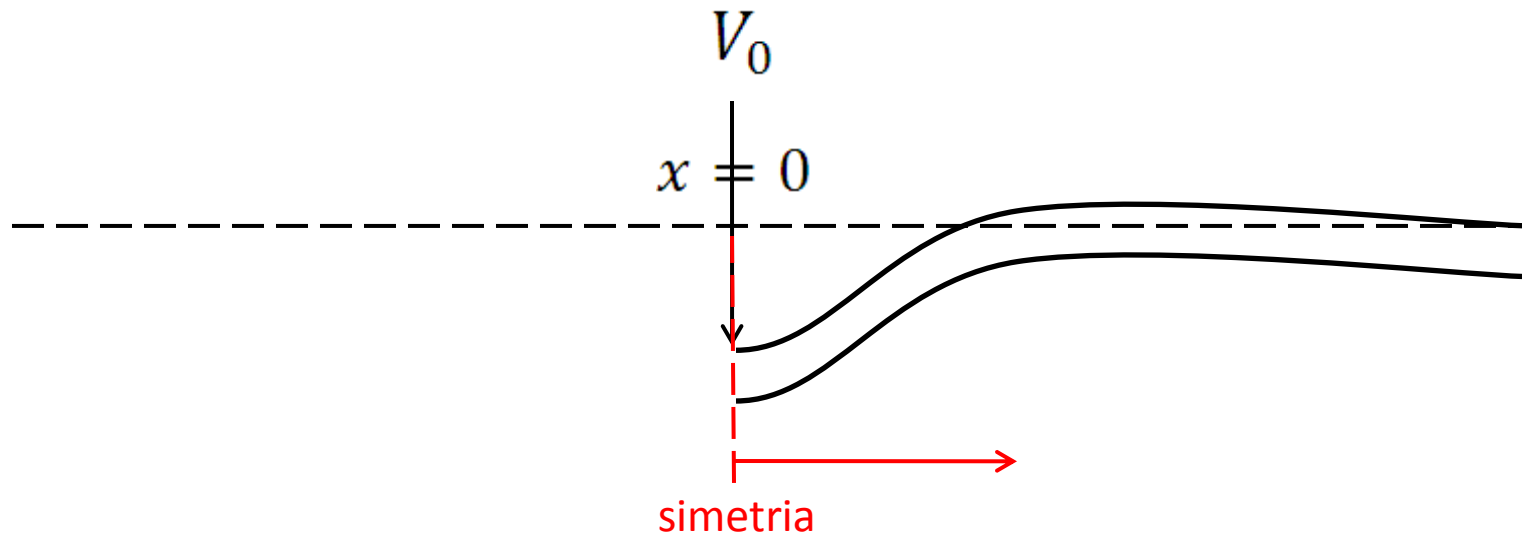
$$w = e^{-\lambda x} (C_c \cos \lambda x + D_c \sin \lambda x) \quad \text{Para } x \rightarrow 0 \quad \frac{dw}{dx} \rightarrow 0$$

$$\frac{dw}{dx} = -\lambda e^{-\lambda x} (C_c \cos \lambda x + D_c \sin \lambda x) + \lambda e^{-\lambda x} (-C_c \sin \lambda x + D_c \cos \lambda x)$$

Red arrows point from the terms in the derivative equation to the values 1 and 0, indicating the limits of the trigonometric functions at \$x=0\$.

$$C_c(-\lambda) + D_c(\lambda) = 0 \rightarrow C_c = D_c$$

Soluções Analíticas



$$w = e^{-\lambda x} (C_c \cos \lambda x + D_c \sin \lambda x) \quad \text{Para } x \rightarrow 0 \quad \frac{dw}{dx} \rightarrow 0$$

$$\frac{dw}{dx} = -\lambda e^{-\lambda x} (C_c \cos \lambda x + D_c \sin \lambda x) + \lambda e^{-\lambda x} (-C_c \sin \lambda x + D_c \cos \lambda x)$$

$$C_c(-\lambda) + D_c(\lambda) = 0 \rightarrow C_c = D_c \rightarrow w = e^{-\lambda x} D_c (\cos \lambda x + \sin \lambda x)$$

Soluções Analíticas

$$w = e^{-\lambda x} D_c(\cos \lambda x + \sin \lambda x)$$

Soluções Analíticas

$$w = e^{-\lambda x} D_c (\cos \lambda x + \sin \lambda x)$$

$$V_0 - 2(\rho_m - \rho_r)g \int_0^{\infty} w dx = 0$$

Soluções Analíticas

$$w = e^{-\lambda x} D_c(\cos \lambda x + \sin \lambda x)$$

$$V_0 - 2(\rho_m - \rho_r)g \int_0^{\infty} w dx = 0 \rightarrow \int_0^{\infty} w dx = \frac{V_0}{2(\rho_m - \rho_r)g}$$

Soluções Analíticas

$$w = e^{-\lambda x} D_c (\cos \lambda x + \sin \lambda x)$$

$$V_0 - 2(\rho_m - \rho_r)g \int_0^{\infty} w dx = 0 \rightarrow \int_0^{\infty} w dx = \frac{V_0}{2(\rho_m - \rho_r)g}$$

$$\rightarrow D_c \int_0^{\infty} e^{-\lambda x} (\cos \lambda x + \sin \lambda x) dx = \frac{V_0}{2(\rho_m - \rho_r)g}$$

Soluções Analíticas

$$w = e^{-\lambda x} D_c (\cos \lambda x + \sin \lambda x)$$

$$V_0 - 2(\rho_m - \rho_r)g \int_0^{\infty} w dx = 0 \rightarrow \int_0^{\infty} w dx = \frac{V_0}{2(\rho_m - \rho_r)g}$$

$$\rightarrow D_c \int_0^{\infty} e^{-\lambda x} (\cos \lambda x + \sin \lambda x) dx = \frac{V_0}{2(\rho_m - \rho_r)g}$$

$$\rightarrow D_c \left[-\frac{e^{-\lambda x}}{\lambda} \cos \lambda x \right] \Big|_0^{\infty} = \frac{V_0}{2(\rho_m - \rho_r)g}$$

Soluções Analíticas

$$w = e^{-\lambda x} D_c (\cos \lambda x + \sin \lambda x)$$

$$V_0 - 2(\rho_m - \rho_r)g \int_0^{\infty} w dx = 0 \rightarrow \int_0^{\infty} w dx = \frac{V_0}{2(\rho_m - \rho_r)g}$$

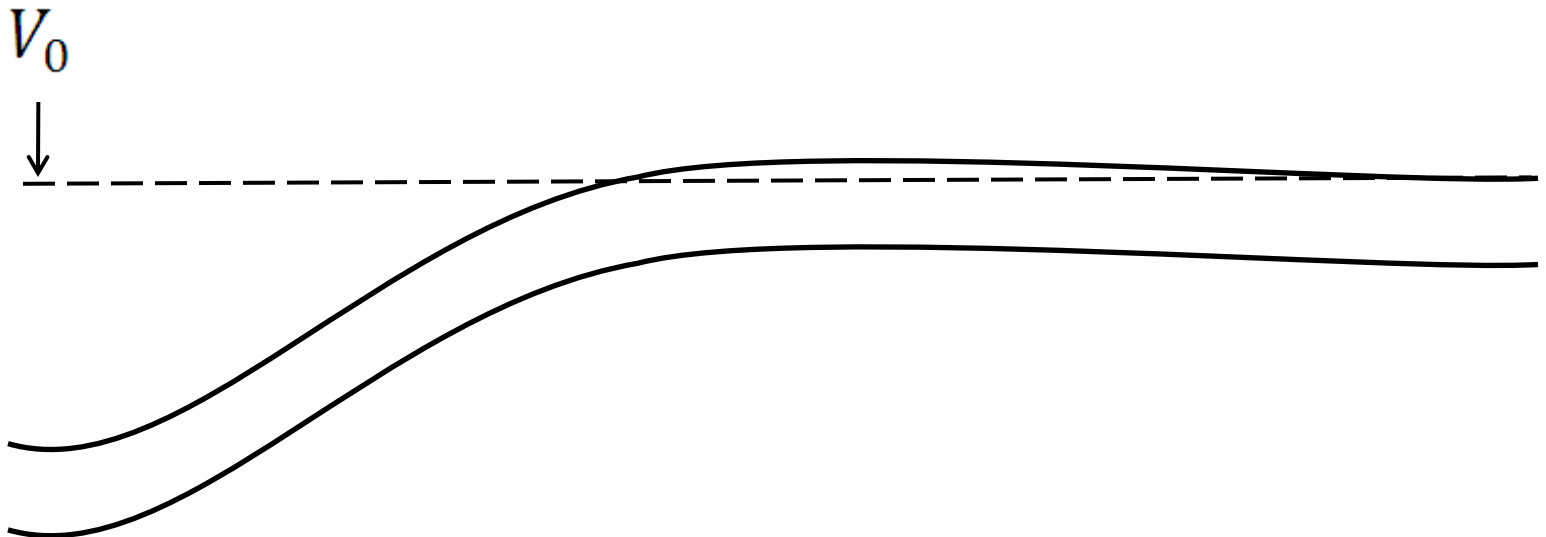
$$\rightarrow D_c \int_0^{\infty} e^{-\lambda x} (\cos \lambda x + \sin \lambda x) dx = \frac{V_0}{2(\rho_m - \rho_r)g}$$

$$\rightarrow D_c \left[-\frac{e^{-\lambda x}}{\lambda} \cos \lambda x \right] \Big|_0^{\infty} = \frac{V_0}{2(\rho_m - \rho_r)g}$$

$$\rightarrow D_c \cdot \frac{1}{\lambda} = \frac{V_0}{2(\rho_m - \rho_r)g}$$

Soluções Analíticas

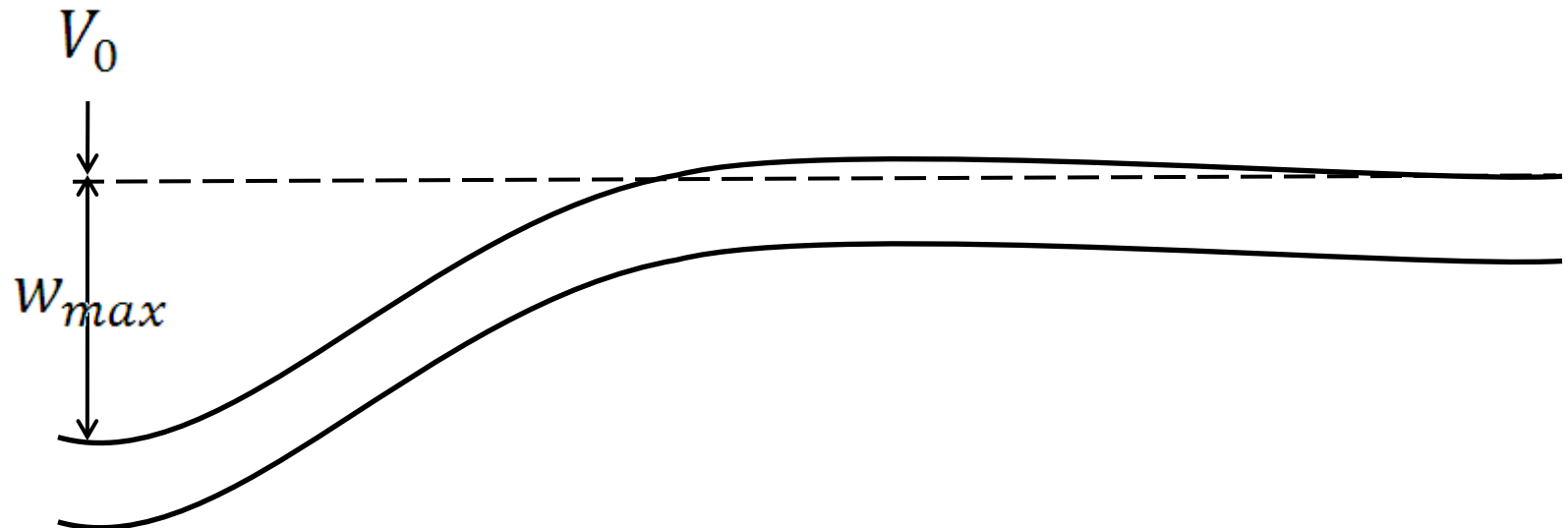
$$w = \frac{V_0 \lambda}{2(\rho_m - \rho_r)g} e^{-\lambda x} (\cos \lambda x + \sin \lambda x)$$



Soluções Analíticas

$$w = \frac{V_0 \lambda}{2(\rho_m - \rho_r)g} e^{-\lambda x} (\cos \lambda x + \sin \lambda x)$$

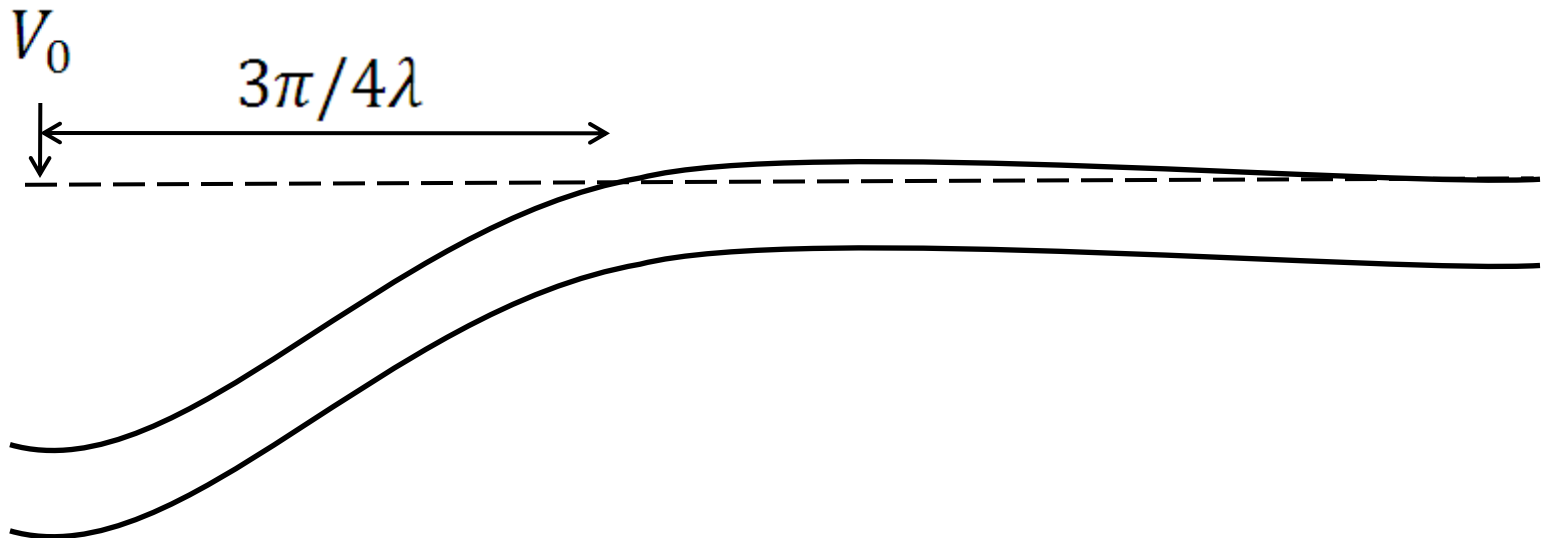
$$x = 0, \quad w = w_{max} = \frac{V_0 \lambda}{2(\rho_m - \rho_r)g}$$



Soluções Analíticas

$$w = \frac{V_0 \lambda}{2(\rho_m - \rho_r)g} e^{-\lambda x} (\cos \lambda x + \sin \lambda x)$$

$$w = 0, \quad x = \frac{3\pi}{4\lambda}, \frac{7\pi}{4\lambda}, \dots$$

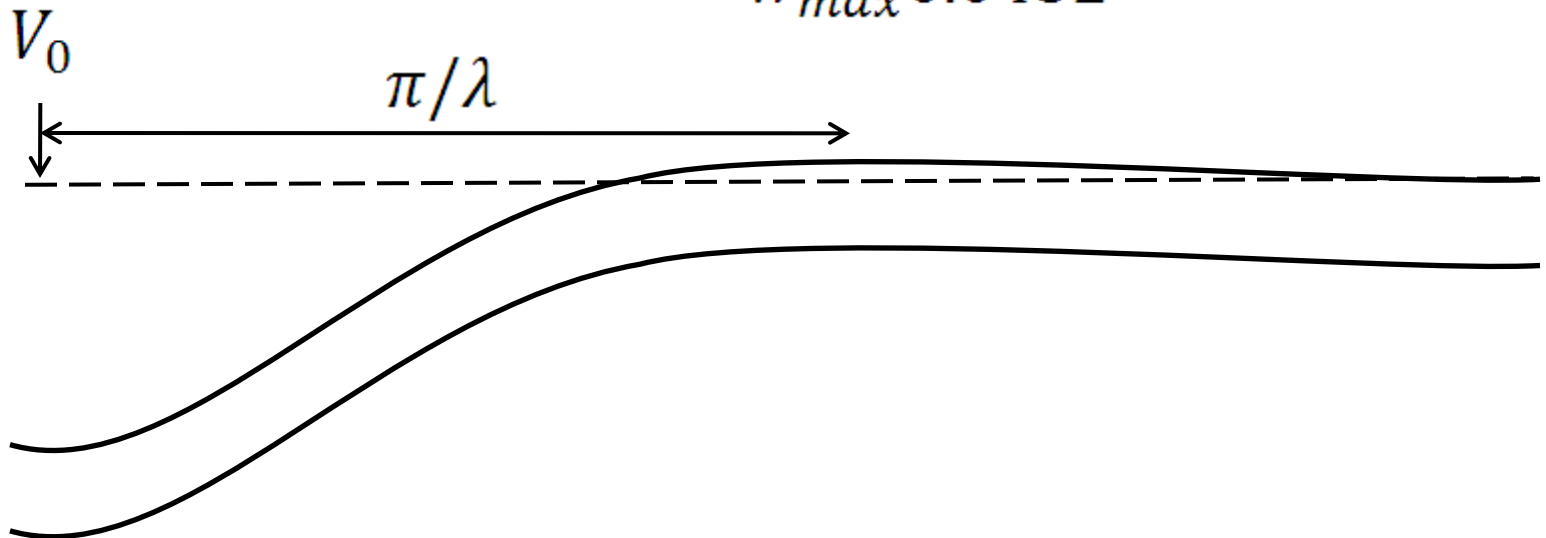


Soluções Analíticas

$$w = \frac{V_0 \lambda}{2(\rho_m - \rho_r)g} e^{-\lambda x} (\cos \lambda x + \sin \lambda x)$$

$$x = \frac{\pi}{\lambda}, \quad w_b = w_{max} e^{-\pi} (\cos \pi + \sin \pi)$$

$$\approx -w_{max} 0.0432$$



Implementação

$$w = \frac{V_0 \lambda}{2(\rho_m - \rho_r)g} e^{-\lambda x} (\cos \lambda x + \sin \lambda x)$$

$$\lambda = \left[\frac{(\rho_m - \rho_r)g}{4D} \right]^{1/4}$$

$$D = \frac{ET_e^3}{12(1 - \nu^2)}$$

$$E = 1 \times 10^{11} \text{ N/m}^2$$

$$\nu = 0.25$$

$$g = 9.8 \text{ m/s}^2$$

T_e e V_0 variáveis

Implementação

$$w = \frac{V_0 \lambda}{2(\rho_m - \rho_r)g} e^{-\lambda x} (\cos \lambda x + \sin \lambda x)$$

$$\lambda = \left[\frac{(\rho_m - \rho_r)g}{4D} \right]^{1/4}$$

$$D = \frac{ET_e^3}{12(1 - \nu^2)}$$

$$E = 1 \times 10^{11} \text{ N/m}^2$$

$$\nu = 0.25$$

$$g = 9.8 \text{ m/s}^2$$

T_e e V_0 variáveis